

**KOCAELİ ÜNİVERSİTESİ \* FEN BİLİMLERİ ENSTİTÜSÜ**

**GÜC SİSTEMLERİNDE YÜK-FREKANS KONTROLÜ**

96 850

**DOKTORA TEZİ**

**Elk. Yük. Müh. Gül AKALIN KURT**

**Anabilim Dalı : Elektrik**

**Danışman : Prof. Dr. İlhan KOCAARSLAN**

**T.C. YÜKSEKOĞRETİM KURULU  
DOKÜMANTASYON MERKEZİ**

**ŞUBAT 2000**

KOCAELİ ÜNİVERSİTESİ \* FEN BİLİMLERİ ENSTİTÜSÜ

GÜC SİSTEMLERİNDE YÜK-FREKANS KONTROLÜ

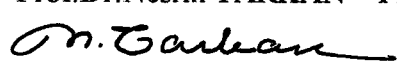
DOKTORA TEZİ  
Elek. Yük.Müh.Gül AKALIN KURT

Tezin Enstitüye Verildiği Tarih : 22.02.2000  
Tezin Sunulduğu Tarih : 28.06.2000

Tez Danışmanı  
Prof.Dr. İlhan KOCAARSLAN



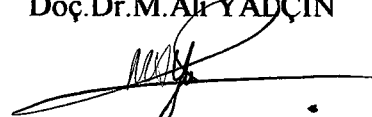
Üye  
Prof.Dr.Nesrin TARKAN      Üye  
Prof.Dr.Atif URAL



Üye  
Prof.Dr.Hüseyin ÇAKIR



Üye  
Doç.Dr.M.Ali YADÇIN



ŞUBAT 2000

## **ENTERKONNEKTE GÜC SİSTEMLERİNDE YÜK-FREKANS KONTROLÜ**

Gül AKALIN

**Anahtar Kelimeler :** Yük-Frekans Kontrolü, otomatik Üretim Kontrolü, PID Kontrolörde Kazancın Programlanması, Bulanık Mantık Kontrolü.

**Özet :** Güç sisteminin birincil işlevi sisteme bağlı değişik karakteristik gösterilebilen yükler tarafından talep edilen aktif ve reaktif gücü verebilmektedir. Sağlanan güç sürekli olmakla birlikte, sabit frekans, sabit gerilim, yüksek güvenirlilik gibi gücün kalitesini belirleyen faktörlere de sahip olmalıdır.

Tüketici talebinin değişmesiyle güç sisteminin durumunda da önceden öngörülmeyen değişiklikler ortaya çıkar. Aktif güç tüketimindeki bir değişim sistem frekansını etkiler. Sistem frekansındaki değişiklikleri ve bağlantı hattı yükünü arzu edilen sistem frekansı ve önceden planlanan güç alışverişi değerine ayarlamak üzere发电机larının aktif güç çıkışının kontrol problemi yük-frekans kontrolü yada otomatik üretim kontrolü olarak tanımlanır.

Yük-frekans kontrol çevrimi birbiriyle bağımlı iki kontrol çevriminden oluşur.

- Birincil frekans kontrol çevrimi
- İkincil frekans kontrol çevrimi

Senkron makinanın sadece bir hız regülatörü ile kontrolünün söz konusu olduğu birincil kontrol frekans kontrolü açısından yeterli olmadığından frekans ve bağlantı hattı gücündeki bozulmanın oluşturduğu hatanın (bölge kontrol hatası) kendisi ve onun integrali ile orantılı bir sinyal hız regülatöründe eklenecek ikincil bir kontrol sağlanmıştır. Oransal ve integral kontrol, güç sistemlerindeki otomatik üretim kontrolüne klasik bir yaklaşım sağlar.

Bu yaklaşım ile elde edilen optimum oransal ve integratör kazancı ile sistemin kontrolü geçici frekans bozulmaları ve aşırı yükselmeler ile sonuçlanacaktır. Buna ilaveten, sistem frekans bozulmasının oturma zamanı çok uzun olacaktır.

Amaçlanan kontrolör olan kazancın bulanık mantık kuralları ile programlandığı oransal-integral kontrolör ile büyük aşırı yükselmelerden kaçınılabilir ve oturma zamanı klasik oransal-integral kontrolörden daha kısa olabilir. Amaçlanan kontrolör ile sürekli durumda sıfır frekans ve bağlantı hattı güç akışı bozulması sağlanabilir.

## **LOAD-FREQUENCY CONTROL in INTERCONNECTED POWER SYSTEM**

Gül AKALIN

**Keywords :** Load-Frequency Control, Automatic Generation Control, Gain Scheduling, Fuzzy Logic Control

**Abstract :** The primary function of an electric power system is to provide the real and reactive power demanded by various loads connected to the system. The supplied power, in addition to continuity, must also meet certain minimum requirements in regard to quality, such as; constant frequency, constant voltage and high reliability.

As demand deviates from its normal value with an unpredictable small amount the state of the system will change. Deviation of real power consumption affect, essentially, the frequency. The problem of controlling the real power output of electric generators, in response to changes in system frequency and established tie-line interchange with in predetermined limits, is termed 'load-frequency control' or the automatic generation control.

Load-frequency control loop include two dependent control loops;

- Primary frequency control loop
- Secondary frequency control loop.

Controlling of the frequency was via the flywheel governor of the synchronous machine, but it was insufficient. A supplementary control was added to governor by means of a signal directly proportional to frequency deviation plus its integral. This proportional plus integral control scheme constitutes the classical approach to the automatic generation control of power systems.

Classic approach to determined the optimum proportional and integrator gains for the control of system will result in transient frequency deviation and relatively large overshoots. Furthermore, the settling time of the system frequency deviation is relatively long.

With proposed controller, proportional-plus-integral controller with a fuzzy gain scheduler, a large overshoot can be avoided and setting time of proposed control strategy is much shorter than that with a classic proportional-plus-integral controller. The proposed control can be achieved for each area both zero steady-state frequency and tie-line-power deviation.

## **ÖNSÖZ ve TEŞEKKÜR**

Dünyanın her ülkesi sadece ulusal şebekesini oluşturmakla yetinmemekte, komşu sistemlerle de uygun çalışma maliyetleri ile güç alışverişi yapmak istemektedirler. Bu talep, ulusal bir şebekenin diğer komşu şebekeler ile bağlantısının sağlanması durumunda, sistem frekanslarının enerji üretimlerinin ve birbirleri ile güç alışverişlerinin kontrol edilmesi zorunluluğunu getirmektedir. Bu kontrol işlemi yük-frekans kontrolü ile gerçekleştirilir.

Yük-frekans kontrolünde kontrolörün temel işlevi; çok bölgeli bir enterkonnekte sisteme, güç alışverişi ve frekans bozulmalarında sürekli durumda sıfır hata ve optimal geçici davranış sağlamaktır.

Bu çalışmada, güç sistemlerinde yük-frekans kontrolünü gerçekleştirmek üzere, dinamiklerin lineer değişmediği işletme şartları için uygun sonuçlar veren kazancın bulanık mantık kuralları ile programlandığı PI kontrolör kullanılmış ve sonuçlar tartışılmıştır.

Bu tezin hazırlanması sırasında gerek literatür desteği gerek yol göstericiliği ile yardımcı olan tez danışmanım Prof. Dr. İlhan KOCAARSLAN 'a, manevi desteklerini her zaman hissettiğim Prof. Dr. Atif URAL ve Prof. Dr. Nesrin TARKAN 'a, teşekkürlerimi, saygı ve sevgilerimi sunarım. Bu çalışmamı, bu konuma gelmemde her an maddi ve manevi desteklerini gördüğüm aileme ve eşime ithaf ediyorum.

Şubat 2000, KOCAELİ

Gül AKALIN KURT

## **İÇİNDEKİLER**

ÖZET.....	i
ABSTRACT.....	ii
ÖNSÖZ VE TEŞEKKÜR.....	iii
İÇİNDEKİLER.....	iv
SİMGELER DİZİNİ.....	vii
ŞEKİLLER DİZİNİ.....	x
TABLOLAR DİZİNİ.....	xv
BÖLÜM 1. GİRİŞ.....	1
<b>BÖLÜM 2. GÜC SİSTEM DİNAMİKLERİİNİN YÜK - FREKANS</b>	
KONTROLÜNE UYGUN OLARAK MODELLENMESİ.....	4
2.1. Generatör Modeli.....	4
2.2. Yük Modeli.....	8
2.3. Türbin Modeli.....	10
2.4. Hız Regülatör Modeli.....	11
2.5. Bağlantı Hattı Modeli.....	13
2.6. Bir Güç Sisteminin Yük-Frekans Kontrolüne Uygun Olarak Modelinin Tanımlanması.....	15
<b>BÖLÜM 3. YÜK-FREKANS KONTROLÜNE UYGUN OLARAK</b>	
BİR SANTRALİNİN BAŞLICA DÜZENEKLERİ.....	17
3.1.Güç Santralinin Yük-Frekans Kontrolüne Katılması Durumu (Yükün Değişken Olduğu İşletme Şartları İçerisinde) .....	19
3.2.Güç Santralinin Yük-Frekans Kontrolüne Katılmaması Durumu (Sabit Yük İşletme Şartları İçerisinde) .....	22

## BÖLÜM 4. TEK KONTROL BÖLGELİ GÜC SİSTEMLERİNDE

OTOMATİK YÜK FREKANS KONTROLÜ.....	25
4.1.Yük-Frekans Kontrolünde Hız Regülatörü.....	25
4.2.İzole Bir Yükü Besleyen Bir Üretim Ünitesinin Hız Kontrolü.....	30
4.3.Paralel Üniteler Arasında Yükün Paylaşımı .....	31
4.4.Otomatik Yük-Frekans Kontrolünün Birincil Çevriminin Kapanması.....	34
4.5.Otomatik Yük-Frekans Kontrolünün İkincil Çevriminin Kapanması.....	37
4.5.1.Kontrolsüz Durumda Otomatik Yük-Frekans Kontrol Çevriminin Frekans Cevabı ... .....	38
4.5.2.Kontrollü Durumda Otomatik Yük-Frekans Kontrol Çevriminin Frekans Cevabı.....	39
4.6.Otomatik Yük-Frekans Kontrolünde İntegral Konrolörün Kullanılması.....	40

## BÖLÜM 5. İKİ VEYA DAHA FAZLA KONTROL

BÖLGESİNE SAHİP GÜC SİSTEMLERİNDE OTOMATİK YÜK-FREKANS KONTROLÜ.....	43
5.1.Otomatik Yük-Frekans Kontrolünde Birincil Çevrimin Kapanması ve Çevrimin Frekans Cevabı .....	46
5.2.Otomatik Yük-Frekans Kontrolünde İkincil Çevrimin Kapanması ve Çevrimin Frekans Cevabı.....	48
5.3. Bağlantı Hattı Yönelimli Kontrol Stratejisi.....	50

## BÖLÜM 6. GÜC SİSTEMLERİNDE YÜK-FREKANS KONTROLÜNÜN

KAZANCIN BULANIK MANTIK İLE PROGRAMLANDIĞI BİR PI KONTROLÖR İLE GERÇEKLEŞTİRİLMESİ .....	55
6.1. PI Kontrolör ile Yük-Frekans Kontrolü	
6.1.1. PI kontrolörler.....	55
6.1.2. PI Kontrolörün Yük-Frekans Kontrolünde Kullanılması....	56

<b>6.2. Kazancın Bulanık Mantık Kuralları ile Programlandığı PI Kontrolörün Yük-Frekans Kontrolünde Kullanılması.....</b>	<b>59</b>
<b>6.2.1. Kazancı Bulanık Mantık Kuralları ile Programlanan PI Kontrolörler.....</b>	<b>59</b>
<b>6.2.1.1. Bulanık mantık ile kontrol.....</b>	<b>59</b>
<b>6.1.1.2. Bulanık mantık ile PI kontrolörün kazancının programlanması.....</b>	<b>60</b>
<b>6.2.2. Kazancı Bulanık Mantık Kuralları ile Programlanan PI Kontrolörler ile Yük-Frekans Kontrolü.....</b>	<b>61</b>
<b>6.2.2.1. Giriş değişkenlerinin aralığının belirlenmesi.....</b>	<b>61</b>
<b>6.2.2.2. Bulanık kuralları.....</b>	<b>63</b>
<b>6.2.2.3. Çıkış değerlerinin durulaştırılması.....</b>	<b>66</b>
<b>6.2.2.4.Kazancın bulanık kurallar ile programlandığı PI kontrolörler ile klasik PI kontrolörün performansının karşılaştırılması.....</b>	<b>69</b>
<b>BÖLÜM 7. SONUÇ VE ÖNERİLER.....</b>	<b>76</b>
<b>KAYNAKLAR.....</b>	<b>78</b>
<b>EKLER.....</b>	<b>80</b>
<b>ÖZGEÇMİŞ.....</b>	<b>84</b>

## SİMGELER DİZİNİ VE KISALTMALAR

- $\omega$ : Açısal hız  
 $\alpha$  : Açısal ivme  
 $\delta$  : Generatör faz açısı  
 $P_m$  : Mekanik giriş gücü  
 $I$  : Makinanın eylemsizlik momenti  
 $M$  : Makinanın açısal momentumu  
 $T_{net}$  : Makinadaki net ivmelendirme momenti  
 $T_m$  : Türbin tarafından makine üzerine uygulanan mekanik moment  
 $T_e$  : Generatör tarafından makina üzerine uygulanan elektriksel moment  
 $P_{net}$  : Net ivmelendirme gücü  
 $\Delta P_D$ : Frekansa duyarlı yük değişimi  
 $D$  : Yük sönüüm sabiti  
 $\Delta\omega$  : Açısal hızdaki değişim (rad/sn)  
 $\Delta P_L$  : Frekansa duyarsız yük değişimi  
 $T_{CH}$  : Buhar haznesi zaman sabiti  
 $\Delta P_V$  : Vana / kapak pozisyonu değişimi  
 $\Delta P_T$  : Türbin güç değişimi  
 $\Delta P_g$  : Valf pozisyon değişimini kontrol eden hata sinyali  
 $\Delta P_{ref}$  : Hız – yük referansı  
 $\Delta f$  : Frekans değişimi  
 $\Delta X_A$  : A bağlantı noktasındaki değişim.  
 $\Delta X_B$  : B noktasındaki değişim  
 $\Delta X_C$  : C noktasındaki değişim  
 $\Delta X_D$  : Pilot valfin hidrolik kuvvetlendirici girişindeki deđitim.  
 $\Delta X_E$  : Pilot valfin hidrolik kuvvetlendirici çıkışındaki değişim  
 $Gg$  : Hız regülatörü transfer fonksiyonu  
 $Tg$  : Hız regülatörü zaman sabiti

$P_{hat12}$  : 1. ve 2. Bölgeler arasındaki bağlantı hattından iletilen net güç

$\Delta P_{hat12}$  : 1. ve 2. Bölgeler arasındaki bağlantı hattından iletilen net güç değişimi

$V_1$  : 1. bölge hat sonu gerilimi

$V_2$  : 2. bölge hat sonu gerilimi

$X_{12}$  : 1. ve 2. bölgeler arasındaki iletim hattının eşdeğer reaktansı

$\delta_1$  : 1.bölgeye ait hat sonu gerilimine ait faz açısı

$\delta_2$  : 2.bölgeye ait hat sonu gerilimine ait faz açısı

$f_1$  : 1.bölge frekansı

$f_2$  : 2.bölge frekansı

$T_{12}$  : Bağlantı hattının eş zamanlık katsayısı

$\chi_p$  : Oransal bant aralığı (yük referans ayar oranı)

$P_e$  : elektriksel çıkış gücü

$\omega_R$  : Rotor hızı

$K_p$  : Oransal kontrolör kazancı

$K_I$  : İntegral kontrolör kazancı

$R_U$  : Regülasyon sabiti(Per-unit)

$P_G$  : Generatör elektriksel çıkış gücü

$f_n$  : Nominal frekansı

$\Delta f$  : Frekans değişimi (bozulması)

$\Delta f_o$  : Statik frekans değişimi

$P_{Gn}$  : Generatör ünitesinin nominal çıkışı (MW)

$S_n$  : Megawatt baz değeri

$f_{FL}$  : Nominal megawatt çıkışında frekans

$f_{NL}$  : Ünenin yüksüz olması durumunda frekans

$R$  : Hız ayar karakteristiğinin eğimi(Hz/MW)

$G_g$ : Hız regülatörü transfer fonksiyonu.

$G_T$  : Türbin transfer fonksiyonu

$G_p$  : Güç sistemi transfer fonksiyonu

$H$  : Atalet sabiti

$D$  : Yük sönüm sabiti

$P_{\gamma 1}$  : 1.kontrol bölgesinin güç kapasitesi

$P_{12}$ : 2.kontrol bölgesinin güç kapasitesi  
 $a_{12}$ : İki kontrol bölgesi arasındaki transfer fonksiyonu  
 $\beta$  : Bölge frekans cevap karakteristiği  
 $B$  : Frekans yönelim faktörü  
 $P_M$ : Ölçülen güç alışverişi  
 $P_s$  : Planlanan güç alışverişi  
 $F_M$ : Ölçülen frekans  
 $F_s$  : Planlanan frekans  
 $G_c$  : PI kontrolör transfer fonksiyonu  
 $K_p$  : Oransal kazanç  
 $K_i$  : İntegral kazanç  
 $T_i$ : İntegral zaman sabiti  
 $e$  : Hata (p.u)  
 $\Delta e$  : Hata değişimi (p.u)  
 $\omega_{NL}$  : Yüksüz durumda ünitenin hızı  
 $\omega_{FL}$  : Yüklü durumda ünitenin hızı

ACE: Bölge Kontrol Hatası (Area Control Error)  
AGC: Otomatik Üretim Kontrolü (Area Generation Control)  
LFC: Yük-Frekans Kontrolü (Load-Frequency Control)  
 $P$  : Oransal (Proportional)  
PI : Oransal-İntegral (Proportional-Integral)

## ŞEKİLLER DİZİNİ

Şekil 1.1.	Çok kontrol bölgeli bir sistem için otomatik yük-frekans kontrolünün birincil ve ikincil çevrimleri (IEEE Committee Report, 1973) .....	2
Şekil 2.1.	Mekanik ve elektriksel güç ile hız arasındaki bağıntıya ilişkin transfer fonksiyonu.....	8
Şekil 2.2.	Hız ve moment arasındaki transfer fonksiyonu.....	8
Şekil 2.3.	(a) Dönen kütle ve yükün blok diyagramı (b) İndirgenmiş blok diyagramı.....	10
Şekil 2.4.	(a) Ön ısıtmasız türbinin blok diyagramı ile temsili (b) Yaklaşık lineer modeli.....	11
Şekil 2.5.	Hız regülatör sistemin basitleştirilmiş fonksiyonel diyagramı.....	11
Şekil 2.6.	Buhar turbini için hız regülatör sisteminin matematiksel modelinin blok diyagram ile ifadesi.....	13
Şekil 2.7.	Bağlantı hattının matematiksel ifadesinin blok diyagram ile sunumu.....	15
Şekil 2.8.	Bir güç sisteminin yük-frekans kontrolüne uygun modeli.....	16
Şekil 3.1.	Güç şebekesinde kontrol amacına yönelik olarak izole haldeki bir güç istasyonunun basitleştirilmiş şekli.....	17
Şekil 3.2.	Güç şebekesinden izole edilmiş bir güç santralinin basitleştirilmiş kontrol şeması.....	18
Şekil 3.3.	P-kontrolörlü bir turbin-generator setinin kontrol karakteristiği.....	19
Şekil 3.4.	Bir turbin-generator karakteristığının yük referans ayarının değiştirilmesi ile yer değiştirmesi.....	20
Şekil 3.5	Oransal bant aralığı farklı iki turbin-generator bloğunun kontrol karakteristikleri.....	21
Şekil 3.6.	Farklı oransal bant aralığına sahip iki turbin-generator	

	bloğunun kontrol karakteristiği.....	21
Şekil 3.7.	Temel kontrol şeması: Bir ünite aktif Bir ünite pasif.....	22
Şekil 3.8.	Temel kontrol şeması: Bir ünite aktif Bir ünite pasif.....	23
Şekil 4.1.	İzole bir yükü besleyen generatör ünitesi.....	25
Şekil 4.2.	(a) Bir generatör unitesinin hız regülasyon karakteristiği (b) Yük artışı $\Delta P_L$ yük artışından öncesi / sonrası ve ikincil kontrol.....	26
Şekil 4.3.	Sürekli-durum geri beslemeli bir hız regülatörü.....	28
Şekil4.4.	Hız - kayma karakteristikli bir hız regülatörünün blok diyagramı.....	28
Şekil4.5.	Hız - kayma karakteristikli hız regülatörün ideal sürekli- durum karakteristiği.....	29
Şekil 4.6.	Hız - yük ilişkisini ayarlamak için yük-frekans kontrol hız regülatörü.....	30
Şekil4.7.	Hız regülatörünün hız - çıkış gücü karakteristiğine hız değiştirici servomotor ile gerçekleşen yük-referans ayarının etkisi.....	30
Şekil 4.8.	Bir asenkron hız regülatörünün şeması.....	31
Şekil 4.9.	Kayma karakteristikli hız regülatörlerine sahip üniteler arasında yük paylaşımı.....	33
Şekil 4.10.	Sadece ünite 1'in ikincil kontrole katılması durumunda unitàler arasında yükün paylaşımı.....	34
Şekil 4.11.	Birincil otomatik yük-frekans kontrol çevrimi.....	37
Şekil 4.12.	Birincil yük-frekans kontrol çevriminin adım yük değişimine verdiği frekans cevabı .....	39
Şekil 4.13.	Kapalı çevrim otomatik yük-frekans kontrol.....	40
Şekil4.14.	Integral kontrolörü ile donatılmış tek bölgeli bir güç sisteminin otomatik yük-frekans kontrol diyagramı.....	41
Şekil 4.15.	Şekil 4.14'de tanımlanan sistem için adım yük	

değişiminde ortaya çıkan dinamik frekans dalgalanması.....	42
<b>Şekil 5.1.</b> Çok bölgeli bir güç sisteminin diyagram ile ifadesi.....	44
<b>Şekil 5.2.</b> İki bölgeli bir güç sistemi için yük-frekans kontrol çevrimi.....	45
<b>Şekil 5.3.</b> Her bir kontrol bölgesi için AGC mantığı.....	49
<b>Şekil 5.4.</b> İki bölgeli sistem için bir adım yük değişikliğinin ardından frekansın ve bağlantı hattı gücünün bozulması sadece birinci bölge için sunulmuştur.....	54
(a) $B = 0.425, K_I = 0.75$ , (b) $B = 0, K_I = 0.75$	
(c) $B = 0, K_I = 0$ , (d) $B = 1.0, K_I = 1.0$	
<b>Şekil 6.1.</b> i. bölge için konvansiyonel PI kontrolör.....	60
<b>Şekil 6.2.</b> PI kontrolörünün farklı oransal ve integral kazançları için .....	62
sistemin cevabı	
(a) $K_p = 0.05 ; K_i = 1.25$	
(b) $K_p = 0.35 ; K_i = 0.21$	
(c) $K_p = 0.05 ; K_i = 0.21$	
(d) $K_p = 0.35 ; K_i = 1.25$	
<b>Şekil 6.3.</b> Bulanık Mantık akış diyagramı.....	64
<b>Şekil 6.4.</b> Bulanık kazanç programlama şeması.....	64
<b>Şekil 6.5.</b> Adım yük değişimi için sistem frekans cevabı ( $\Delta f_1$ ),.....	66
hata ( $ACE_1$ ) ve hatanın değişimi ( $\Delta ACE_1$ )	
<b>Şekil 6.6</b> Giriş değişkenleri için üyelik fonksiyonları (a)ACE ve .....	67
(b) $\Delta ACE$ için.	
<b>Şekil 6.7.</b> İstenilen adım cevabı.....	67
<b>Şekil 6.8.</b> $K_p$ ' ve $K_i$ ' için üyelik fonksiyonları (Chang, 1997).....	71
<b>Şekil 6.9.</b> Bir bulanık mantık kuralının uygulaması.....	72
<b>Şekil 6.10.</b> $K_p$ ' ve $K_i$ ' için üyelik fonksiyonları.....	73
<b>Şekil 6.11.</b> İki kontrol bölgeli bir güç sisteminin yük-frekans kontrolünde .....	74
kazanç oranlarının bulanık mantık kuralları ile belirlendiği PI kontrolörün kullanılması durumunda sistemin blok diyagamlarla ifadesi	
<b>Şekil 6.12.</b> İki kontrol bölgeli bir güç sisteminde birinci bölgede 0.01 p.u .....	77

adım yük değişimi olmasında yük-frekans kontrolünün,  
klasik PI kontrolör ve kazancın bulanık mantık kuralları ile  
belirlendiği PI kontrolör ile gerçekleştirilmesi durumlarında  
(a)  $\Delta f_1$ , (b)  $\Delta f_2$ , (c)  $\Delta P_{hat 12}$ , (d)  $K_p$  (Chang, 1997), (e)  $K_i$  (Chang, 1997),  
(d)  $K_p$ , (e)  $K_i$ .

## **TABLOLAR DİZİNİ**

Tablo 6.1.	PI kontrolörünün farklı oransal ve integral kazançları için .....63 sistemin performansının karşılaştırılması
Tablo 6.2.	$K_p$ ' için bulanık mantık kuralları (Chang,1997).....68
Tablo 6.3.	$K_i$ ' için bulanık mantık kuralları (Chang,1997).....69
Tablo 6.4.	$K_p$ ' için bulanık mantık kuralları .....70
Tablo 6.5	$K_i$ ' için bulanık mantık kuralları .....70
Tablo 6.6.	Klasik PI ve amaçlanan PI kontrolörler ile yük-frekans.....78 kontrolünün gerçekleştirilemesi durumunda sistem performansları

## **BÖLÜM 1**

### **GİRİŞ**

Güç sistemlerinin kontrolünde amaç; elektriksel üretim ve değişen yük talebi arasında arzu edilen sistem frekansını, gerilim seviyesini ve güvenirliliği sağlayarak bir denge oluşturmaktır.

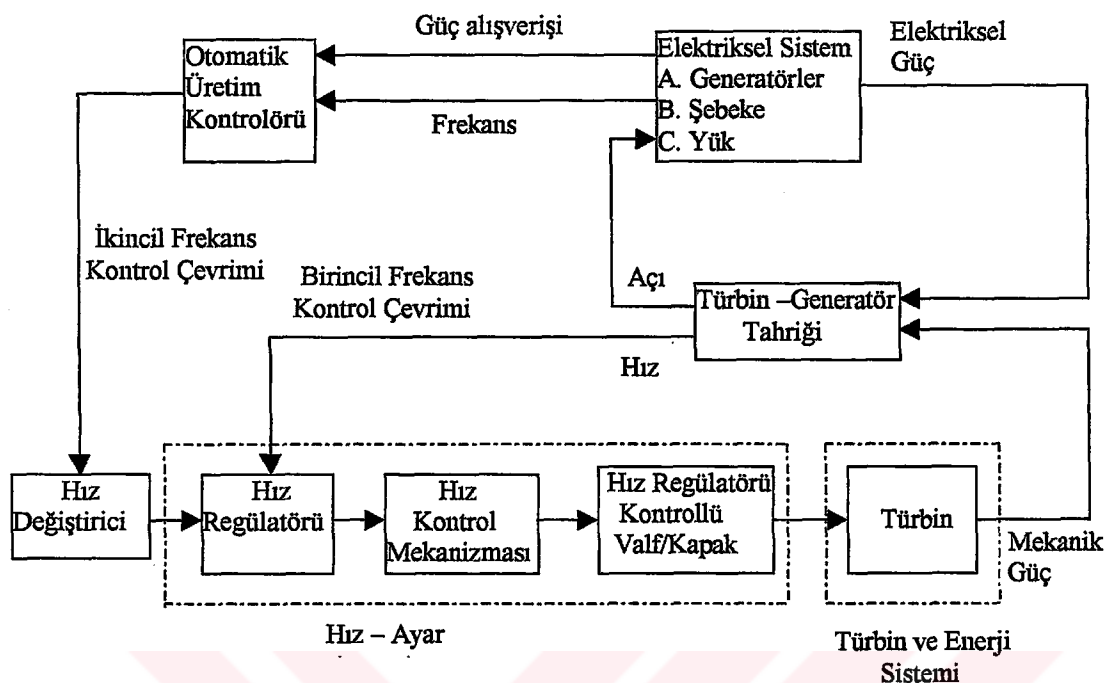
Güç sistemlerinin kalitesinin belirlenmesinde sabit frekans önemli bir faktördür. Tüketicilerde öngörülmeyen değişimler sistem frekansında bozulmalara neden olacaktır. Yük-frekans kontrol sistemi bu değişiklikleri belirlemeli ve mümkün olduğunda hızlı, etkin bir şekilde bozulmaları yok etmelidir. Hemen hemen bütün büyük senkron发电机 üniteleri frekans kontrolüne katılmalıdır.

Yük-frekans kontrol çevrimi发电机 hızını ve aktif güç çıkışını ayarlar. Bu çevrim birbiriyle bağlantılı iki çevrimden oluşur(Şekil 1.1).

- Birincil frekans kontrol çevrimi
- İkincil frekans kontrol çevrimi

Birincil frekans kontrol çevrimi ile; herhangi bir neden ile güç dengesinin bozulması sırasında frekans sapmalarını kabul edilebilir sınırlar içinde tutulmasını sağlayarak frekansın kararlılığı sağlanır. Kontrol çevrimi bir ile birkaç saniye içerisinde cevap verdiği için oldukça hızlıdır. Her üretim biriminde yer alan hız regülatörü ile birincil frekans kontrolü gerçekleştirilir(Elgerd, 1971).

İkincil kontrol çevrimi ile; frekansın istenilen değerine restorasyonu sağlanır. Ayrıca, seçilmiş generatorların aktif güç çıkışları değiştirilerek kontrol bölgeleri arasındaki istenilen güç alışverişi elde edilir. İkincil kontrol çevriminin cevap yeteneği yavaştır (yaklaşık birkaç on dakika)(Elgerd, 1971).



Şekil 1.1. Çok kontrol bölgeli bir sistem için otomatik yük-frekans kontrolünün birincil ve ikincil çevrimleri (IEEE Committee Report, 1973).

Çalışmanın ikinci bölümünde, yük-frekans kontrolünün sistemdeki davranışını gözlemleyebilmek için güç sistem dinamiklerinin bilgisayar simülasyonuna uygun matematiksel modelleri tanımlanmıştır.

Üçüncü bölümde, bir güç santralinin yük-frekans kontrolüne katılımını sağlamak için gerekli başlıca düzenekler tanıtılmıştır.

Dördüncü ve beşinci bölümlerde sırası ile tek kontrol bölgeli ve çok kontrol bölgeli güç sistemleri için yük-frekans kontrolü klasik PI kontrolör ile gerçekleştirilerek bilgisayar benzetimlerinin sonuçları sunulmuştur.

Altıncı bölümde ise iki kontrol bölgeli bir güç sisteminin yük-frekans kontrolü kazancın bulanık mantık ile programlandığı PI kontrolör ile gerçekleştirilmiştir. Kontrolörün kazancının programlanması için sistemin adım cevabına dayanılarak uygun bulanık mantık kuralları oluşturulmuştur. Kontrolör kazancının

programlanması için uygun bulanık mantık kuralları oluşturulurken, sistemin farklı oransal ve integral kazançları için gösterdiği performans göz önüne alınmıştır. Yapılan simulasyon çalışmasında oransal ve integral kazançlarının büyük değerlerde seçilmesinin maksimum bozulmayı azalttığı, diğer taraftan, küçük seçilmesi ise oturma zamanını kısalttığı gözlemlenmiştir. Kurallar bu görüş ışığında düzenlenmiştir. Aynı konuda yapılan bir diğer çalışma ise Chang ve Fu (1997) tarafından gerçekleştirilmiştir. Bu çalışmada ise, başlangıçta cevabı iyileştirmek için büyük oransal kazanç, aşırı yükselmeleri önlemek için küçük integral kazanç kullanılmış, daha sonra ise osilasyonu azaltmak için küçük oransal kazanç ve sürekli durum hmasını ortadan kaldırmak için büyük integral kazanç kullanılmıştır. Çalışmada oluşturulan kurallar ile Chang ve Fu (1997) tarafından oluşturulan kuralların her ikisi de kontrolörün kazancını programlamak üzere kullanılarak sistemin yük-frekans kontrolü gerçekleştirilmiş ve klasik PI kontrolörün gösterdiği performans ile karşılaştırılmıştır. Karşılaştırma sonucu çalışmada amaçlanan kontrolörün sistem cevabındaki maksimum bozulmayı azalttığı ve oturma zamanını kısalttığı gözlemlenmiştir. Böylece, kontrol bölgesindeki frekans bozulması ve bağlantı hattı güç alışverişindeki bozulma daha kısa sürede azaltılabilmektedir.

## BÖLÜM 2

### GÜC SİSTEM DİNAMİKLERİNİN YÜK FREKANS KONTROLÜNE UYGUN OLARAK MODELLENMESİ

Güç sisteminin kontrolünü gerçekleştirmek için sistemdeki her elemanın dinamik performansını anlamak gereklidir. Yük-frekans kontrolünün sistemdeki davranışını gözlemleyebilmek için yük, generatör, türbin, hız regülatörü gibi temel elemanların bilgisayar simülasyonuna uygun modellerinin tanımlanması gerekmektedir.

Bu bölümde güç sistem dinamiklerinin yük-frekans kontrolüne uygun şekilde matematiksel modelleri tanımlanacaktır.

#### 2.1 Generatör Modeli

Bir buhar turbini ile tahrik edilen generatör, dönmeye etki eden iki zıt momentli bir büyük dönen kütle gibi temsil edilebilir. Mekaniksel moment,  $T_m$ , dönüş hızının artmasını sağlarken, elektriksel moment,  $T_e$ , buna zıt yönde etki ederek azalmasını sağlar.  $T_m$  ve  $T_e$  büyüklük olarak eşit olduğu zaman dönüş hızı,  $\omega = \omega_0$  sabit olur. Elektriksel yük arttırlırsa, öyle ki  $T_e$ ,  $T_m$  'den daha büyük olursa, tüm dönen sistem yavaşlamaya başlar. Çok fazla yavaşlaması sisteme zarar vereceğinden dengeyi sağlamak için mekanik momenti artırmak amacıyla bir şeyler yapılmalıdır. Bu, dönüş hızını kabul edilebilir bir değere geri getirmek ve hız tekrar sabit kalacak şekilde momentlerin eşitliği sağlanmakla mümkündür. Bu işlem güç sistemlerinde sürekli olarak tekrarlanır, çünkü yükler sürekli olarak değişir.

Generatör modelini oluşturmadan önce bazı tanımlamalar yapmak yararlı olacaktır.

$\omega$  = Açısal hız

$\alpha$  = Açısal ivme

$\delta$  = Generatör faz açısı

$T_{net}$  = Makinadaki net ivmelendirme momenti

$T_m$  = Türbin tarafından makine üzerine uygulanan mekanik moment

$T_e$  = Generatör tarafından makine üzerine uygulanan elektriksel moment

$P_{net}$  = Net ivmelendirme gücü

$P_m$  = Mekanik giriş gücü

$I$  = Makinanın eylemsizlik momenti

$M$  = Makinanın açısal momentumu

Generatör modeli oluştururken faz açısı hariç tüm büyüklükleri makine temel değerleri cinsinden per-unit değerde alıp, sürekli halde büyüklüklerin türevi ile ilgileneceğiz. Tüm sürekli hal yada nominal durum değerleri "O" indisi ile ( $\omega_0, T_{net0}$  gibi.) ve nominal değerden tüm sapmalar " $\Delta$ " ile gösterilecek ( $\Delta\omega, \Delta T_{net}$  gibi.). Kullanacağımız bazı temel ilişkiler aşağıdaki gibidir.

$$I \cdot \alpha = T_{net} \quad (2.1)$$

$$M = \omega \cdot I \quad (2.2)$$

$$P_{net} = \omega \cdot T_{net} = \omega \cdot (I \cdot \alpha) = M \cdot \alpha \quad (2.3)$$

Bir tek dönen makine olduğunu ve makinanın  $\omega_0$  sürekli hızına,  $\delta_0$  faz açısına sahip olduğu varsayıduğunda, değişik elektriksel ve mekaniksel bozulmalardan dolayı makine, hızlanmasına yada yavaşlamasına sebep olan elektriksel ve mekaniksel momentlerindeki fark nedeniyle zorlanır. Burada üzerinde durulan, nominal değerlerden  $\Delta\omega$  kadar hız değişimi ve  $\Delta\delta$  kadar faz açısı değişimidir. Faz açısı sapması  $\Delta\delta$ ,  $\alpha$  hızlanmasına maruz kalan makine faz açısı ile  $\omega_0$  hızında dönen bir referans ekseni faz açısı arasındaki farka eşittir. Hızlanma durumunda makinanın hızı,

$$\omega = \omega_0 + \alpha \cdot t \quad (2.4)$$

ise,

$$\Delta\delta = \int (\omega_0 + \alpha t) dt - \int \omega_0 dt = \omega_0 t + \frac{1}{2} \alpha t^2 - \omega_0 t = \frac{1}{2} \alpha t^2 \quad (2.5)$$

olur.

Nominal hızdan sapma  $\Delta\omega$ , o zaman şöyle ifade edilebilir.

$$\Delta\omega = \alpha t = \frac{d}{dt}(\Delta\delta) \quad (2.6)$$

Faz açısı sapması, hız sapması ve net ivmelendirme momenti arasındaki ilişki:

$$T_{net} = I\alpha = I \frac{d}{dt}(\Delta\omega) = I \frac{d^2}{dt^2}(\Delta\delta) \quad (2.7)$$

şeklindedir.

Dönen hız ve mekanik momentteki sapmalar ile mekanik ve elektrik gücündeki sapmalara bakılır ise, net ivmelendirme gücü ile elektriksel ve mekaniksel güç arasındaki bağıntı;

$$P_{net} = P_{neto} + \Delta P_{net} \quad (2.8)$$

olarak sunulabilir.

Burada,

$$\begin{aligned} P_{neto} &= P_{mo} - P_{eo} \\ \Delta P_{net} &= \Delta P_m - \Delta P_e \end{aligned} \quad (2.9)$$

olduğundan,

$$P_{net} = (P_{mo} - P_{eo}) + (\Delta P_m - \Delta P_e) \quad (2.10)$$

dir.

Benzer olarak momentler içinde,

$$T_{net} = (T_{mo} - T_{eo}) + (\Delta T_m - \Delta T_e) \quad (2.11)$$

(2.3) ifadesini kullanarak,

$$P_{net} = P_{net0} + \Delta P_{net} = (\omega_0 + \Delta\omega)(T_{net0} + \Delta T_{net}) \quad (2.12)$$

yazılır. (2.10) ve (2.11)'i (2.12)'de yerine koyarsak,

$$(P_m - P_e) + (\Delta P_m - \Delta P_e) = (\omega_0 + \Delta\omega)[(T_{m0} - T_{e0}) + (\Delta T_m - \Delta T_e)] \quad (2.13)$$

elde edilir. Senkron çalışma hızında,  $P_{m0} = P_{e0}$  ve  $T_{m0} = T_{e0}$  dır.  $\Delta T_m$  ve  $\Delta T_e$  ile  $\Delta\omega$  nin çarpımlarını ihmal edersek,

$$\Delta P_m - \Delta P_e = \omega_0(\Delta T_m - \Delta T_e) \quad (2.14)$$

eşitliği elde edilir.

Denklem (2.7)'de gösterildiği gibi, net moment, hız değişimi ile ilgilidir.

$$(T_{m0} - T_{e0}) + (\Delta T_m - \Delta T_e) = I \frac{d}{dt}(\Delta\omega) \quad (2.15)$$

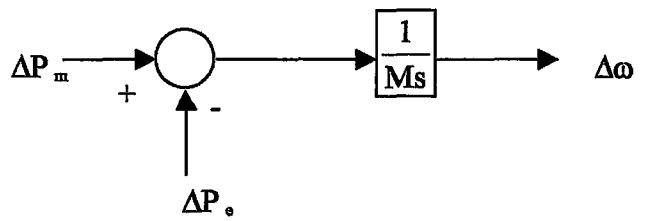
Sürekli durumda  $T_{m0} = T_{e0}$  olduğundan (2.14) ve (2.15) denklemini birleştirirsek,

$$\Delta P_m - \Delta P_e = \omega_0 I \frac{d}{dt}(\Delta\omega) = M_s \frac{d}{dt}(\Delta\omega) \quad (2.16)$$

yazılır. Mekanik güç, elektriksel gücü ve hız değişimi arasındaki ilişki, yukarıdaki eşitlik gibidir. Bu eşitliğe Laplace dönüşümünü uygularsak,

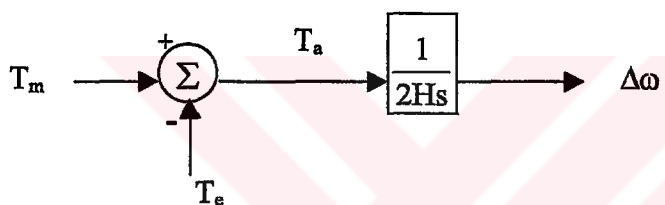
$$\Delta P_m - \Delta P_e = M_s \Delta\omega \quad (2.17)$$

olur. Bu Şekil 2.1'deki modelle temsil edilebilir (Wood, 1996).



Şekil 2.1 Mekanik ve elektriksel güç ile hız değişikliği arasındaki bağıntıya ilişkin transfer fonksiyonu.

Hız ile moment arasındaki transfer fonksiyonu ise;  $M=2H$  olmak üzere Şekil 2.2'deki gibidir. Burada,  $H$ =Atalet sabiti (MW-sn / MVAr)(Kundur, 1994)



Şekil 2.2 Hız ve moment arasındaki transfer fonksiyonu

## 2.2 . Yük Modeli

Güç sistemlerinin yükleri çeşitli elektriksel aygıtların varlığından dolayı farklılıklar gösterir. Bu yüklerin bir kısmı tamamen omik yükler, bir kısmı değişken güç-frekans karakteristiği gösteren motor yükleri ve diğer kısmı ise daha farklı karakteristikler sergileyen yüklerden oluşmuştur. Motor yükleri elektriksel yüklerin önemli bir kısmını oluşturduğu için frekans değişikliğinin sisteme net yük üzerindeki etkisinin bir model ile belirlenmesi gereklidir. Frekanstaki değişiklik nedeniyle yükte meydana gelen değişiklik arasındaki ilişki şu şekilde verilebilir:

$$\Delta P_D = D \cdot \Delta \omega \quad (2.18)$$

yada,

$$D = \frac{\Delta P_D}{\Delta \omega} \quad (2.19)$$

dir. Burada,

$\Delta P_D$  : Frekansa duyarlı yük değişimi

D : Yük sönüüm sabiti

$\Delta \omega$  : Açısal hızındaki değişim (rad/sn)

Sönüüm sabiti; yükteki yüzde değişim için frekanstaki yüzde değişim olarak tanımlanır.

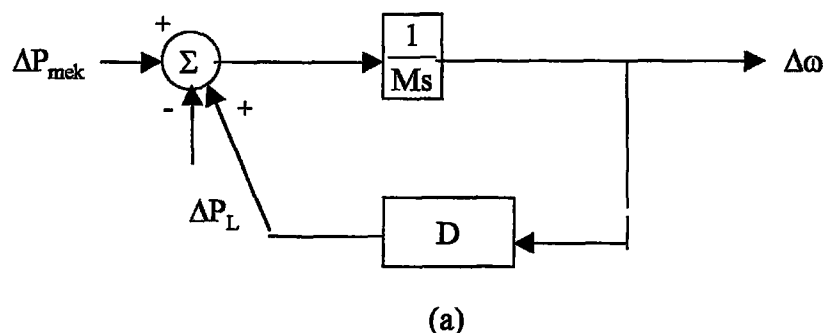
D 'nin tipik değeri %1-%2 arasındadır.

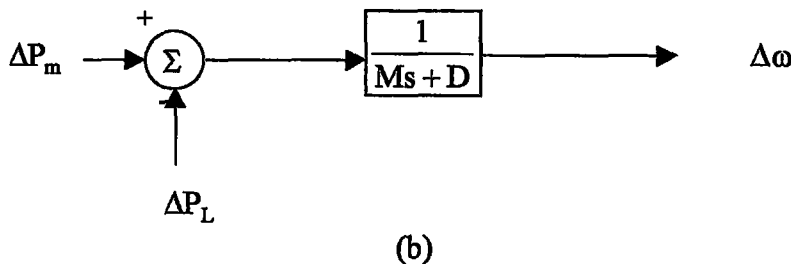
Frekansa duyarsız yük değişimi;  $\Delta P_L$  ve elektriksel yükteki net değişiklik  $\Delta P_e$  olmak üzere,

$$\Delta P_e = \Delta P_L + D\Delta\omega \quad (2.20)$$

olarak ifade edilir.

Yük sönüümünün etkisini veren sistem blok diyagramı Şekil 2.3 (a)'da sunulmuştur. Bu diyagram Şekil 2.3 (b)'de görülen şekle indirgenebilir (Elgerd, 1971 ve Wood, 1996).





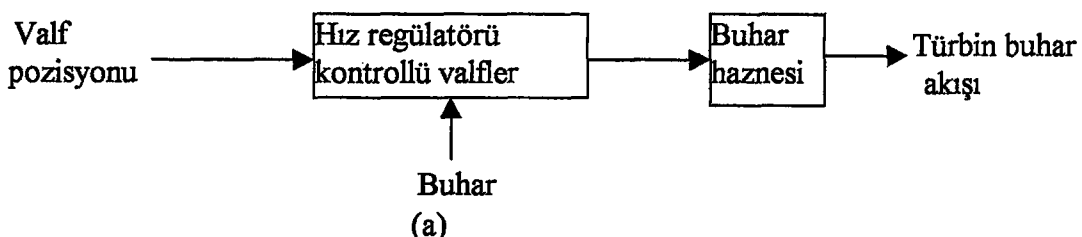
Şekil 2.3 (a) Dönen kütle ve yükün blok diyagramı

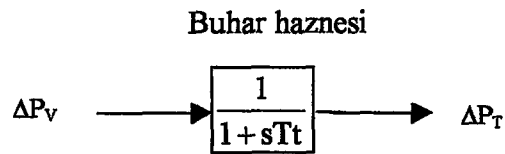
(b) İndirgenmiş blok diyagramı.

### 2.3 .Türbin Modeli

Buhar türbinlerinde buhar akışını kontrol etmek için, yüksek basınç türbinine girişte, hız regülatörü ile kontrol edilen valfler kullanılır. Hız regülatör kontrollü valf ile yüksek basınçlı türbin arasında Şekil 2.4 (a)'da görüldüğü üzere bir buhar haznesi vardır. Bu hazne valfdeki buhar akışı ve yüksek basınçlı türbindeki buhar akışı arasındaki gecikme zamanı ile tanımlanır. Şekil 2.4 (b)'de ki matematiksel model bu etkiyi  $T_d$  zaman sabiti olarak göstermiştir.

IEEE Komite Raporuna göre altı adet farklı buhar türbin sisteminde bahsedilebilir. Bunlar; ön ısıtmasız türbin, tandem bağlı-tek ön ısıtmalı türbin, tandem bağlı-çift ön ısıtmalı, çapraz bağlı-tek ön ısıtmalı, çapraz bağlı-çift ön ısıtmasız olarak sıralanabilir(IEEE Committe Report, 1973). Bu bölümde sadece ön ısıtmasız türbin için Şekil 2.4 (a) ve (b)'de ilgili matematiksel model sunulmuştur. Diğer türbinler için ilgili referansda ayrıntılı bilgiler verilmektedir.





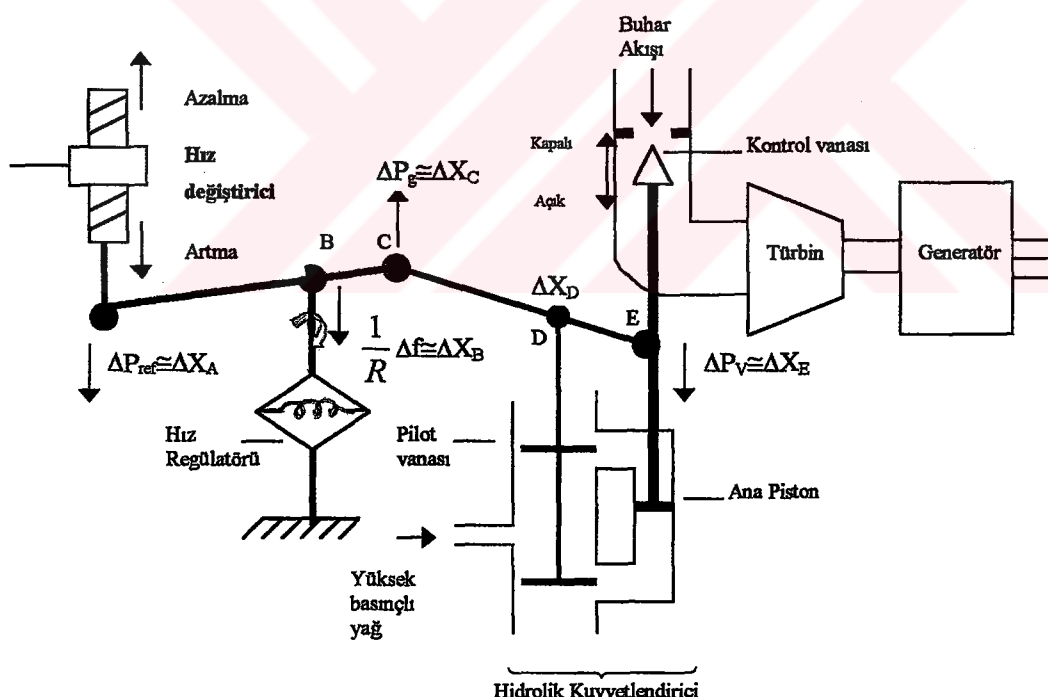
(b)

Şekil 2.4 (a) Ön ısıtmasız türbinin blok diyagramı ile temsili

(b) Yaklaşık lineer modeli

## 2.4 .Hız Regülatör Modeli

Güç sistemlerindeki aktif gücün kontrolü her bir turbinin tahrif momentinin kontrolü ile sağlanır. Bu hız regülatör sistemi aracılığı ile gerçekleştirilir. Şekil 2.5'de hız regülatör sisteminin işleyışı bir diyagram ile gösterilmektedir.(Elgerd 1971).



Şekil 2.5 Hız regülatör sistemin basitleştirilmiş fonksiyonel diyagramı

Hız regülatörü temelde mil hızını bir pozisyon çıkışına çeviren mekanik bir çeviricidir. Hız regülatör çıkışı hız değiştiricinin pozisyonu tarafından belirlenen bir hız-yük

referansı ( $\Delta P_{ref}$ ) ile karşılaştırılır. Hata sinyali ( $\Delta P_g$ ); kontrol valfini kontrol etmek için kullanılır.

$$\Delta P_g = \Delta P_{ref} - \frac{1}{R} \Delta f \quad (\text{MW}) \quad (2.21)$$

Hız regülatörünün düzeneği buhar valfini kontrol etmek için gerekli kuvveti geliştiremez. Hız regülasyon sinyalini yükseltmek için hız verici olarak nitelendirilen bir pilot valf ve hidrolik kuvvetlendirici kullanılır. Pilot valfin bu kuvvetlendiriciye giriş pozisyonu  $X_D$  olmak üzere çıkış pozisyonu  $X_E$  dir. Pilot valfindeki küçük bir değişim  $\Delta X_D$  ise;

$$\Delta X_D = \Delta P_g - \Delta P_v \quad (\text{MW}) \quad (2.22)$$

olur. Burada;

$$\Delta P_v = K_g \int \Delta X_D dt \quad (2.23)$$

olup, pozitif bir değer olan  $K_g$  sabiti; açılığa, silindir şekline ve akışkan basıncına bağlıdır.

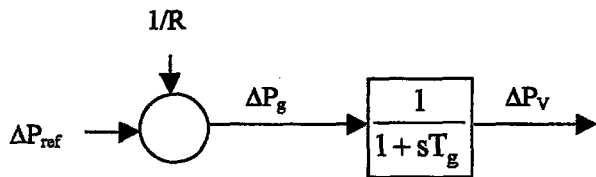
Son iki denklemin Laplace dönüşümü ile, türbine buhar akışını ayarlamak üzere kontrol valfinin pozisyonunu değiştirecek sistemin transfer fonksiyonu Eşitlik (2.21)'de görüldüğü gibi elde edilir.

$$G_G(s) = \frac{\Delta P_v}{\Delta P_g} = \frac{1}{1 + sT_g} \quad (2.24)$$

Burada;  $T_g$  zaman sabiti olup,

$$T_g = \frac{1}{K_g} \quad (2.25)$$

dir. Genellikle 0,1 sn.kabul eder. Sistemin blok diyagram ile ifadesi Şekil 2.7'de sunulmuştur (Elgerd, 1971).



Şekil 2.6. Buhar türbini için hız regülatör sisteminin matematiksel modelinin blok diyagram ile ifadesi

## 2.5 .Bağlantı Hattı Modeli

Hatlardaki kayıplar ihmal edilir ise, her bir hattaki güç şu şekilde yazılabilir:

$$V_1 = 1. \text{ bölge hat sonu gerilimi}$$

$$V_2 = 2. \text{ bölge hat sonu gerilimi}$$

$$X_{12} = 1 \text{ ve } 2 \text{ bölgeleri arasındaki iletim hattının eşdeğer reaktansı}$$

$$\delta_1 = 1. \text{ bölge için hat sonu gerilimine ait faz açısı}$$

$$\delta_2 = 2. \text{ bölge için hat sonu gerilimine ait faz açısı}$$

olmak üzere iki bölge arasındaki iletim hattındaki güç,

$$P_{\text{hat}12} = \frac{|V_1| \cdot |V_2|}{X_{12}} \cdot \sin(\delta_1 - \delta_2) \quad (2.26)$$

dir.

Burada,

$$V_1 = |V_1| e^{j\delta_1}, V_2 = |V_2| e^{j\delta_2} \quad (2.27)$$

olarak yazılır.

Eğer bu faz açılarının ilk değerlerinden,  $\delta_1^*$  ve  $\delta_2^*$ ,  $\Delta\delta_1$  ve  $\Delta\delta_2$  kadar bir sapma olur ise bağlantı hattı gücünde oluşacak değişiklik şu şekilde ifade edilir;

$$\Delta P_{hat12} = \frac{\partial P_{hat12}}{\partial (\delta_1 - \delta_2)} (\Delta\delta_1 - \Delta\delta_2) \quad (2.28)$$

ve böylece,

$$\Delta P_{hat12} = \frac{|V_1| \cdot |V_2|}{X_{12}} \cos(\delta_1^* - \delta_2^*) (\Delta\delta_1 - \Delta\delta_2) \quad (2.29)$$

olur.

Frekanstaki sapma,  $\Delta f$ , açıdaki sapma ile bağlantılı olarak ifade edilmek istenir ise,

$$\Delta f = \frac{1}{2\Pi} \frac{d}{dt} (\delta^* + \Delta\delta) = \frac{1}{2\Pi} \frac{d}{dt} (\Delta\delta) \quad (2.30)$$

yada tersi bir ifade ile, açıdaki sapma,

$$\Delta\delta = 2\Pi \int^t \Delta f dt \quad (\text{rad.}) \quad (2.31)$$

olur (Elgerd, 1971).

Bağlantı hattı gücündeki sapmanın,  $\Delta P_{hat12}$ , frekanstaki sapma ile bağlantılı ifadesi,

$$\Delta P_{hat12} = T_{12}^* \left( \int \Delta f_1 \cdot dt - \int \Delta f_2 \cdot dt \right) \quad (2.32)$$

şeklindedir ve burada eş zamanlık katsayısı;  $T_{12}$ , şu şekilde ifade edilebilir:

$$T_{12}^* = 2 \Pi \frac{|V_1| \cdot |V_2|}{X_{12}} \cos(\delta_1^* - \delta_2^*) \quad (2.33)$$

Eşitlik (2.29)'a Laplace dönüşümü uygulanırsa,

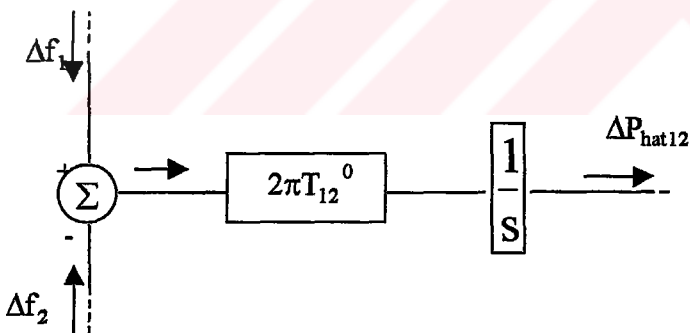
$$\Delta P_{hat12}(s) = \frac{T_{12}^*}{s} [\Delta F_1(s) - \Delta F_2(s)] \quad (2.34)$$

elde edilir.

Sonuç olarak bölgedeki toplam güç değişimi şu şekilde açıklanabilir(Elgerd 1970).

$$\Delta P_{hat12}(s) = \frac{1}{s} \sum T_{12}^* [\Delta F_1(s) - \Delta F_2(s)] \quad (2.35)$$

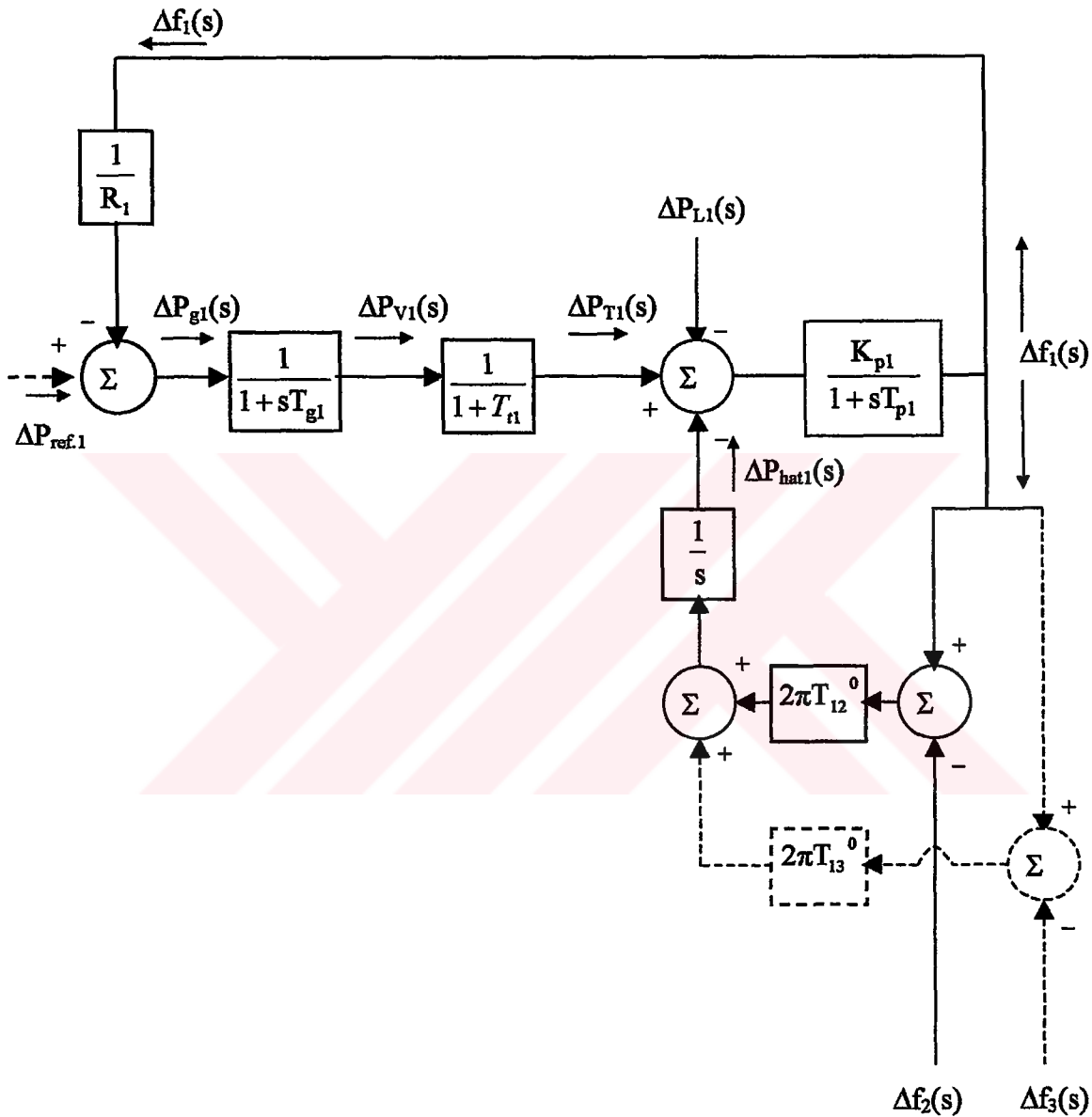
Bağlantı hattının matematiksel modelinin blok diyagram ile sunumu Şekil 2.9'da verilmiştir.



Şekil 2.7 Bağlantı hattının matematiksel ifadesinin blok diyagram ile sunumu.

## 2.6. Bir Güç Sisteminin Yük-Frekans Kontrolüne Uygun Modelinin Tanımlanması

Yukarıda sunulan alt bölümlerde tanımlanan, yük, generatör, türbin, hız regülatörü ve bağlantı hattı gibi temel elemanların oluşturduğu güç sisteminin yük-frekans kontrolüne uygun şekilde matematiksel modeli Şekil 2.8'de tanımlanmıştır.



Şekil 2.8. Bir güç sisteminin yük frekans kontrolüne uygun modeli

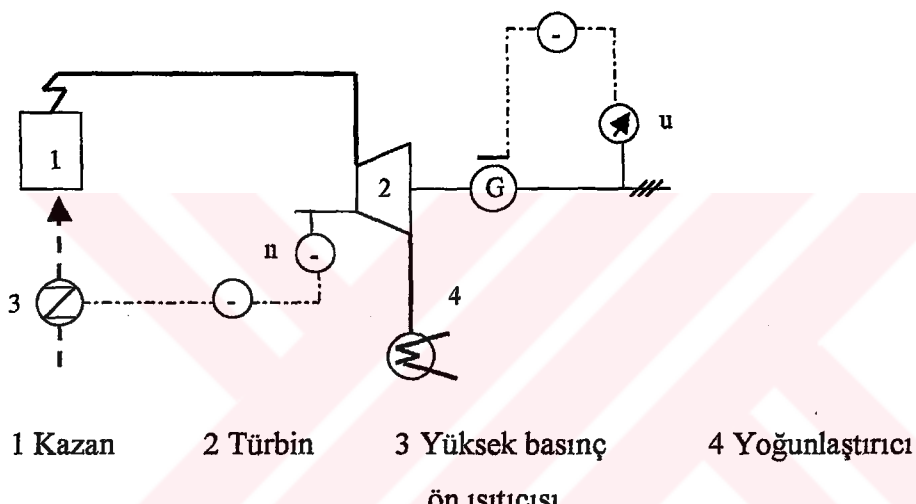
Elektrik güç sistemleri gerçekte karmaşık doğrusal olmayan dinamik sistemlerdir. Güç sistemi normal işletimi boyunca sadece küçük yük değişimlerine açık olduğu için doğrusallaştırılmış model kullanılır. Bu model işletme noktasındaki güç sistem dinamiklerini tanımlamak için yeterli olacaktır ( Wang, 1993)..



## BÖLÜM 3

### YÜK-FREKANS KONTROLÜNE UYGUN OLARAK BİR GÜC SANTRALİNİN BAŞLICA DÜZENEKLERİ

Kontrol amacına yönelik olarak Şekil 3.1'de bir güç ünitesinin basite indirgenmiş diyagramı sunulmaktadır.

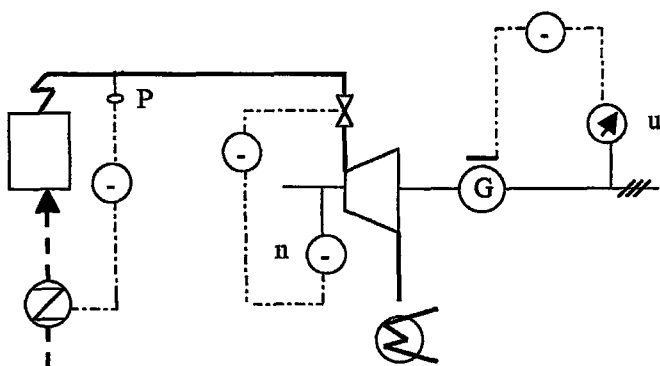


Şekil 3.1 Güç şebekesinde kontrol amacına yönelik olarak izole haldeki bir güç istasyonunun basitleştirilmiş şekli

Burada, türbin hız kontrolü için kontrol elemanı, yakıt olarak kazanı besleyen enerjidir. Elektrik enerjisinin tüketimindeki bir değişiklik, hızda değişikliğe neden olacaktır. Yeni durumda, üretim ile tüketim arasındaki denge, yakıt akış seviyesinin değişmesiyle sağlanacaktır.

Şekil 3.1'de sunulan bu basit birleşim pek çok sınırlama içerir. Bu sınırlamalar iki faktörden kaynaklanır. Birincisi, elektrik enerjisi istenilen miktarlarda depolanamaz, ancak ihtiyaç duyulduğunda üretilir. Bu şu anlama gelir; aşırı enerji tüketiminin neden olduğu enerji açığı sonucu frekansın kabul edilemez seviyelere düşmesini önlemek için çok hızlı bir kontrol uygulanması zorunludur. Ne yazık ki; Şekil 3.1'de görülen hız kontrol çevrimi hızlı değildir. Şekil 3.2'de orjinal yavaş hız kontrol

çevrimi iki çevrime parçalanmıştır; hızlı hız kontrol çevrimi ve yavaş basınç kontrol çevrimi.



Şekil 3.2 Güç şebekesinden izole edilmiş bir güç santralinin basitleştirilmiş kontrol şeması

Şekil 3.2'de sunulan diyagram için kontrol şu şekilde gerçekleşir: Hız ve dolayısıyla frekans, türbin kelebek valfinin açılması ile kontrol edilir. Bu aksiyon çok hızlıdır ve istenilen frekans değeri mükemmel olarak sağlanır. Turbine olan buhar akışının hızlı bir şekilde değişmesi; yük azalması esnasında geçici olarak buharın depolanabilmesi ve bu buharın yük artışı esnasında kazandan çekilmesi ile mümkün olur.

Ancak kazandaki buhar deposunun bu şekilde kullanımı buhar basincının değişmesine neden olur. Buhar basıncı ilave bir kontrol değişkeni ile tanımlanır ve basıncın bu değişimi yakıt akışını kontrol eder. Bu kontrol, türbinin bütün yük taleplerine hızlı cevap vermesine neden olacaktır.

Sabit bir frekans sağlamak için bir diğer çözüm güç istasyonları arasında bir şebeke kurmaktadır. Böyle bir sistemde pek çok güç istasyonu ve pek çok tüketici ünitesi büyük bir elektriksel şebeke oluşturmak için iletim hatları ile birbirlerine bağlanırlar. Bunun üstünlükleri şudur: Eğer, bir tek güç santrali arızalanı ise; yük, geride kalan diğer üniteler tarafından tüketiciler herhangi bir kesintiyle karşılaşmaksızın beslenebilir.

Hidrolik elektrik santralleri arızaya en çabuk cevap veren ünitelerdir. Bu zaman içerisinde diğer yavaş cevap veren üniteler kendilerini yardım için ayarlarlar ve cevap karakteristikleri oranınca frekansın restorasyonuna iştirak ederler. Güç

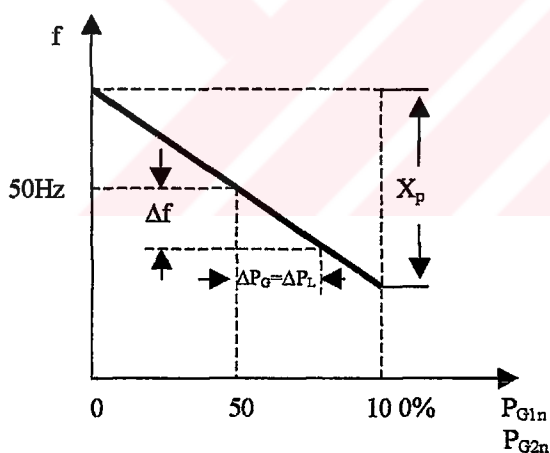
santrallerinin frekans kontrolüne iştirakinde çeşitli düzenlemeler mümkündür. Bu bölümde inceleme yapılacak sistemin oluşturulması için iki ünite bloğu tüketici sistemi beslemek üzere bağlanmıştır.

### 3.1 .Güç Santralinin Yük-Frekans Kontrolüne Katılması Durumu (Yükün değişken olduğu işletme şartları içerisinde)

Bu bölümde, güç santralindeki her iki blok da frekansın sabit tutulmasında görev almaktadır. Bu bloklar aktif blok olarak nitelendirilirler.

Her iki ünitenin de Şekil 3.2'deki kontrol donanımı ile donatıldığı iki farklı durum için sistem tartışılmıştır.

İlk durumda; hız kontrolörleri tamamen oransal kontrolörler ile yapılandırılmıştır. Bu durumda blokların her birinde  $P$ (oransal) kontrolörlerinin kullanımı Şekil 3.3'de verilen karakteristiğe benzer bir kontrol karakteristiği oluşturur.



Şekil 3.3 P-kontrolörlü bir türbin-generator setinin kontrol karakteristiği

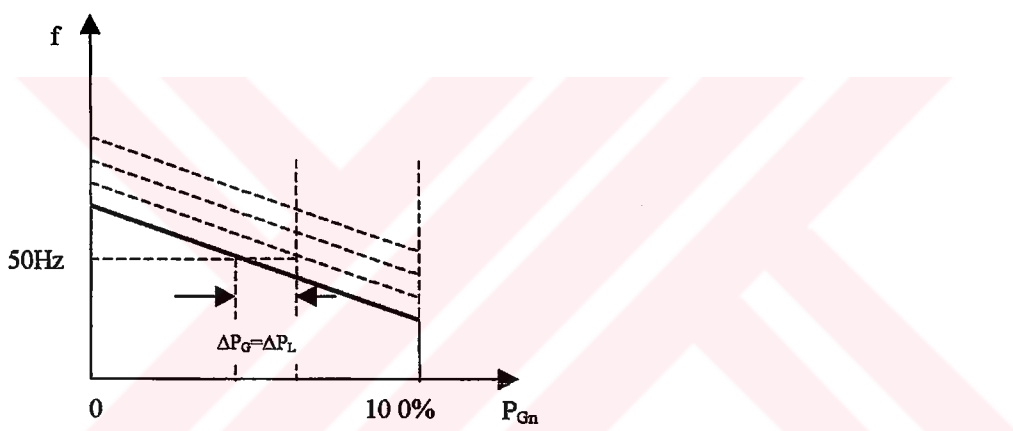
Kontrol karakteristiği frekans ile ünitenin elektriksel çıkışının arasındaki ilişkinin ürünüdür. Oransal olarak davranışan hız kontrolörü için karakteristik aşağı eğilimli oransal şekildedir. Kontrolör üzerinde ayarlanan oransal bant aralığı,  $\chi_p$ , genellikle yüzde değerler ile ifade edilir.

Şekil 3.3'de görüldüğü üzere her yük değişikliği frekans değişikliği ile bağlantılıdır. Örneğin; tüketici yükündeki %'  $\Delta P_L$  lik bir artış, frekansta;

$$\Delta f = -\frac{\chi_p}{\%100} \cdot \frac{\Delta P_L}{\%100} \cdot \frac{f_{nl}}{m} \quad (3.1)$$

kadar düşüse neden olur. Eşitlikte, m, frekans kontrolüne katılan blok sayısıdır.

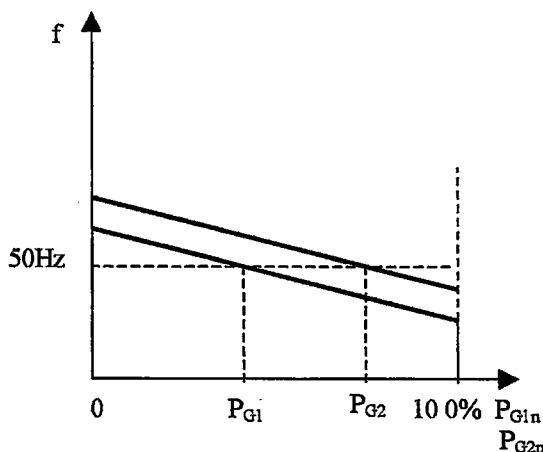
Frekansın tekrar nominal değerine getirilmesi Şekil 2.6'da sunulan diyagramda gösterilen hız değiştirici yardımı ile yük referans değerinin ayarlanması ile mümkün olur. Bu şekil 3.4'de sunulan kontrol karakteristiğinin paralel yer değiştirmesi ile mümkün olur.



Şekil 3.4 Bir türbin-generator karakteristiğinin yük referans ayarının değiştirilmesi ile yer değiştirmesi.

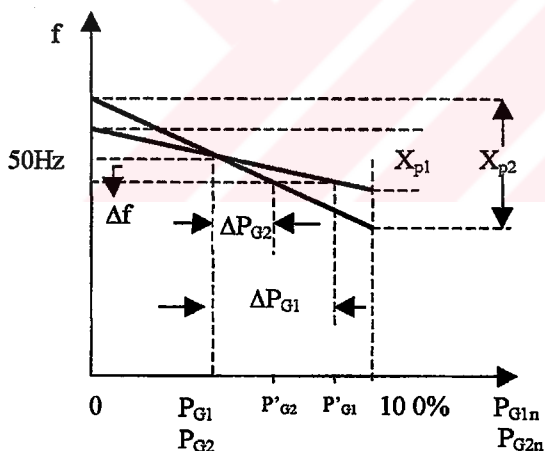
Eşit oransal bant aralığına ve aynı yük-frekans ayarına sahip iki ünite bloğu için, % $P_L$ 'lik bir yük değişimi söz konusu olduğunda frekansın nominal değerinde tutulabilmesi yük değişiminin bloklar arasında eşit paylaşılması ile mümkün olur(Şekil 3.3).

Öte yandan, oransal bant aralığı eşit ancak yük-frekans ayarı farklı iki ünite bloğu için ise yük değişiminin bu iki güç istasyonuna yüklenmesi eşit olmayacağı(Şekil 3.5).



Şekil 3.5 Farklı yük-referans ayarına sahip iki türbin-generator bloğunun kontrol karakteristikleri

Türbin-generator bloğu şebekedeki yük değişikliğini oransal bant aralığı oranınca karşılayacaktır. Şekil 3.6'da görüldüğü üzere, oransal bant değeri düşük olduğu oranda türbin-generator bloğu daha fazla yükü üzerine alabilecektir.



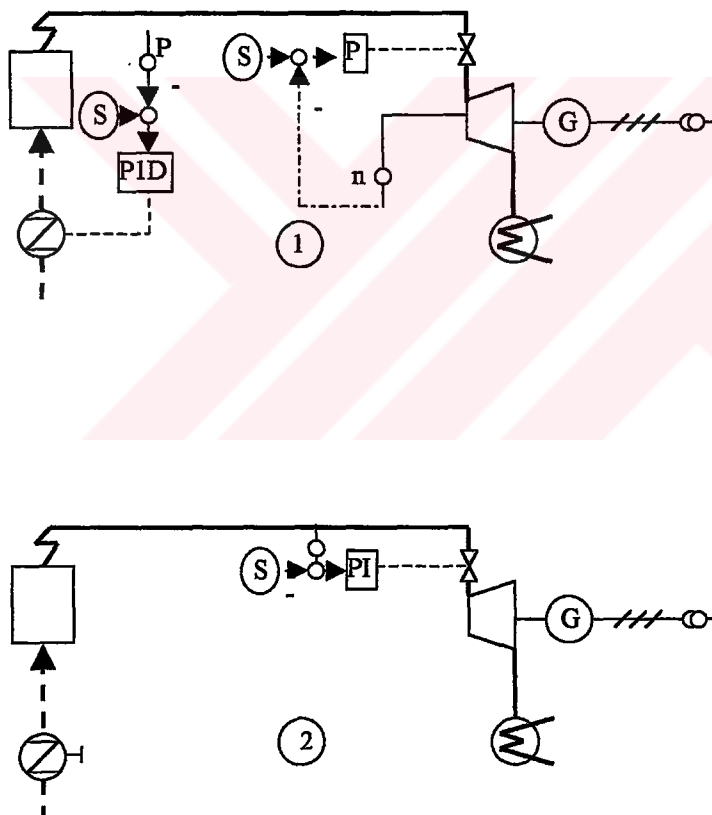
Şekil 3.6 Farklı oransal bant aralığına sahip iki türbin-generator bloğunun kontrol karakteristiği

İkinci durumda; bloklardan birisi oransal arttırmalı integral hız kontrolörü, diğer ise oransal hız kontrolörü ile donatılmıştır. Sürekli-durumda bu düzen frekansı sürekli aynı değerde tutmak için elverişlidir. Bu ikincil frekans kontrolü için tipik bir örnektir. Yukarıda açıklanan durum için, termik güç santralleri oransal hız kontrolörü ile donatılırken, hidro-elektrik santraller gibi istasyonlar oransal artırmalı integral hız kontrolörleri ile donatılırlar. Oransal (P) kontrolörlü bloklar sürekli elektriksel çıkışlı

ayarlanan ilk değerine döndürdüğü için ikincil frekans kontrolüne sürekli iştirak etmezler. Öte yandan frekansın iyileştirilmesi için uygulanan birincil frekans kontrolüne sürekli iştirak ederler. Oransal artırımlı integral (PI) kontrolörlü bloklar ise ikincil frekans kontrolünün uygulanabilmesine olanak sağlarlar.

### **3.2 .Güç Santralinin Yük-Frekans Kontrolüne Katılmaması Durumu (Sabit yük işletme şartlarında)**

Blok “frekansın sabit tutulması” işleminde yer almıyor ise pasif blok olarak nitelendirilir. Temel olarak pasif blokların uygulamadaki kullanımları Şekil 3.7 ve Şekil 3.8’de sunulmuştur. Bu diyagramlarda blok no.1 aktif blok, blok no.2 pasif blok olarak yer almıştır.

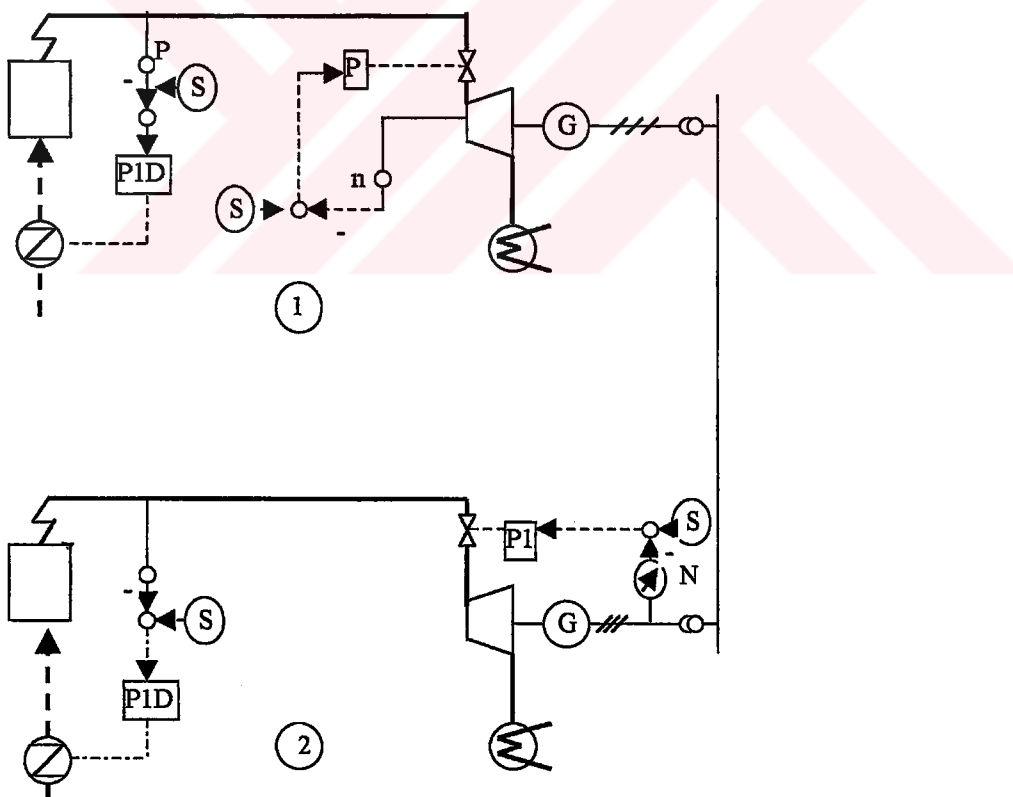


**Şekil 3.7 Temel kontrol şeması: Bir ünite aktif  
Bir ünite pasif**

Şekil 3.7’de sunulan alternatifte, blok no.2 turbinindeki buhar basıncının akışı turbin valfi ile sabit tutulur. Bu, kazandaki depolanmanın herhangi bir şekilde kullanımını

önler, türbin, sistemi kazan tarafından üretilen güç kadar besler. Kazan yakıt akışı sabit bir değere ayarlandığından generatör çıkışları sahip olur. Frekanstaki bir değişiklik güç üretiminde bir değişikliğe neden olmaz.

Tüketici tarafından talep edilen yük değişikliği aktif blok tarafından karşılanır. Eşitlik (3.1) göz önüne alındığında yük değişikliğinin neden olduğu  $\Delta f$  frekans değişiminin hesaplanması sırasında önemli bir sonuca ulaşılır: Herhangi bir elektrik sisteminde mümkün olduğu kadar çok sayıda güç santrali ve mümkün olduğu kadar çok güç ünitesi frekans kontrolüne iştirak etmelidir. Sadece bu şart sağlandığında frekans bozulması dar bir sınır içerisinde tutulabilir. Buna ilaveten, enternonnekte şebekelerde güç sisteminin bir bölümde oluşabilecek bir arıza sonucu komşu sistem arasındaki bağlantı hattının aşırı yüklenmesine karşın sistem kararlılığı sağlanır. Nükleer güç santralleri başlangıç anındaki yüksek kapital harcamaları nedeniyle yük-frekans kontrolüne katılması fayda sağlamayacaktır ve bu nedenle pasif ünite olarak görevlendirilirler.



Şekil 3.8 Temel kontrol şeması: Bir ünite aktif  
Bir ünite pasif

Şekil 3.8 pasif ünite uygulamasının bir başka şeklidir. Bu kez blok no.2'deki generatör-türbin ünitesi yük kontrolörü ile donatılır. Bu kontrolde çekilen elektrik enerjisi türbin giriş valfi ile denetlenir ve gücün artışı yada azalışı bu donanım aracılığı ile yük frekans değerinin ayarlanması ile sağlanır. Şekil 3.7'de görülen alternatifin tersine, kazan sanki aktif üniteymiş gibi kontrol edilir. İşletmede, kazan çıkışındaki buhar basıncının sabit tutulması için yakıt akışı otomatik olarak ayarlanır. Buhar basıncı, kazanın buhar çıkıştı ile türbin tarafından alınan buhar arasındaki dengesizliğin bir ölçüsü olarak algılanır.

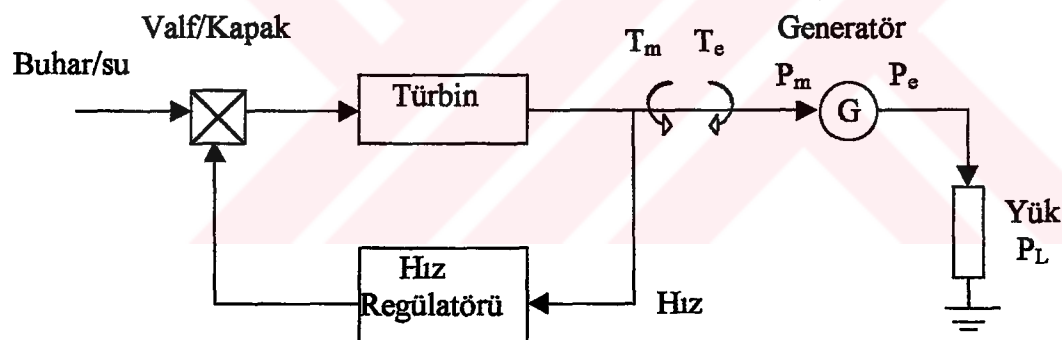
Şekil 3.7 ve Şekil 3.8'de sunulan pasif üniteler arasındaki temel fark Şekil 3.8'de görülen ünitenin yük değişikliğini Şekil 3.7 deki üniteden daha hızlı yüklenmesidir. Bunun nedeni şudur: Şekil 3.8'de ki pasif ünite brülör depolama kapasitesini kullanır. Bu hareket yükün referans değerinin üstüne yükselmesi ile gündeme gelir, türbin giriş valfi üretimin yeni yük değerine ulaşması için hızlı bir şekilde mümkün olduğunca açılır. Buhar akışında istenilen artış kazandaki buhar deposunu harcanması ile karşılanır. Bu bağıl olarak buhar basıncını düşmesine neden olur, bu sırada basınç kontrolörü bu deponun tekrar elde edilmesini ve güç artışı kadar buharın üretilmesini sağlar. Bunun aksine Şekil 3.7'de yük artışı yakıt kaynağındaki enerjinin artışı ile birlikte başlar. Buhar basıncı yanma işlemini tahrikine ve buhar üretme işlemine bağlı olarak artar ve basınç kontrolörü bağıl olarak türbin giriş valfinin açılmasına yönlendirir. Ağır davranıştı nedeniyle bu devre çok nadiren kullanılmaktadır. Yerine daha hızlı davranıştan yük kontrol düzenleri tercih edilmektedir. Ünitenin frekans kontrolüne katılımı sağlamak için ilave bir frekans ölçümleri tanımlamak ve uygun bir sinyal çıkararak bu sinyalin yük kontrolü için yük referans değerinin ayarlanması etkin olmasını sağlamak yeterli olacaktır. Bu frekans kontrol teknikleri içerisinde en çok kullanılan yöntemdir. İleride ki bölümde detaylı olarak tartışılacaktır ( Klefenz.,1986).

## BÖLÜM 4

### TEK KONTROL BÖLGELİ GÜC SİSTEMLERİNDE OTOMATİK YÜK-FREKANS KONTROLÜ

Tek kontrol bölgeli bir güç sistemlerinde, yük-frekans kontrol çevriminin rolü; aynı kontrol bölgesi içindeki bir yada bir kaç generatör ünitesinin aktif güç çıkışını ve frekansını kontrol etmektir. Dolayısıyla türbin çevrimi, yük ve frekansta küçük ve yavaş değişimler olduğunda kontrolü sağlar.

Bir güç santralindeki kontrol hareketini algılamak için bir termik ünitenin hız regülatörü-türbin-generator birleşimini düşünelim (Kundur, 1994).



$T_m$  = Mekaniksel Moment

$T_e$  = Elektriksel Moment

$P_m$  = Mekaniksel Güç

$P_e$  = Elektriksel Güç

$P_L$  = Yük

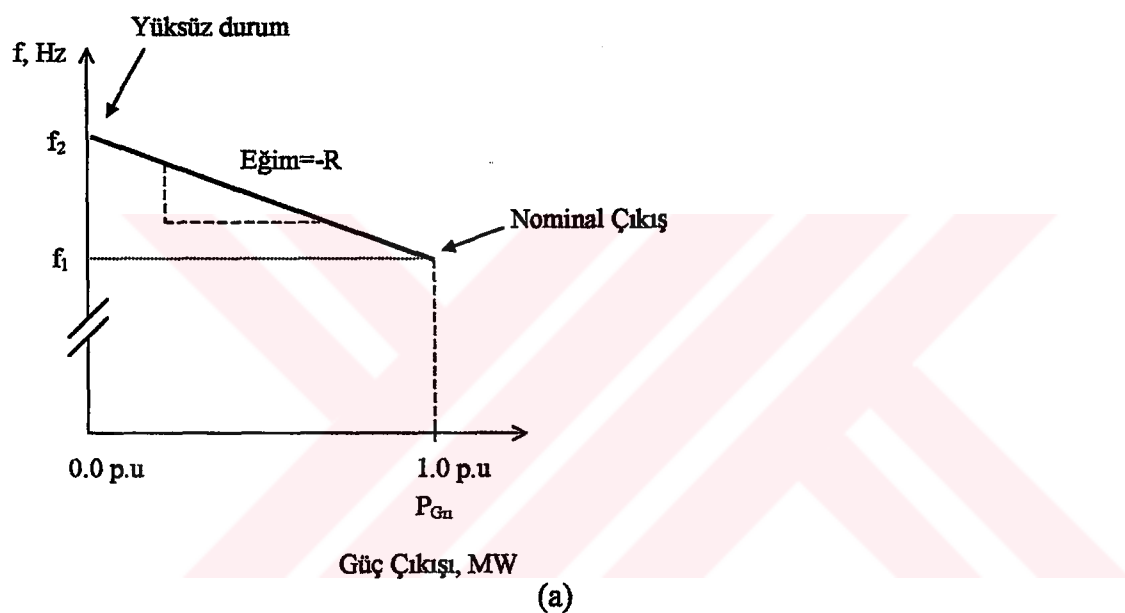
Şekil 4.1. İzole bir yükü besleyen generatör ünitesi

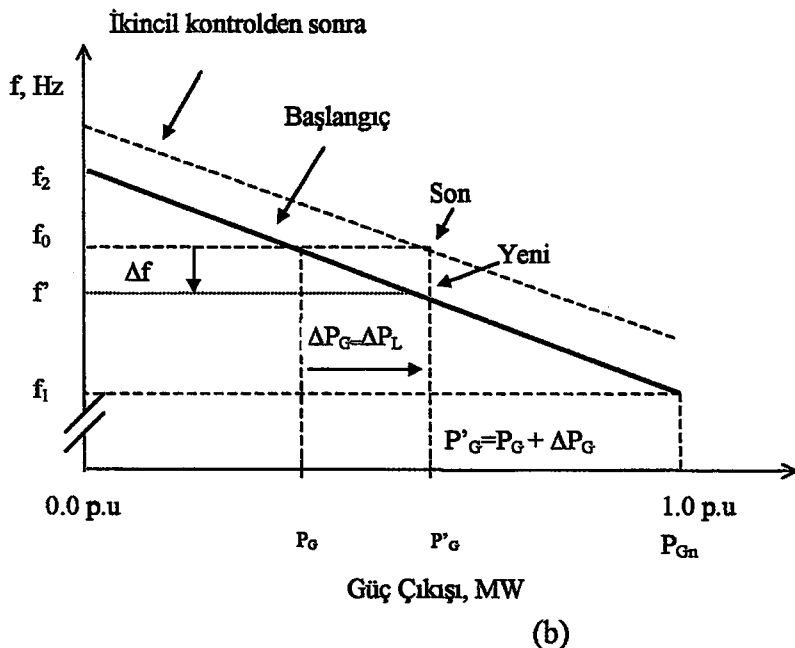
#### 4.1. Yük-Frekans Kontrolünde Hız Regülatörü

Güç ünitelerinde, türbinlerin çoğu hız regülatörleri ile donatılmıştır. Hız regülatörünün işlevi; frekans yada sistem hızındaki değişikliğe cevap vermek üzere

türbin içindeki buhar çıkışını ayarlamak üzere valfi kontrol etmek ve türbin-generator hızını sürekli gözlemlemektir (Grainger, 1994).

Hız regülatörünün idealde hız-güç çıkışı ayar karakteristiği Şekil 4.2(a)'de olduğu gibi doğrusaldır. Bir generatör ünitesinin hız regülasyonu,  $R_u$ , ünite çıkışındaki nominal gücün, 1.00 p.u'den 0.00 p.u'e azaltıldığında, per-unit cinsinde açıklanan nominal hızın değişimi olarak açıklanabilir. Frekans ekseni ve çıkış gücü ekseni nominal değerlerine bağlı olarak per-unit cinsinden ölçeklendirildiğinde, per-unit hız regülasyonu; hız-çıkış gücü karakteristiğinin eğiminin genliğidir





Şekil 4.2. (a) Bir generatör ünitesinin hız regülasyon karakteristiği

(b) Yük artışı  $\Delta P_L$  yük artışından öncesi / sonrası ve ikincil kontrol

Şekil 4.2 (a)'dan per-unit cinsinden hız regülasyonu,  $R_u$  şu şekilde verilebilir.

$$R_u = \frac{(f_2 - f_1)/f_n}{P_{Gn} / S_n} \quad \text{per-unit} \quad (4.1)$$

Burada,

$f_1$  = Yüksüz durumda frekans (Hz)

$f_2$  = Nominal güç çıkışında ( $P_{Gn}$ ) frekans (Hz)

$f_n$  = Nominal frekans (Hz)

$P_{Gn}$  = Generatör ünitesinin nominal çıkış gücü (MW)

$S_n$  = Megawatt baz değeri

dir.

Eşitliğin her iki tarafı  $f_n/S_n$  ile çarpılır ise;

$$R = R_u \frac{f_n}{S_n} = \frac{f_2 - f_1}{P_{Gn}} \left( \frac{\text{Hz}}{\text{MW}} \right) \quad (4.2)$$

elde edilir. Burada,  $R$ ; hız ayar karakteristiğinin eğiminin (Hz/MW) genliğidir.

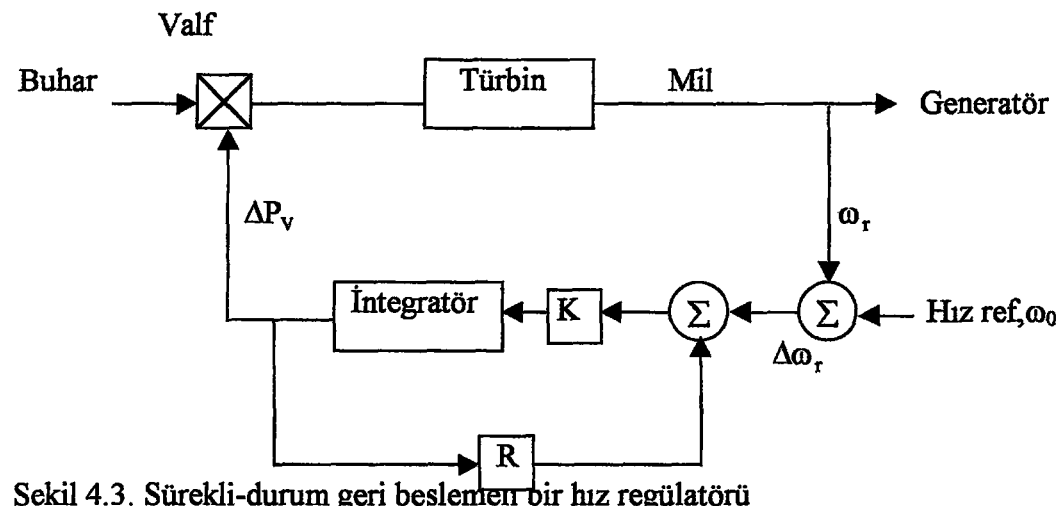
Şekil 4.2(b) görüldüğü gibi  $f_0$  frekansında ünitenin sağladığı güç çıkışı  $P_G$  iken yük artışı ( $\Delta P_L$ ) olduğundan  $P'_G = P_G + \Delta P_L$  olur. Bu durumda, ünitenin hızı azalır ve hız regülatörü ile kazandan türbine daha fazla buharın alınmasına izin verilir.

Yeni frekansta,  $f' = f_0 + \Delta f$ , üretilen ve tüketilen güçler arasında eşitlik olur. Eşitlik (4.2)'de verilen hız-çıkış gücü karakteristiğinin eğimine göre frekans değişikliği şöyle ifade edilir;

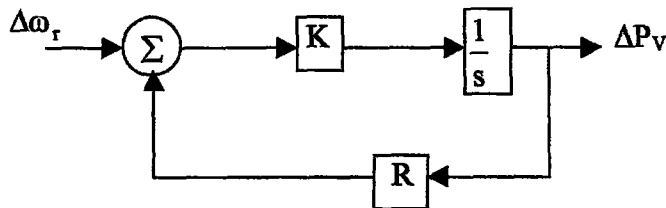
$$\Delta f = -R\Delta P_G = -\left(R_n \frac{f_n}{S_n}\right)\Delta P_G \text{ (Hz)} \quad (4.3)$$

Şekil 4.2'de sunulan izole güç ünitesi,  $\Delta f$  kadar azaltılan frekansında işlemeye devam edecektir. Böylece, kontrol sisteminin birincil kontrol aksiyonu tamamlanmış olur. Sistem yeni çıkış gücü  $P'_G$ 'yi verirken, sistemi tekrar istenilen nominal frekansta çalışmasını sağlamak üzere üretim ünitesinin kinetik enerjisini artıracak şekilde hız regülatörünün yük-referans ayarı yapılarak ikincil kontrol gerçekleştirilir (Grainger, 1994).

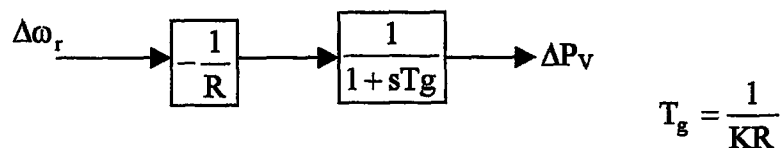
Şekil 4.2(a)'da sunulan karakteristik bir integratöre bir sürekli-durum geri besleme çevriminin eklenmesi ile elde edilir (Şekil 4.3).



Şekil 4.3. Sürekli-durum geri beslemeli bir hız regülatörü



(a) Sürekli -hal geri beslemeli blok diyagram



(b) İndirgenmiş blok diyagram

Şekil 4.4 .Hız-kayma karakteristikli bir hız regülatörünün blok diyagramı

Şekil 4.3'deki hız regülatörünün transfer fonksiyonu Şekil 4.4'deki şekilde indirgenebilir. Hız regülatörü, oransal kontrolör gibi temsil edilebilir.

R değeri; Şekil 4.5'de görüldüğü üzere üretim ünitesinin hız-çıkış gücü karakteristiğini belirler.

Hız bozulmasının ( $\Delta\omega_R$ ) yada frekans bozulmasının ( $\Delta f$ ) valf pozisyonu ( $\Delta P_V$ ) yada çıkış gücündeki değişime ( $\Delta P_G$ ) oranı R'ye eşittir. R parametresi hız regülasyonu yada kayması olarak tanımlanır.

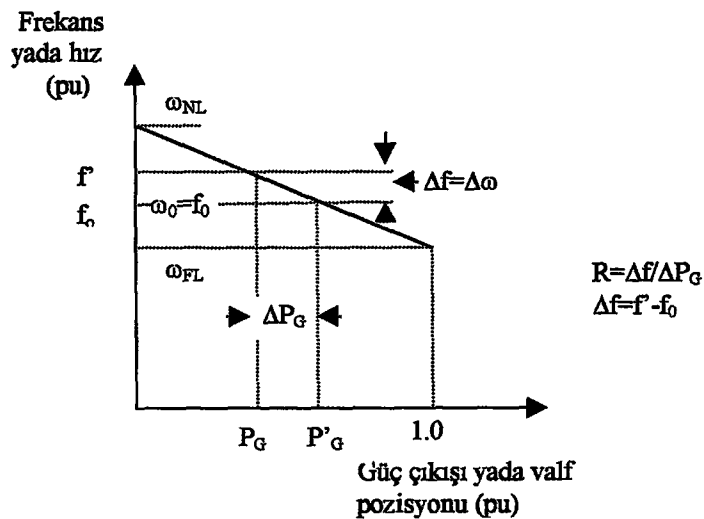
Yüzde değer olarak şu şekilde açıklanabilir.

$$R\% = \frac{\text{Hizyadafrekansdeğişi min inyüzdedeğeri}}{\text{Güççıkışındakideğişi min yüzdedeğeri}} * 100$$

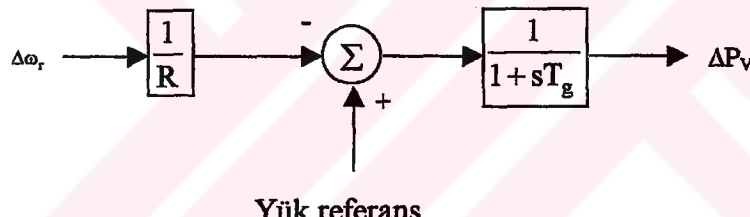
Örneğin; 5% regülasyon oranı; 5% frekans bozulmasının, valf pozisyonunda yada güç çıkışında 100% bir değişikliğe sebep olacağı anlamına gelir

Hız ile yük (güç çıkışı) arasındaki ilişki Şekil 4.6'da görüldüğü üzere yük-frekans değeri olarak isimlendirilebilecek bir giriş değerinin değişmesiyle ayarlanabilir. Bu

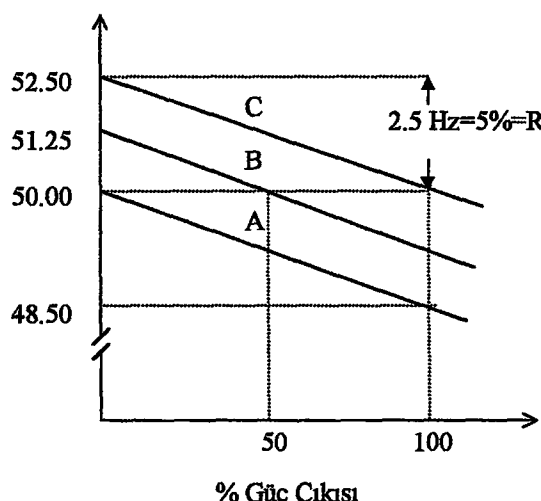
ayarlama bir hız değiştirici servo-motor aracılığı ile yapılır. Hız regülatörünün yük-frekans ayarının etkisi Şekil 4.7'de gösterilmektedir.



Şekil 4.5.Hız-kayma karakteristikli hız regülatörünün ideal sürekli-durum karakteristiği



Şekil 4.6 .Hız-yük ilişkisini ayarlamak için yük-frekans kontrol hız regülatörü



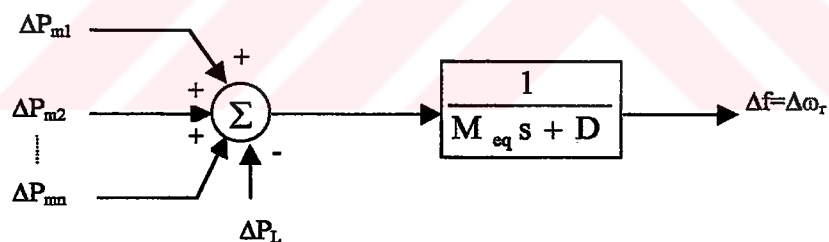
Şekil 4.7 .Hız regülatörünün hız-çıkış gücü karakteristiğine hız değiştirici servomotor ile gerçekleşen yük-referans ayarının etkisi.

Burada üç değişik yük-frekans değeri ayarı için üç paralel karakteristik ailesi görülmektedir. Örneğin; 50 Hz'de A karakteristik eğrisi 0% güç akışı sonucunu verir, B karakteristik eğrisi 50% güç akışı sağlar, C karakteristiği ise 100% güç akışı sonucunu verir. (Kundur, 1994).

#### 4.2. İzole Bir Yükü Besleyen Bir Üretim Ünitesinin Hız Kontrolü

Bir generatörün, bir izole yükü beslemesi istediği zaman yada çok generatörlü sisteme, sadece bir generatörün yükteki değişikliklere cevap vermesi istendiğinde, asenkron hız regülatörleri verimli olarak çalışır.

Asenkron sabit hız anlamındadır. Asenkron hız regülatörü, türbin valf/kapak pozisyonunu frekansı nominal yada programlanan değerine getirmek için ayarlar. Şekil 4.8 böyle bir asenkron hız regülatörünün şematik gösterimini vermektedir.



Şekil 4.8 .Bir asenkron hız regülatörünün şeması

Ölçülen rotor hızı  $\omega_r$ , referans hız  $\omega_o$  ile karşılaştırılır. Hız bozulmasına eşit olan hata sinyalinden,  $\Delta\omega_r$ , buhar türbininde ana buhar besleme valfini, hidrolik türbinde kapağı harekete geçirmek üzere bir  $\Delta P_V$  kontrol sinyali üretilir (Kundur, 1994 ve Wood, 1996).

### 4.3 .Paralel Üniteler Arasında Yükün Paylaşımı

İki yada daha fazla üretim ünitesinin paralel işletildiği durumlarda, kayma karakteristiği; tek bir genel frekans oluşacak şekilde, yükün üniteler arasında kapasiteleri oranınca paylaşılmasını sağlar.

K adet üretim ünitesinin verilen frekansta senkronize işletildiğinde  $\Delta P_L$  megawatt kadar yük değişikliğinin olduğunu düşünelim. Başlangıçtaki hız regülasyon aksiyonundan sonraki sürekli-durum eşitliğinde bütün ünitelerin frekans artışı miktarı  $\Delta f$  Hz olacak şekilde değişecektir. Değişiklikçe cevap olarak ünite çıkışları şu şekildedir.

$$\text{Ünite 1 için; } \Delta P_{G1} = -\frac{S_{n1}}{R_{iu}} \cdot \frac{\Delta f}{f_n} (\text{MW})$$

$$\text{Ünite } i \text{ için; } \Delta P_{Gi} = -\frac{S_{ni}}{R_{iu}} \cdot \frac{\Delta f}{f_n} (\text{MW}) \quad (4.4)$$

$$\text{Ünite } k \text{ için; } \Delta P_{Gk} = -\frac{S_{nk}}{R_{ku}} \cdot \frac{\Delta f}{f_n} (\text{MW})$$

Bu eşitlıkların birbirine eklenmesi ile güç çıkışındaki toplam değişiklik şu şekilde elde edilir:

$$\Delta P_L = -\left( \frac{S_{n1}}{R_{iu}} + \dots + \frac{S_{ni}}{R_{iu}} + \dots + \frac{S_{nk}}{R_{ku}} \right) \frac{\Delta f}{R_{ku}} \quad (4.5)$$

Buradan, frekans değişikliği;

$$\frac{\Delta f}{f_n} = -\frac{\Delta P_L}{\left( \frac{S_{n1}}{R_{iu}} + \dots + \frac{S_{ni}}{R_{iu}} + \dots + \frac{S_{nk}}{R_{ku}} \right)} \text{ Per-unit} \quad (4.6)$$

olarak bulunur. Eşitlik (4.6), eşitlik (4.4)'de yerine konulduğunda Ünite i için ilave güç çıkışısı ( $\Delta P_{Gi}$ ) hesaplanır (Kundur, 1994).

$$\Delta P_{Gi} = -\frac{S_{Ri}/R_{iu}}{\left(\frac{S_{n1}}{R_{iu}} + \dots + \frac{S_{ni}}{R_{iu}} + \dots + \frac{S_{nk}}{R_{ku}}\right)} \cdot \Delta P_L \text{ MW} \quad (4.7)$$

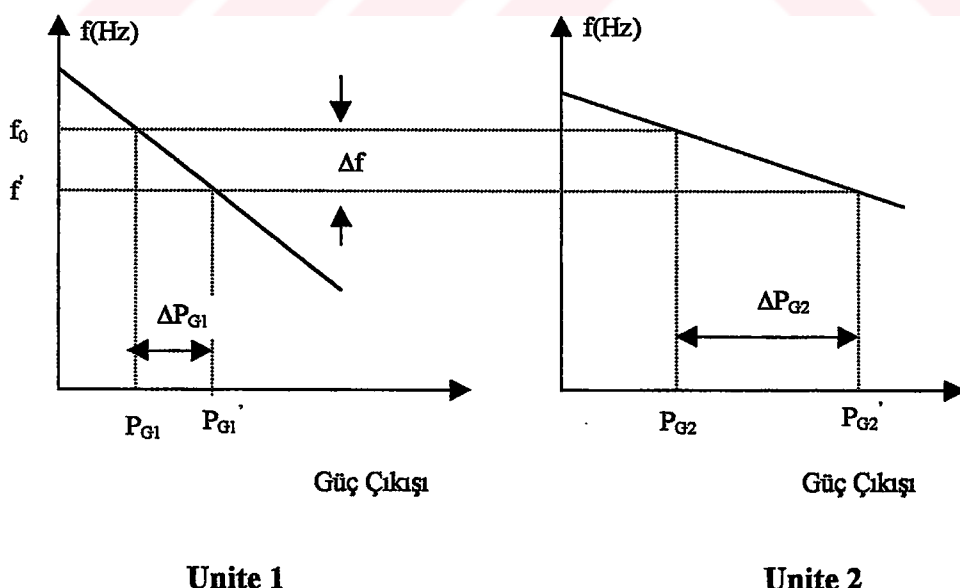
Şekil 4.9'da gösterilen kayma karakteristiklerine sahip iki ünite başlangıçta  $P_{G1}$  ve  $P_{G2}$  gücünde ve nominal frekansta ( $f_0$ ) işletildiğini düşünülür ise; yükte  $\Delta P_L$  kadar bir artış söz konusu olduğunda, ünitelerin hızı düşecektir. Hız regülatörleri çıkışlarını yeni işletme frekansına gelinceye kadar artıracaklardır. Her ünitenin kaldıracağı yük miktarı kayma karakteristiğine bağlıdır:

$$\begin{aligned} \Delta P_{G1} &= P_{G1}' - P_{G1} = \frac{\Delta f}{R_1} \\ \Delta P_{G2} &= P_{G2}' - P_{G2} = \frac{\Delta f}{R_2} \end{aligned} \quad (4.8)$$

Böylece,

$$\frac{\Delta P_{G1}}{\Delta P_{G2}} = \frac{R_2}{R_1} \quad (4.9)$$

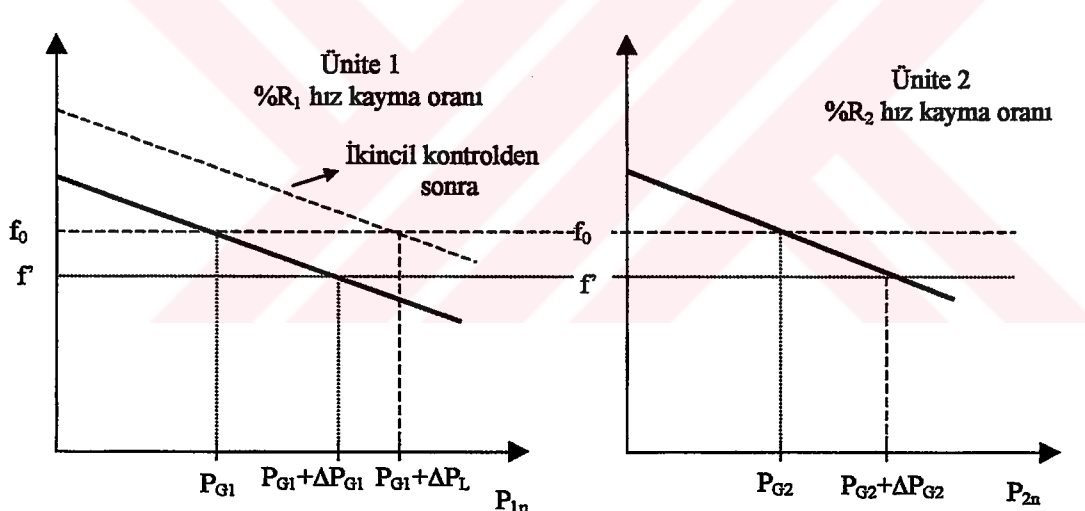
olduğu görülebilir (Grainger, 1994).



Şekil 4.9. Kayma karakteristikli hız regülatörlerine sahip üniteler arasında yük paylaşımı

Yük değişikliğinin olduğu bölgede, üniteler senkronize olarak yeni sistem frekansı ile çalışmaya devam ederler. ‘Düşür’ yada ‘yükselet’ sinyalleri, o bölgedeki güç santrallerinde seçilmiş yada bütün hız değiştiricilere gönderilir. Hız regülatörlerinin yük referans ayarlarının koordineli kontrolü ile sistem bütün ünitelerini arzu edilen  $f_0$  frekansına geri getirmek ve üretim ünitelerinin kapasitelerine göre istenilen yük bölüşümünü sağlamak mümkündür. Böylece ikincil frekans kontrolü gerçekleştirilir.

Aynı düşünce ile Şekil 4.10'da gösterilen sistemi tartışalım. Kayma karakteristikli hız regülatörüne sahip iki ünite başlangıçta  $P_{G1}$  ve  $P_{G2}$  gücünde ve nominal frekansta işletildiğini düşünelim. Ükte  $\Delta P_L$  kadar bir artış olduğunda ünitelerin hızı düşecektir. Hız regülatörleri çıkışlarını yeni iletme frekansına gelinceye kadar arttırırlar. Sadece ünite 1'in ikincil kontrole iştirak ettiği düşünülür ise, ünite 1'in yük referans ayarı değiştirilerek yük artısını üzerine alması ile birlikte sistemin yeniden nominal frekansta işletilmeye başlanır.



Şekil 4.10. Sadece ünite 1'in ikincil kontrole katılması durumunda üniteler arasında yükün paylaşımı

#### 4.4. Otomatik Yük Frekans Kontrolünün Birincil Çevriminin Kapanması

Normal işletme şartlarında, sistemin güç dengesi sürekli dir.

Bu denge,

$$P_G = P_L + P_{\text{kayıplar}} \quad (4.11)$$

ile sağlanır.

Frekans ise, bu şartlar içerisinde nominal değerindedir. Yükün aniden artması dengeyi bozar. Generatör çıkışı da yeni yüke uyum sağlamak için aniden artar ve

$$\Delta P_G = \Delta P_L$$

olur. Ancak bu denge sağlanırken,  $\Delta P_T = \Delta P_L (\text{MW})$  değerinde bir dengesizlik olacaktır. Bunun sonucu olarak hız ve dolayısıyla frekans değişecektir. Bu değişikliğin alan boyunca düzgün olduğu kabul edilir ve kinetik enerjinin, hızın karesi ile orantılı olduğu düşünülür ise,

$$W_{kin} = W_{kin_0} \left( \frac{f'}{f_0} \right) \text{MWs} \quad (4.12)$$

olur. Bölgede güç dengesi; türbin güç artışı; yük değişikliği ve kinetik enerjinin değişiminin toplamına eşit olması ile elde edilir.

$$\Delta P_T = \Delta P_L + \frac{d}{dt}(W_{kin}) + D\Delta f \quad \text{MW} \quad (4.13)$$

Burada;

$$f' = f_0 + \Delta f$$

dir. Eşitlik (4.12) kullanılarak bölge kinetik enerji tekrar ifade edilir ise;

$$\begin{aligned} W_{kin} &= W_{kin_0} \left[ \frac{f_0 + \Delta f}{f_0} \right]^2 = W_{kin_0} \left[ 1 + \frac{\Delta f}{f_0} \right]^2 \\ &= W_{kin_0} \left[ 1 + 2 \frac{\Delta f}{f_0} + \left( \frac{\Delta f}{f_0} \right)^2 \right] \\ &\approx W_{kin_0} \left( 1 + 2 \frac{\Delta f}{f_0} \right) \end{aligned} \quad (4.14)$$

Eşitlik (4.14), eşitlik (4.13)'de yerine yerleştirilirse, güç dengesi eşitliği şu şekli alır;

$$\Delta P_T - \Delta P_L = \frac{2W_{kin_0}}{f_0} \frac{d}{dt}(\Delta f) + D\Delta f \quad MW \quad (4.15)$$

Eşitlik (4.15) generatör nominal gücü  $P_{Gn}$  ile bölünür ise, makinanın atalet sabiti per-unit cinsinden tanımlanır.

$$H = \frac{W_{kin_0}}{P_{Gn}} \left( \frac{MWs}{MW} \right) \quad (4.16)$$

Genelde değeri 2-8 saniye arasındadır. Yukarıdaki eşitlik şu hale gelir:

$$\Delta P_T - \Delta P_L = 2 \frac{H(s)}{f_0} \Delta f + D\Delta f \quad p.u. MW \quad (4.17)$$

Denkleme Laplace dönüşümü uygulanırsa;

$$\Delta P_T(s) - \Delta P_L(s) = 2 \frac{H(s)}{f_0} \Delta f(s) + D\Delta f(s) \quad (4.18)$$

bulunur. Buradan,

$$\Delta f(s) = G_p(s) [\Delta P_T(s) - \Delta P_L(s)] \quad (4.19)$$

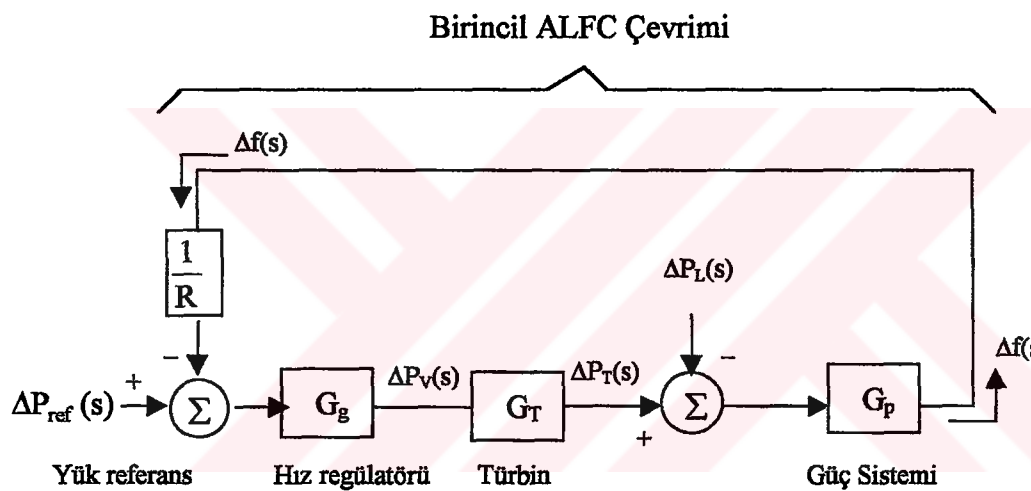
elde edilir ve  $G_p$ ; güç sistemi transfer fonksiyonu olmak üzere şu parametreler tanımlanır:

$$G_p(s) \stackrel{\Delta}{=} \frac{K_p}{1+sT_p} \quad (4.21)$$

$$T_p(s) \stackrel{\Delta}{=} \frac{2H}{f_0 D} (sn) \quad (4.22)$$

$$K_p(s) \stackrel{\Delta}{=} \frac{1}{D} \left( \frac{Hz}{p.u} MW \right) \quad (4.23)$$

Güç sistemini tanımlayan parametrelerin de yardımıyla, Şekil 4.11'de otomatik yük-frekans kontrolünün birincil kontrol çevrimi sunulmuştur.



Şekil 4.11. Birincil otomatik yük-frekans kontrol çevrimi

#### 4.5. Otomatik Yük-Frekans Kontrolünün İkincil Çevriminin Kapanması

İkincil otomatik yük-frekans kontrol çevrimi ile, frekansın istenilen değere restorasyonu ve sabitliği sağlanır.

Şekil 4.11'de de görüldüğü üzere, otomatik yük-frekans kontrol çevrimi, bir çıkış;  $\Delta f$  ve iki giriş;  $\Delta P_{ref}$ ,  $\Delta P_L$  değişkenine sahiptir. Blok diyagramında,

$$\Delta f = G_p \left[ \left( \Delta P_{ref} - \frac{1}{R} \Delta f \right) G_g G_T - \Delta P_L \right] \quad (4.24)$$

olarak bulunur.

Yük-frekans kontrolünün dinamiği daha iyi anlamak için, Şekil 4.11'de sunulan kontrol çevrimini iki farklı durum için inceleyelim.

#### 4.5.1. Kontrolsüz durumda otomatik yük-frekans kontrol çevriminin frekans cevabı

Hız değiştiricinin pozisyon değiştirmediği düşünülür ise;

$$\Delta P_{ref} = 0$$

olur. Bu durumda frekans değişiminin transfer fonksiyonu,

$$\Delta f(s) = -\frac{G_p(s)}{1 + \frac{1}{R} G_p(s) G_g(s) G_T(s)} \Delta P_L(s) \quad (4.25)$$

dir.  $\Delta P_L = M$  kadar bir basamak yük değişikliği için,

$$\Delta P_L(s) = \frac{M}{s} \quad (4.26)$$

olarak transfer fonksiyonu elde edilir.

Eşitlik (4.25)'den statik frekans düşüşü,

$$\Delta f_0 = \lim_{s \rightarrow 0} [s \Delta f(s)] = -\frac{K_p}{1 + \frac{K_p}{R}} = -\frac{M}{D + \frac{1}{R}} H_2 \quad (4.27)$$

olarak bulunur. Buradan; bölge frekans cevap karakteristiği;  $\beta$ , tanımlanabilir.

$$\beta = D + \frac{1}{R} \quad p.u \frac{MW}{Hz} \quad (4.28)$$

Bu durumda, frekans düşüşü;

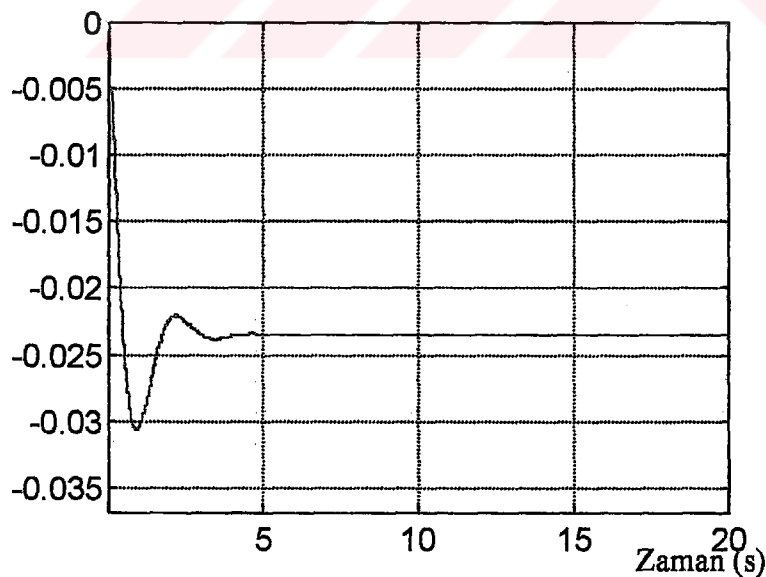
$$\Delta f_0 = -\frac{\Delta P_L}{\beta} = -\frac{M}{\beta} \text{ Hz} \quad (4.29)$$

olarak bulunur.

Sistemin dinamik davranışını incelemek amacıyla, eşitlik(4.25) için gerekli Laplace dönüşümü yapıldığında,  $R$ 'nin azalmasının statik frekans hatasını azalttığı görülür.

Sistemin geçici performansı adım bozulma ile karakterize edilir. Yükteki birim adım yük değişimi sistemin frekans cevabı hakkında bilgi verecektir. Genliği 0.01 p.u. olan bir yük değişimi lineer bir model olan yük-frekans kontrol çevrimi için yeterli olacaktır (Chan, 1981).

Şekil 4.12'de 0.01 p.u. değerinde birim yük artışı için kontolsüz durumda sistemin frekans cevabı sunulmuştur. Bu cevap aynı zamanda sistemin birincil frekans kontrolünün frekans bozulmasına verdiği cevaptır (Elgerd, 1971).



Şekil 4.12. Birincil yük-frekans kontrol çevriminin adım yük değişimine verdiği frekans cevabı

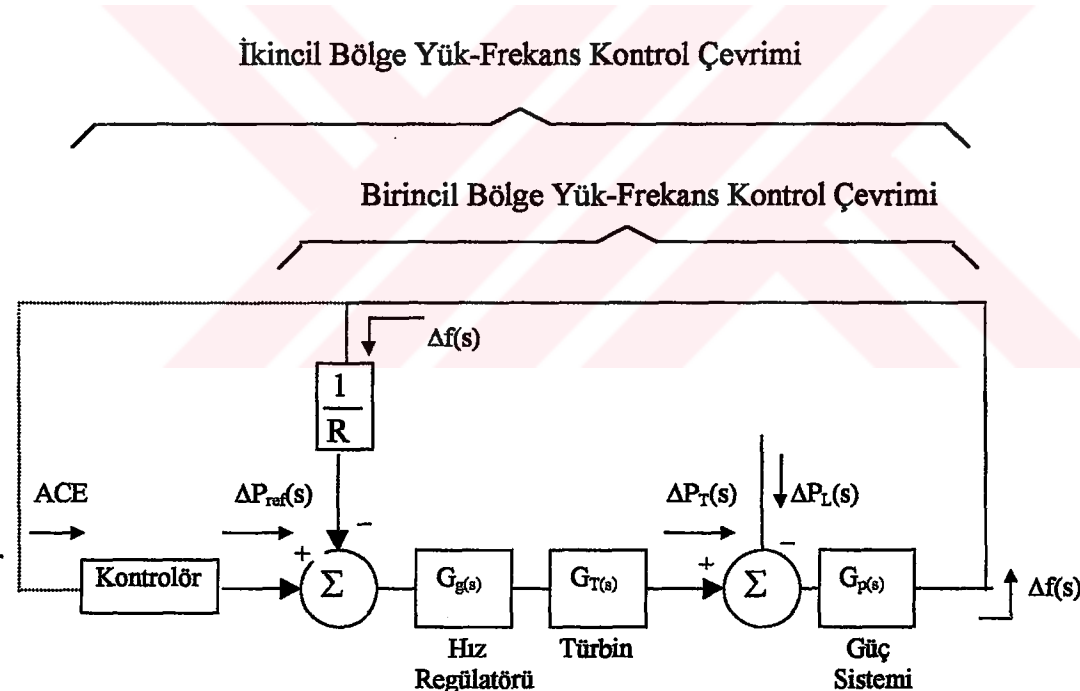
#### 4.5.2. Kontrollü durumda otomatik yük-frekans kontrol çevriminin frekans cevabı

Hız regülatörlerinin sağladığı frekans sabitliğinden daha iyi sonuçlar sağlamak ve bir adım yük değişikliğini takiben, frekans hmasını sıfıra döndürmek için hız değiştiricisi uygun kontrol stratejisi ile hareket ettirilmelidir.

Şekil 4.13 birincil yük-frekans kontrol çevrimine ikincil döngü eklenderek elde edilmiştir. Kontrolörü besleyen sinyal “Bölge Kontrol Hatası (ACE-Area Control Error) olarak adlandırılır. Tek bölgeli sistemler için bu sinyal;

$$ACE = \Delta f$$

dir.

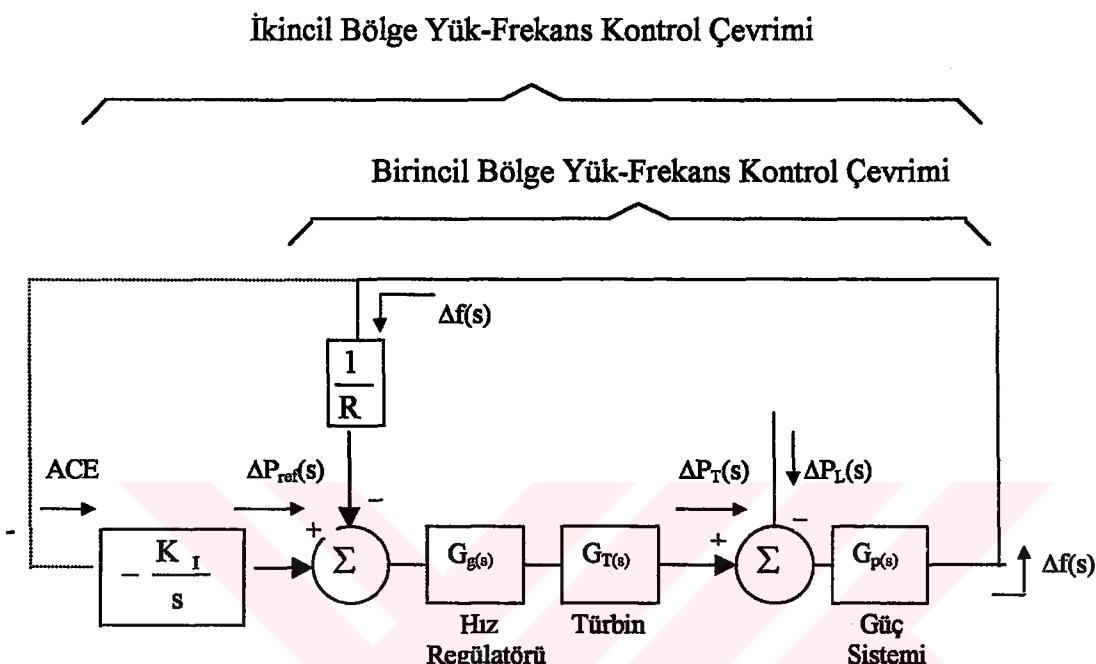


Şekil 4.13. Kapalı çevrim otomatik yük-frekans kontrolü

#### **4.6. Otomatik Yük-Frekans Kontrolünde Integral Kontrolörün Kullanılması**

Bu altbölümde kontrol aksiyonunun daha iyi anlaşılabilmesi için, kontrolör olarak integratör kullanılarak inceleme yapılmıştır.

İkincil yük-frekans kontrolüne katılan ünitenin yük-frekans ayarlayıcısına bir integral kontrolörü eklenerek sürekli durumda sıfır frekans hatası sağlanır (Şekil 4.14).



Şekil 4.14. Integral kontrolörü ile donatılmış tek bölgeli bir güç sisteminin otomatik yük-frekans kontrol diyagramı

Integral kontrolör, sistemde bir hata kaldığı sürece çıkışını arttırmır ve hız değiştiricinin hareketine neden olur. Integratör çıkışı yalnızca frekans hatası sıfır olduğunda sabit bir değere ulaşır ve böylece hız ayarlayıcı pozisyon değiştirmez.  $K_I$ ; kazanç sabiti integrasyon oranını kontrol eder ve çevrimin cevap hızını denetler.

Basamak yük değişimine karşılık olarak hız değiştiricinin pozisyon değiştirdiği düşünülür ise,

$$\Delta P_{ref}(s) = -\frac{K_I}{s} \Delta f(s) \quad (4.30)$$

dir.

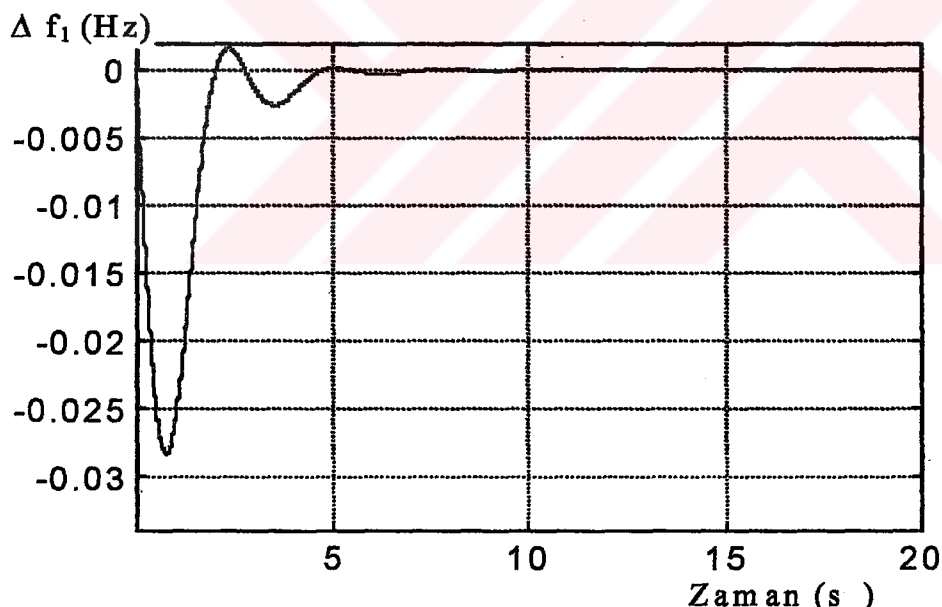
Şekil 4.14'deki blok diyagramdan,

$$\Delta P(s) = -\frac{K_I}{s} \frac{G_p(s)}{1 + \frac{1}{R} G_p(s) G_g(s) G_T(s)} \cdot \frac{M}{s} \quad (4.31)$$

elde edilir. Sistemin dinamik davranışını eşitlik (4.31)'e gerekli Laplace dönüşümü uygulanarak görülebilir. Dönüşüm irdelendiğinde  $K_I$  kazancının;

$$K_I > \frac{1}{4T_p K_p} \left(1 + \frac{K_p}{R}\right)^2 \stackrel{\Delta}{=} K_{I,\text{kritik}} \quad (4.32)$$

olduğu sonucu çıkarılabilir.  $K_I \leq K_{I,\text{kritik}}$  ise kontrol sistemi osilasyon yapmayan bir cevap sağlar.



Şekil 4.15. Şekil 4.14'de tanımlanan sistem için adım yük değişiminde ortaya çıkan dinamik frekans dalgalanması

Şekil 4.15'de adım yük değişimine karşı integral kontrolör ile donatılmış ikincil yük-frekans kontrol çevriminin frekans cevabı sunulmuştur.

## BÖLÜM 5

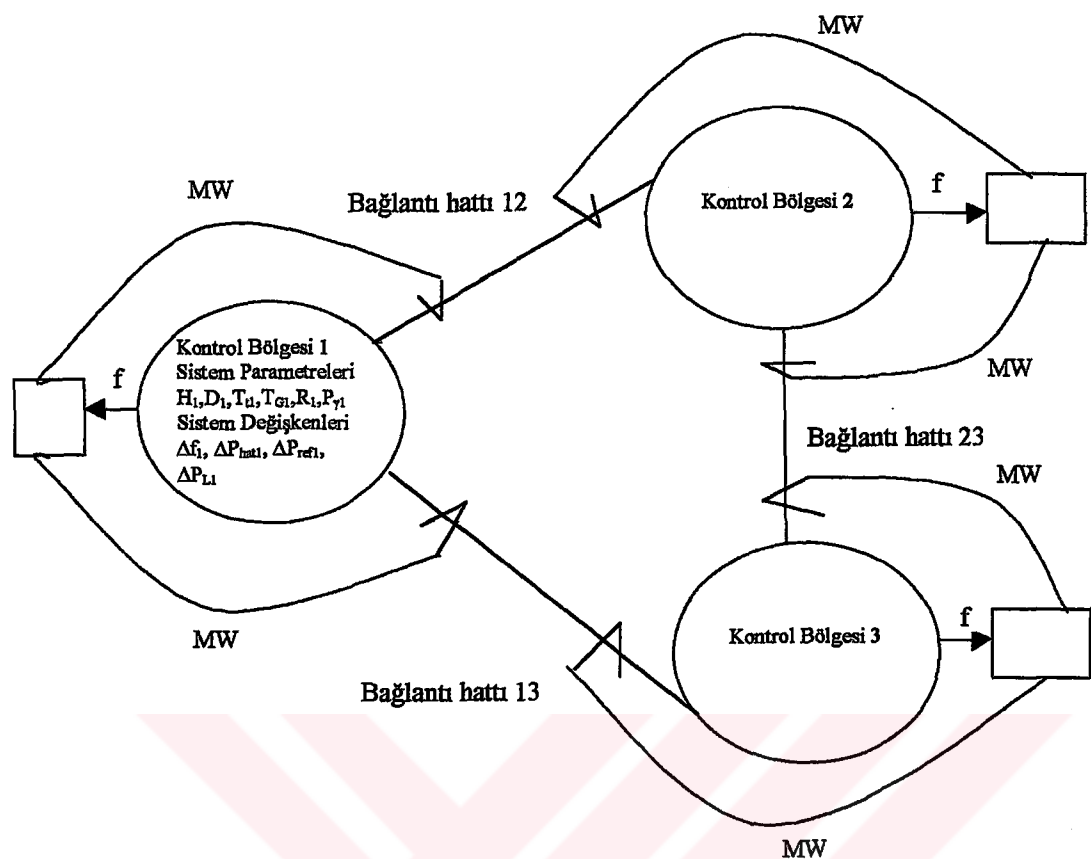
### **İKİ veya DAHA FAZLA KONTROL BÖLGESİNE SAHİP GÜC SİSTEMLERİNDE OTOMATİK YÜK-FREKANS KONTROLÜ**

İki veya daha fazla kontrol bölgесine sahip güç sistemlerinde, otomatik yük-frekans kontrolü<sup>1</sup>; generatör ünitelerinden istenilen aktif güç çıkışlarının sağlanması yolu ile frekans kontrolüne yardımcı olduğu gibi, bölgeler arasındaki güç alışverişinin arzu edilen değerler arasında tutulmasını da sağlar.

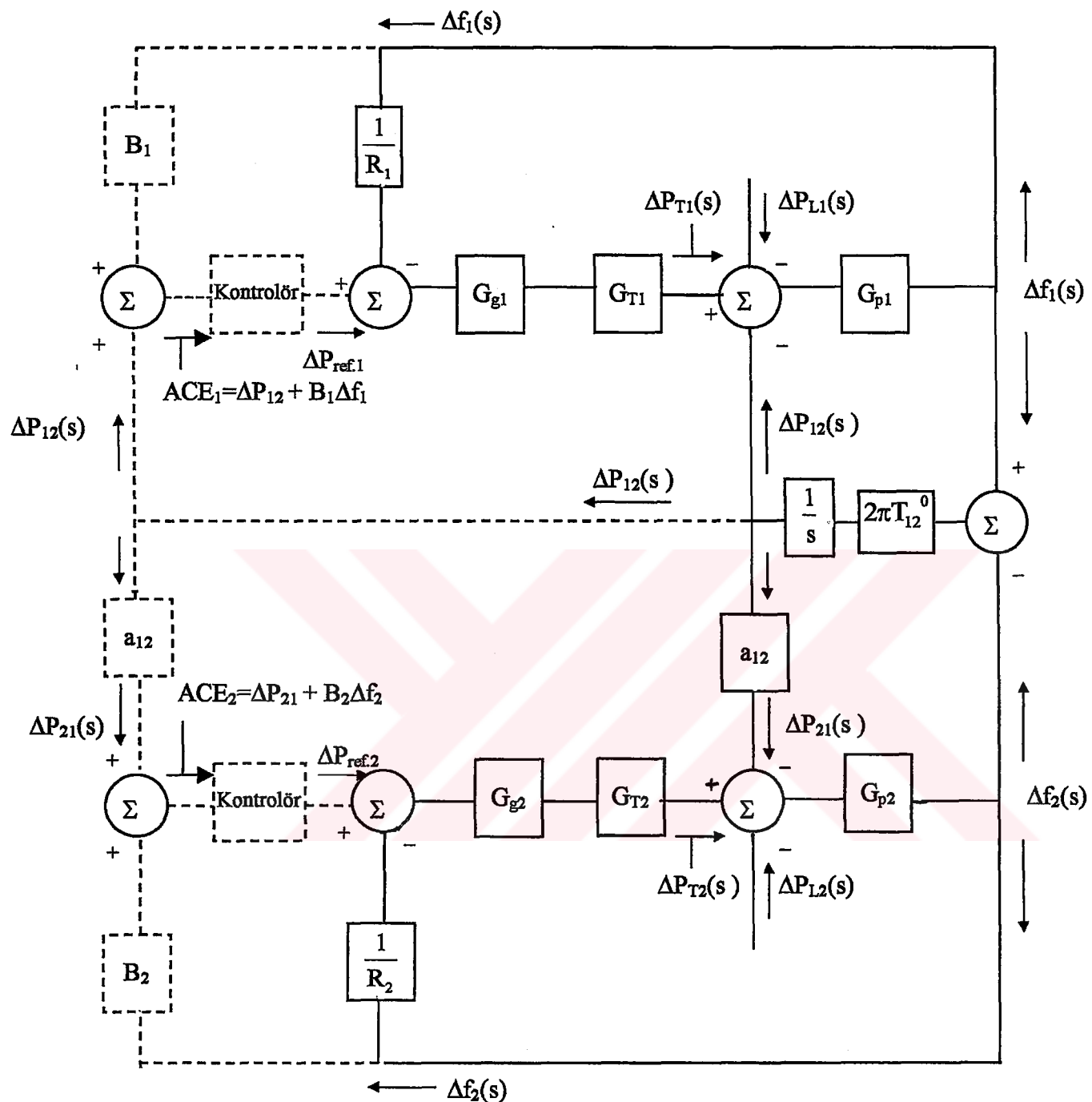
Şekil 5.1'de sunulduğu gibi, her kontrol bölgesi kendi kontrol parametreleri ile tanımlanır. Ancak bütün bölgelerin ortak paylaştıkları tek bir frekans değeri vardır.

İki veya daha fazla kontrol bölgесini içeren bir enterkonnekte sistemdeki otomatik yük-frekans kontrolünü incelemek için iki kontrol bölgeli bir güç sistemi Şekil 5.2'de sunulmuştur

<sup>1</sup>Genellikle, yük-frekans kontrolü terimi yerine otomatik üretim kontrolü (AGC-Automatic Generation Control) kullanılmaktadır (Elgerd, 1971).



Şekil 5.1. Çok bölgeli bir güç sisteminin diyagram ile ifadesi



Şekil 5.2. İki bölgeli bir güç sistemi için yük-frekans kontrol çevrimi.

Konuya başlamadan önce iki bölge arasında transfer fonksiyonu,  $a_{12}$ , tanımlanmalıdır.

$$a_{12} \stackrel{\Delta}{=} -\frac{P_{\gamma_1}}{P_{\gamma_2}} \quad (5.1)$$

Burada,

$P_{\gamma_1}$  = 1 nci kontrol bölgесinin güç bölgесinin güç kapasitesi

$P_{\gamma_2}$  = 2 nci kontrol bölgесinin güç bölgесinin güç kapasitesi

Eğer iki bölgenin kapasitesi birbirinden farklı ise, bağlantı hatları arasında iletilen güç;

$$\begin{aligned} \Delta P_{\text{hat},2} &= -\frac{P_{\gamma_1}}{P_{\gamma_2}} \Delta P_{\text{hat},1} \\ \Delta P_{\text{hat},2} &= a_{12} \Delta P_{\text{hat},1} \end{aligned} \quad (5.2)$$

olur.

### 5.1. Otomatik Yük-Frekans Kontrolünde Birincil Çevrimin Kapanması ve Çevrimin Frekans Cevabı

İki bölgeli bir sistemde hız değiştiricinin pozisyonunun sabit olduğu kabul edilir ise,

$$\Delta P_{\text{ref},1} = \Delta P_{\text{ref},2} = 0$$

olur.

Birinci bölgедeki yükün  $\Delta P_{L1}$  ve ikinci bölgедeki yükün  $\Delta P_{L2}$  kadar arttığı düşünülür ise frekanstaki ve bağlantı hattındaki güç değişiminin statik durumu şu şekildedir.

$$\begin{aligned} \Delta P_{T_{10}} &= -\frac{1}{R_1} \Delta f_0 \\ \Delta P_{T_{20}} &= -\frac{1}{R_2} \Delta f_0 \end{aligned} \quad (5.3)$$

Bağlantı hatlarındaki güçlerin toplanması ile,

$$\Delta P_{T1} - \Delta P_{L1} - \Delta P_{hat,1} = D_1 \Delta f_0 \quad (5.4)$$

$$\Delta P_{T2} - \Delta P_{L2} - \Delta P_{hat,2} = D_2 \Delta f_0$$

elde edilir.

Eşitlik (5.3) ve (5.2), eşitlik (5.4)'de yerine konulur ise,

$$-\frac{1}{R_1} \Delta f_0 - \Delta P_{L1} = D_1 \Delta f_0 + \Delta P_{hat,12} \quad (5.5)$$

ve

$$-\frac{1}{R_2} \Delta f_0 - \Delta P_{L2} = D_2 \Delta f_0 - a_{12} \Delta P_{hat,12} \quad (5.6)$$

ifadeleri elde edilir.  $\Delta f_0$  ve  $\Delta P_{hat,12}$  için eşitlik (5.5) ve (5.6) çözülür ise,

$$\Delta f_0 = \frac{\Delta P_{L2} - a_{12} \Delta P_{L1}}{\beta_2 - a_{12} \beta_1} \quad (5.7)$$

$$\Delta P_{hat,12} = \frac{\beta_1 \Delta P_{L2} - \beta_2 \Delta P_{L1}}{\beta_2 - a_{12} \beta_1} \quad (5.8)$$

olur.

Burada bölge frekans cevap karakteristikleri,

$$\begin{aligned}\beta_1 &\stackrel{\Delta}{=} D_1 + \frac{1}{R_1} \\ \beta_2 &\stackrel{\Delta}{=} D_2 + \frac{1}{R_2}\end{aligned}\quad (5.9)$$

şeklindedir. Eşitlik (5.9)'daki parametreler özdeş kabul edilir ise,

$$\begin{aligned}D_1 &= D_2 = D \\ R_1 &= R_2 = R \\ \beta_1 &= \beta_2 = \beta\end{aligned}\quad (5.10)$$

olur ve,

$$a_{12} = -1 \quad (5.11)$$

elde edilir. Bu durumda,

$$\Delta f_o = \frac{\Delta P_{L2} + \Delta P_{L1}}{2\beta} \text{ Hz} \quad (5.12)$$

$$\Delta P_{hat,12_o} = \frac{\Delta P_{L2} - \Delta P_{L1}}{2} \text{ p.uMW} \quad (5.13)$$

olarak bulunur.

## 5.2. Otomatik Yük-Frekans Kontrolünde İkincil Çevrimin Kapanması ve Sistemin Frekans Cevabı

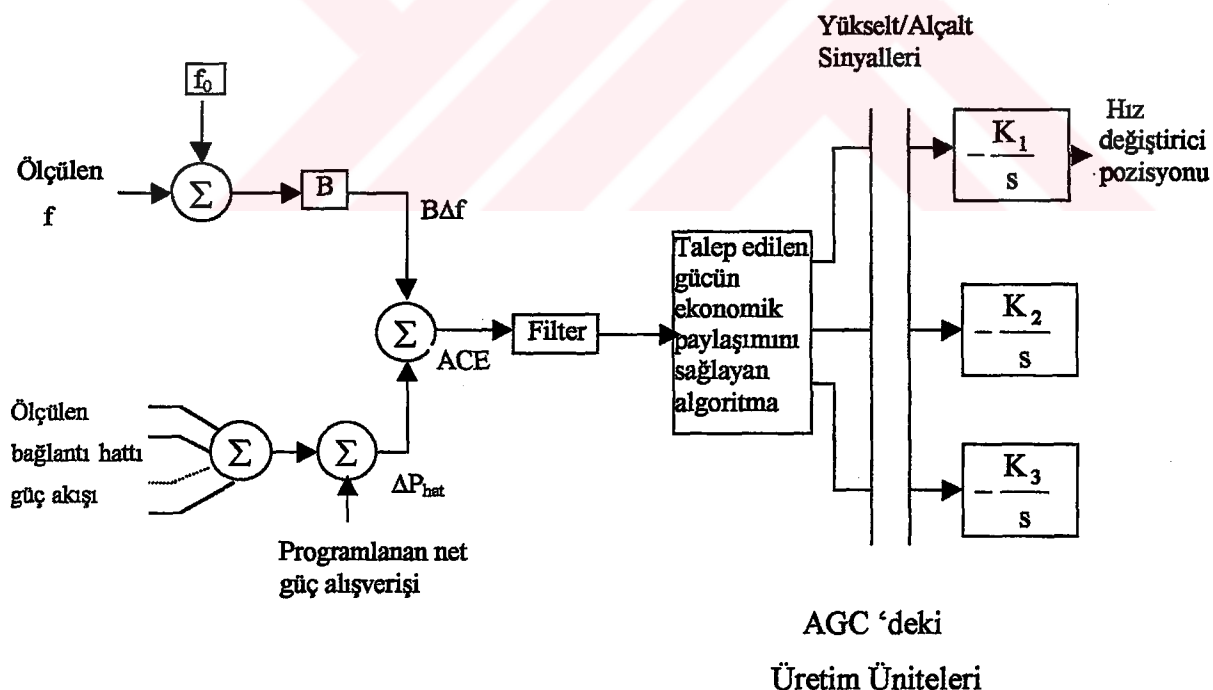
İkincil kontrolün etkin olmadığı süreç içerisinde, üniteler senkronize olarak yeni sistem frekansı ile çalışmaya devam ederler. İkincil kontrol çevriminin sisteme deki değişikliğe cevap vermesi ile, yük değişikliğinin olduğu bölge içerisindeki güç santrallerinin hız değiştiricileri “düşür” yada “yükselet” sinyalleri gönderir. Hız regülatörlerinin yük-frekans değerlerinin koordineli olarak kontrolü ile sistemin tekrar arzu edilen  $f_o$  frekans değerine geri getirmek ve üretim ünitelerinin kapasitelerine göre yük bölüşümünü sağlamak mümkündür.

Diğer taraftan, iki yada daha fazla kontrol bölgesinden oluşan enterkonnekte sistemlerde her bölge birbiriyle bağlantı hatları ile bağlanır. Bağlantı hatları; anormal işletme şartlarında iletim hatları aracılığı ile bölgeler arasında enerji alışverişini sağlayarak bölgeler arasında yardımlaşmayı sağlar. Bölgeler arasındaki bu yardımlaşma karşılıklı yapılan anlaşmalar ile sınırlandırılır.

Çok bölgeli enterkonnekte sistemlerde otomatik üretim kontrolünün görevi;

- Her bölgenin kendi yük değişikliğini karşılamasını sağlamak
- Komşuları ile önceden yapılmış anlaşma sınırları içerisinde güç alışverisini sağlamak
- Üretimin ekonomik olara üniteler arasında dağılımını sağlamak
- İstenilen frekans değerine ulaşılması için bölgenin payına düşeni yapmasına izin vermek (Grainger, 1994).

Şekil 5.3'de tipik bir AGC sisteminin kontrol mantığı sunulmuştur.



Şekil 5.3. Her bir kontrol bölgesi için AGC mantığı

### **5.3. Bağlantı Hattı Yönetimli Kontrol Stratejisi**

İkincil frekans kontrolü öncelikle 5.1.2 alt bölümünde sunulan ilk iki görevi yerine getirmek zorundadır. Bağlantı hattı yönetimi esas alınarak sistem kontrolü yapıldığında istenilen frekans ve programlanan güç akışını sağlamak için sistem hem frekans değişimine hem de güç akış değişimine cevap verir.

ACE, bir frekans yönetim faktörü, B, ile ağırlık kazanmış frekans değişimini ve bağlantı hattı güç akışı değişimini ile belirlenmiş bir kontrol işaretidir. Yük-Frekans kontrol (LFC-Load-Frequency Control) çevrimi ACE tarafından sürürlür. İki bölgeli bir güç sisteme birinci kontrol bölgesi için ACE şu şekilde ifade edilebilir (Kundur, 1994).

$$\begin{aligned} \text{ACE}_1 &= \Delta P_{\text{hat}_{12}} - (-B_1)\Delta f_1 \text{ p.u} \\ &= \Delta P_{\text{hat}_{12}} + B_1 \Delta f_1 \end{aligned} \quad (5.17)$$

Aynı şekilde,  $\Delta P_{\text{hat}_{21}} = -\Delta P_{\text{hat}_{12}}$  olmak üzere, ikinci kontrol bölgesi için ACE;

$$\begin{aligned} \text{ACE}_2 &= \Delta P_{\text{hat}_{21}} - (-B_2)\Delta f_2 \text{ p.u} \\ &= -\Delta P_{\text{hat}_{12}} + B_2 \Delta f_2 \end{aligned}$$

şeklinde yazılabilir.

Burada;

$\Delta P_{\text{hat}_{12}} = 1$  nci ve 2 nci Bölgeler arasındaki bağlantı hattı güç akışı değişimi  
(p.u MW)

$B_1, B_2 = 1$  nci ve 2 nci Bölgeler için frekans yönetim faktörü  $\left[ \text{p.u} \frac{\text{MW}}{\text{Hz}} \right]$

$\Delta f =$  frekans bozulması (Hz)

Diğer bir ifade ile ACE, aşağıdaki eşitlikte de sunulduğu gibi, ölçülen ve programlanan güç akışı arasındaki değişiklik ile frekans yönelim faktörü tarafından ağırlık kazanmış, ölçülen ve istenilen frekans arasındaki değişikliğin farkıdır.

Birinci kontrol bölgesi için ACE,

$$\begin{aligned} \text{ACE}_1 &= (P_M - P_S)_1 - (-B_1) (F_M - F_S)_1 \quad (\text{MW}) \\ &= (P_M - P_S)_1 + B_1 (F_M - F_S)_1 \end{aligned} \quad (5.18)$$

olarak ifade edilebilir. Aynı şekilde, ikinci kontrol bölgesi için ACE,

$$\begin{aligned} \text{ACE}_2 &= (P_M - P_S)_2 - 10 (-B_2) (F_M - F_S)_2 \quad (\text{MW}) \\ &= (P_M - P_S)_2 + 10 B_2 (F_M - F_S)_2 \end{aligned}$$

şeklindedir.

Burada,

$P_M - P_S$  = Bağlantı hattındaki güç akışının ölçülen ve planlanan değeri arasındaki fark (MW)

$$B_1, B_2 = 1 \text{ nci ve } 2 \text{ nci bölge için frekans yönelim faktörü} \left( \frac{\text{MW}}{0,1\text{Hz}} \right)$$

$$F_M - F_S = \text{Ölçülen ve planlanan frekans arasındaki fark (Hz)}$$

Frekans yönelim faktörü, bölge frekans cevap karakteristiğinin yıl içinde pik yükün olduğu saatlerde oluşan ve büyük yük kayıpları ile sonuçlanan arızaların olduğu anda gözlemlenen ortalama değerinin tahmini ile elde edilir.

Frekans yönelim faktörü negatif bir değerdir ve genellikle MW/0,1 Hz olarak verilir. Bu değer hem yükün hem de hız regülatörünün frekansa olan duyarlığını gösterir (Jaleeli, 1992).

$$\beta = \frac{1}{R} + D$$

Frekans yönelik faktörünün tahmin edilen değerinin altında seçilmesi; bir ünitenin devre dışı kalması durumunda, diğer kontrol bölgelerinin arızalı bölgedeki hız regülasyon oranının çok küçük olduğunu zannetmelerine ve ikincil kontrolün üretimi geri düşürmesine ve dolayısı ile frekansın düşmesine neden olur. Diğer taraftan, çok büyük seçilmesi, normal işletme şartlarında küçük bir frekans bozulması kontrole sunulması gerekmeli halde AGC’yi sürmek için bir ACE’ye neden olur (Nanda, 1973)

Klasik ACE eşitliğinde en mükemmel yakın yönelik faktörü dğeri hem normal hemde arızalı işletme şartlarına uygun olmalıdır. Araştırmalar en uygun frekans yönelik faktörü değerinin frekans cevap karakteristiğine eşit olduğunu göstermiştir (Elgerd, 1970 ve Kundur, 1994).

$$|B| = |\beta| \quad (5.19)$$

Bağlantı hattı yönelikli kontrol stratejisinin uygulaması Şekil 5.2’ye kesik çizgili çevrimin eklenmesi ile sağlanır. Bu çevrimde kontrolörü besleyen eşitlik (5.17)’de de sunulduğu gibi; kontrol hatası; frekans ve bağlantı hattı hatasının lineer bir birleşimidir.

Bu bölümde de kontrol aksiyonunun daha iyi anlaşılabilmesi için kontrol sadece konvansiyonel kontrol ile sağlanacaktır. İki bölgeli bir enterkonnekte sisteme ikincil frekans kontrolüne katılan ünitenin yük-frekans ayarlayıcısına bir integral kontrolörü eklenerek sürekli-durumda sıfır frekans hatası sağlanır.

Basamak yük değişimine karşılık olarak hız değiştiricinin pozisyon değiştirdiği düşünülür ise,

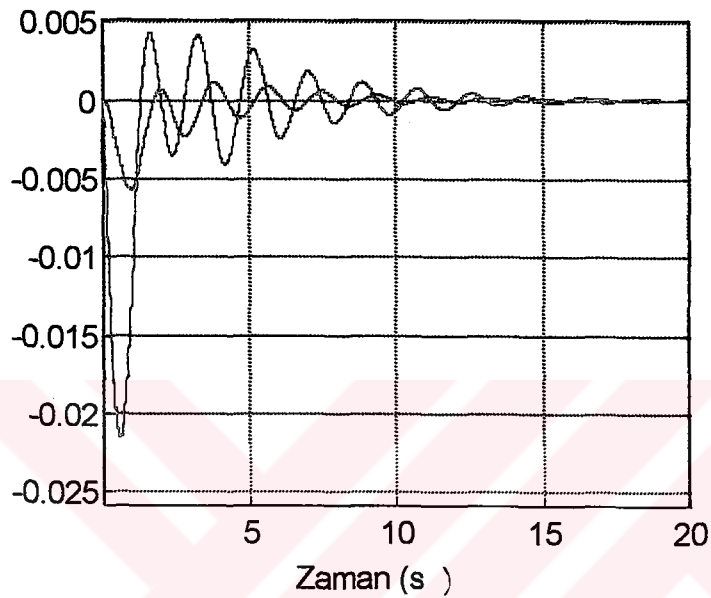
$$\Delta P_{ref,1} = -K_{I_1} \int (\Delta P_{hat_{12}} + B_1 \Delta f_1) dt \quad (5.20)$$

$$\Delta P_{ref,2} = -K_{I_2} \int (\Delta P_{hat_{21}} + B_2 \Delta f_2) dt \quad (5.21)$$

olur (Elgerd, 1971).

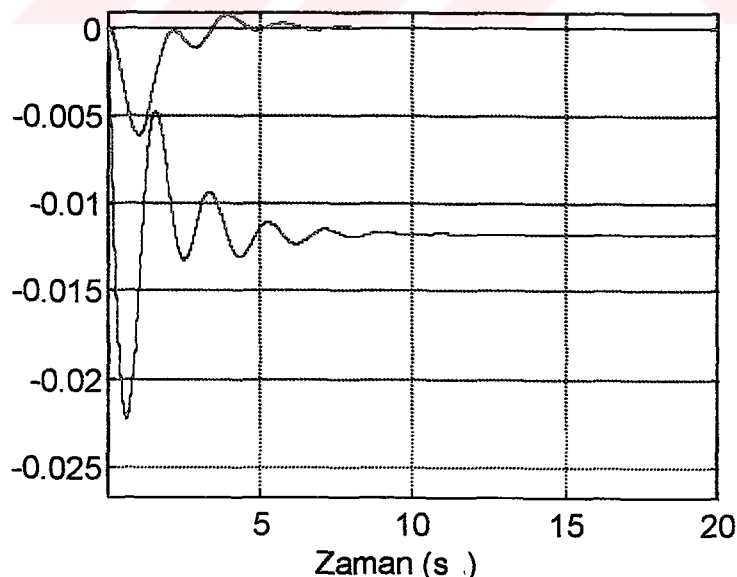
Eğer dört kazanç parametresinden birisi,  $K_{I_1}, K_{I_2}, B_1, B_2$ , çok büyük seçilirse kapalı çevrim sistemi kararsız hale gelecektir. Şekil 5.4'de Şekil 5.2'deki sistem modeli için Ek A'da sunulan sistem parametreleri kullanılarak farklı kazanç koşulları için iki bölgeli sistemin birinci bölgesindeki frekansın ve bağlantı hattı güç akışının bozulması gözlemlenmiştir.

$\Delta f_1$  (Hz)

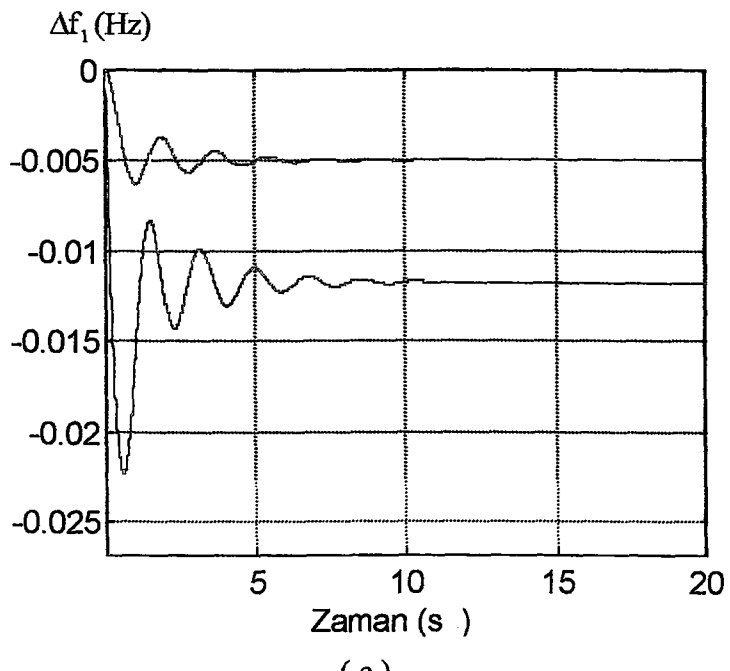


(a)

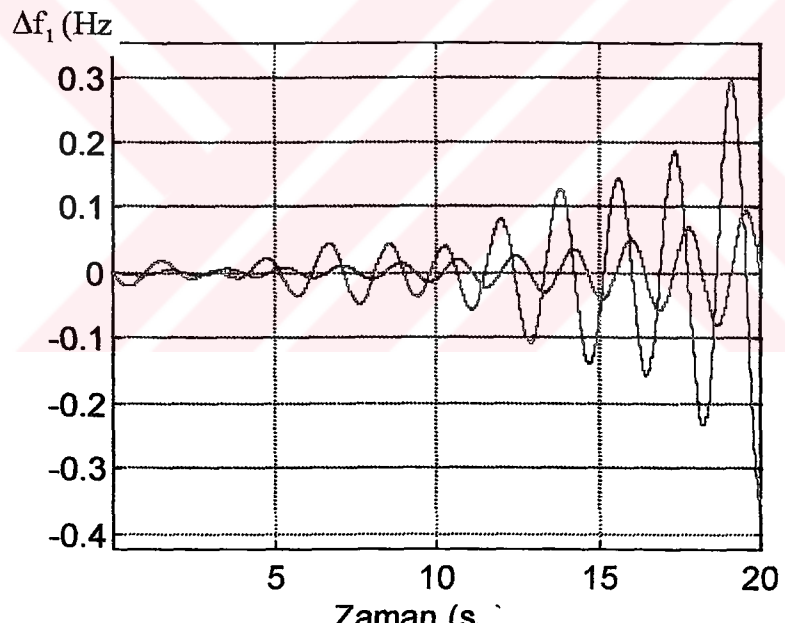
$\Delta f_1$  (Hz)



(b)



(c)



—  $\Delta f_1$  —  $\Delta \hat{P}_{12}$

(d)

Şekil 5.4. İki bölgeli sistem için bir adım yük değişikliğinin ardından frekansın ve bağlantı hattı gücünün bozulması sadece birinci bölge için sunulmuştur.

- (a)  $B = 0.425, K_I = 0.75$ , (b)  $B = 0, K_I = 0.75$
- (c)  $B = 0, K_I = 0$ , (d)  $B = 1.0, K_I = 1.0$

## BÖLÜM 6

### GÜC SİSTEMLERİNDE YÜK FREKANS KONTROLÜNÜN KAZANCIN BULANIK MANTIK KURALLARI İLE PROGRAMLANDIĞI BİR PI KONTROLÖR İLE GERÇEKLEŞTİRİLMESİ

Yeterli ve iyi kalitede elektrik gücünün sağlanması için yük-frekans kontrolü, güç sistemi için çok önemlidir. Yük-frekans kontrolü önceden açıklandığı gibi net güç alışverişi ve frekans hatasının lineer bir birleşimi olan ve bölge kontrol hatası (ACE-Area Control Error) olarak adlandırılan bir kontrol sinyaline dayanır. ACE'nin kontrol sinyali olarak kullanılması frekans ve bağlantı hattındaki bozulmayı sürekli durumda sıfıra azaltır. Ancak klasik PI kontrolör ile bu kontrol gerçekleştirildiğinde geçici cevap tatmin edici değildir. Oturma zamanı uzundur ve aşırı yükselmeler oluşur.

#### 6.1. PI Kontrolör ile Yük-Frekans Kontrolü

##### 6.1.1. PI kontrolörler

Bir PI kontrolörünün transfer fonksiyonu aşağıdaki şekildedir:

$$G_C(s) = K_p + \frac{K_i}{s} \quad (6.1)$$

burada  $K_p$  ve  $K_i$ ; sırası ile oransal ve integral kazançlardır. PI kontrolörün kullanılan başka bir eşdeğeri ise,

$$G_C(s) = K_p \left( 1 + \frac{1}{T_i s} \right) \quad (6.2)$$

dir. Burada;

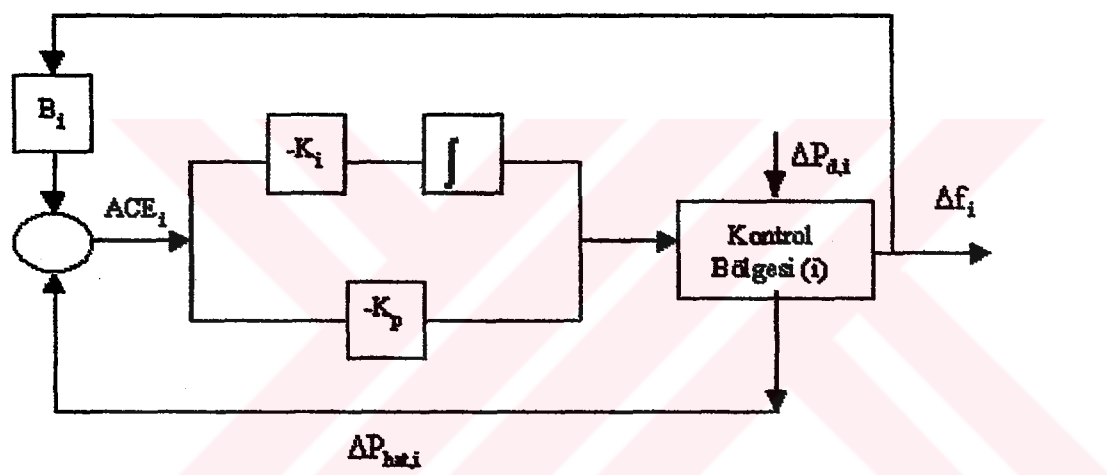
$T_i$ = integral zaman sabiti

dir.

### 6.1.2. PI Kontrolörün Yük-Frekans Kontrolünde Kullanılması

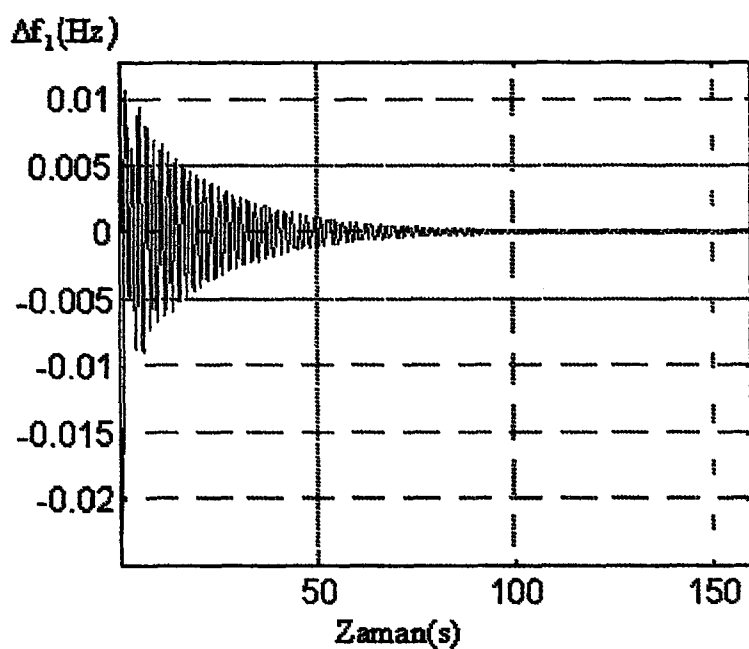
Yük-frekans kontrolünün amacı frekans ve bağlantı hattı güç alışverişini istenilen değere ulaştırmak üzere bir u kontrol sinyali üretmektir. Yük-frekans kontrolünde kullanılan PI kontrolörün blok diyagramı Şekil 6.1'de görülmektedir. Kontrol vektörü ise şu şekildedir:

$$U_i(t) = -K_{p,i}ACE_i(t) - K_{i,i} \int ACE_i(t)dt \quad (6.3)$$

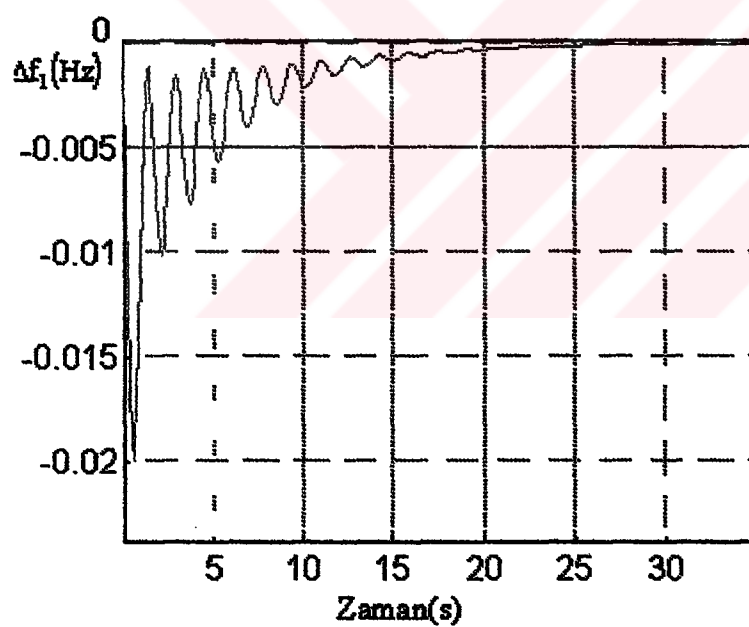


Şekil 6.1. i. bölge için konvansiyonel PI kontrolör

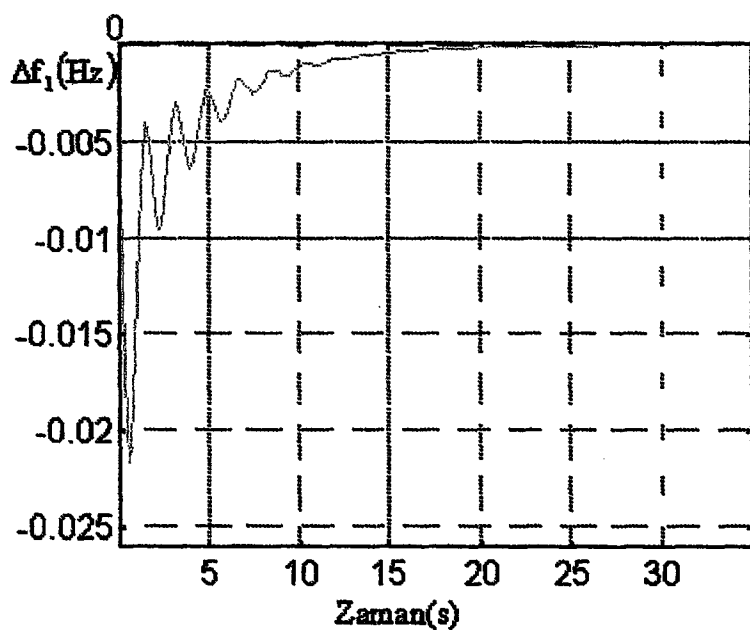
Yük-frekans kontrolünde konvansiyonel kontrolör olarak kullanılan PI kontrolörün kazançlarının değişmesi sistem cevabını farklı sekillerde etkileyebilmektedir. Şekil 6.2' de , Şekil 5.5 ' de sunulan iki bölgeli güç sistemi ve Ek A'da sunulan sistem parametreleri kullanılarak farklı integral ve oransal kazançlar için sistem cevabı gözlemlenmiştir.



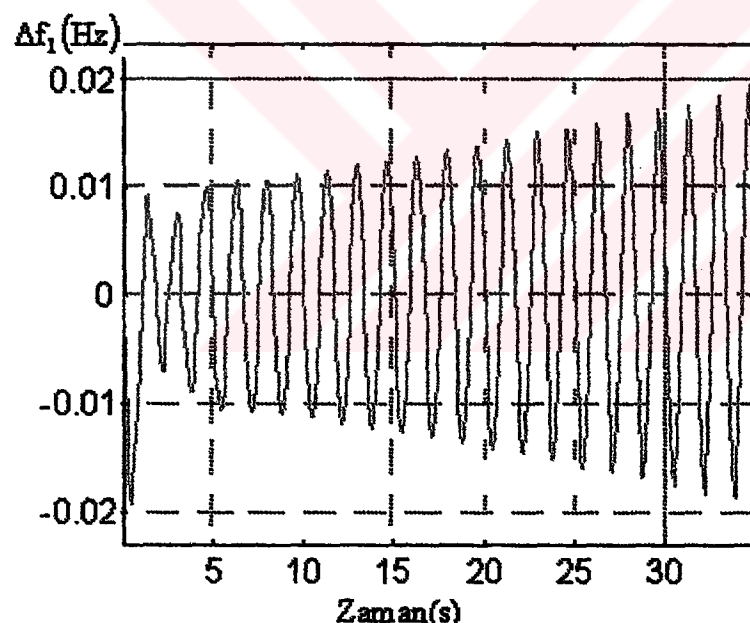
(a)



(b)



(c)



(d)

Şekil 6.2. PI kontrolörünün farklı oransal ve integral kazançları için sistemin cevabı

- (a)  $K_p = 0.05 ; K_i = 1.25$
- (b)  $K_p = 0.35 ; K_i = 0.21$
- (c)  $K_p = 0.05 ; K_i = 0.21$
- (d)  $K_p = 0.35 ; K_i = 1.25$

Tablo 6.1'de de görüldüğü üzere, oransal ve integral kazançlarının büyük değerlerde seçilmesi cevabin oturma zamanını uzatmakta, ancak maksimum bozulmayı küçültmektedir. Diğer taraftan bu kazanç değerlerinin küçük seçilmesi ise; oturma zamanını kısalttığı fakat maksimum bozulmayı artırmaktadır.

**Tablo 6.1. PI kontrolörünün farklı oransal ve integral kazançları için sistemin performansının karşılaştırılması**

PI Kontrolör kazançları		$\Delta f_1$ (Hz)	
$K_p$	$K_i$	Oturma zamanı (s)	max. bozulma
0.35	1.25	$\infty$	-0.0192 ; +0.0094
0.35	0.21	27	-0.0199 ; -0.0015
0.05	0.21	21.5	-0.0217 ; -0.0040
0.05	1.25	130	-0.0208 ; +0.0107

## **6.2. Kazancın Bulanık Mantık Kuralları ile Programlandığı PI Kontrolörün Yük-Frekans Kontrolünde Kullanılması**

### **6.2.1. Kazancı Bulanık Mantık Kuralları ile Programlanan PI Kontrolörler**

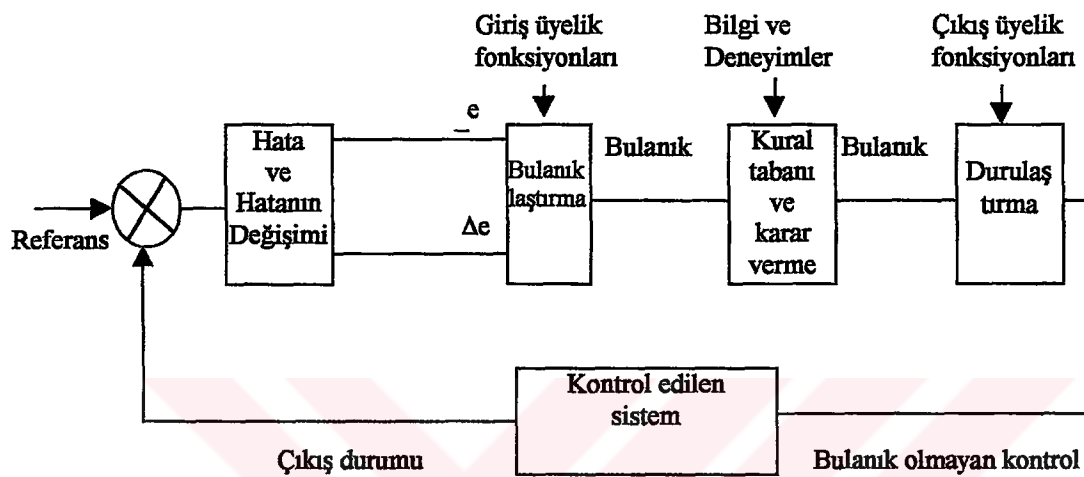
#### **6.2.1.1. Bulanık mantık ile kontrol**

Bulanık mantık, insan düşüncesi ve insan dili açısından klasik mantığa göre daha fazla benzerlik gösterir. Temel olarak gerçek dünyanın belirsiz doğasını kavramanın etkin anlamını sağlar. Bir bulanık mantık kontrolörün ana ögesi bulanık anlam ve çıkarımın birleşme kurallıyla ilişkili olan dilsel kontrol alt kümesidir. Temel olarak, bulanık mantık ile kontrol, uzman bilgisine dayanan dilsel kontrol stratejisini otomatik kontrol stratejisine dönüştürebilen bir algoritma sağlar.

Bulanık mantık kontrolörü dört ana bileşenden oluşur:

- Giriş sinyalinin bulanıklaştırılması
- Kural tabanı
- Kara verme mantığı
- Kontrol elemanları için sinyal üretmek üzere çıkış sinyalinin durulaştırılması

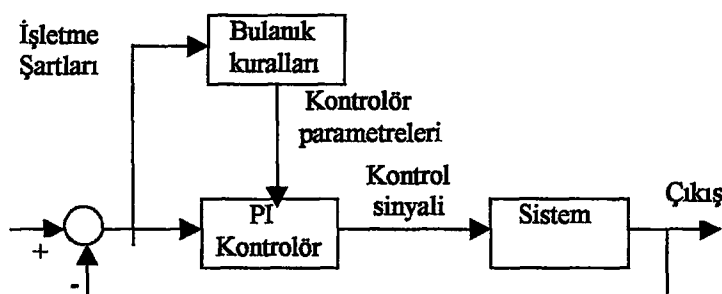
Kontrol sinyali, hata ( $e$ ) ve hatanın değişimi ( $\Delta e$ ) ( $de/dt$  örneklemme aralığı) olmak üzere iki değişkenden elde edilmektedir. Bu değişkenler p.u sinyallere dönüştürülerek  $e$  ve  $\Delta e$  sinyalleri elde edilir ve bulanık kümelere dönüştürülür. Daha sonra, sistem tarafından istenilen değere durulaştırma yapılarak dönüştürülür. Akış diyagramı Şekil 6.3 de sunulmuştur.



Şekil 6.3 Bulanık Mantık akış diyagramı

#### 6.1.1.2. Bulanık mantık ile PI kontrolörün kazancının programlanması

PI kontrolörün kazancının programlanması için gerekli bulanık mantık kuralları, sistemin adım cevabına dayanılarak elde edilir. Şekil 6.4'de bulanık kazanç programlayıcılı bir PI kontrol sistemi görülmektedir .



Şekil 6.4 Bulanık kazanç programlama şeması

Bulanık mantık kontrolörün giriş değişkenleri; hata ( $e$ ) ve hatanın değişimi ( $\Delta e$ ), çıkış ise sistemin giriş değişkeni yani kontrol sinyali ( $CI$ ) dir.

### **6.2.2. Kazancı Bulanık Mantık Kuralları ile Programlanan PI Kontrolörler ile Yük-Frekans Kontrolü**

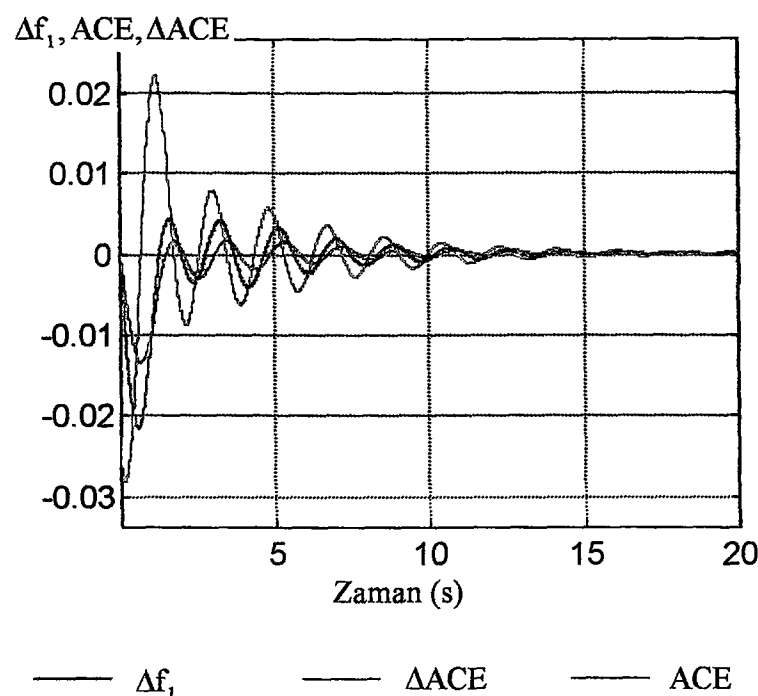
Amaçlanan kontrolörün dizaynı üçe bölünebilir. Bunlar; giriş değişkenleri ( $ACE$ ,  $\Delta ACE$ ), bulanık mantık kurallarının belirlenmesi ve durulaştırma ( $K_p$ ,  $K_i$ )

#### **6.2.2.1. Giriş değişkenlerinin aralığının belirlenmesi**

$ACE$ , AGC 'nin gerçekleştirilmesinde esastır.  $ACE$  ve türev  $ACE$  ( $\Delta ACE$ ) istenilen kontrolün sağlanmasında belirleyici iki faktördür.

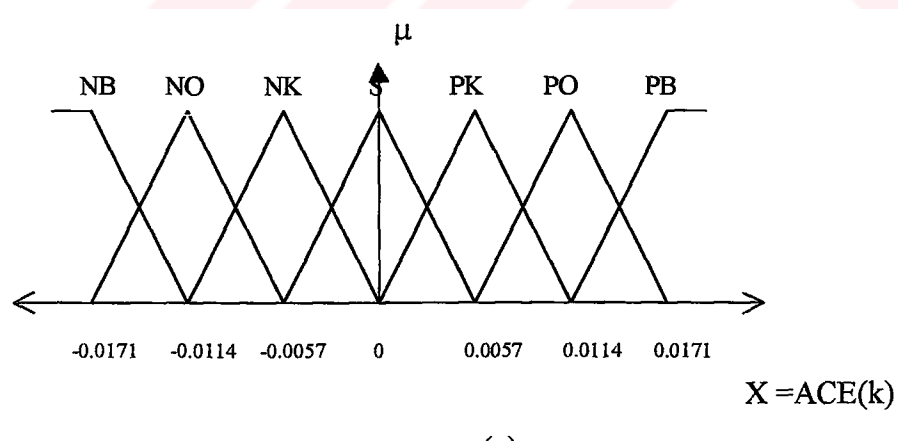
Çalışmada,  $ACE$  ve  $\Delta ACE$  genliğine ve işaretine bağlı olarak yedi kontrol bölgesine bölünmüştür. Bunlar; negatif büyük (NB), negatif orta (NO), negatif küçük (NK), sıfır (S), pozitif büyük (PB), pozitif orta (PO), pozitif küçük (PK).

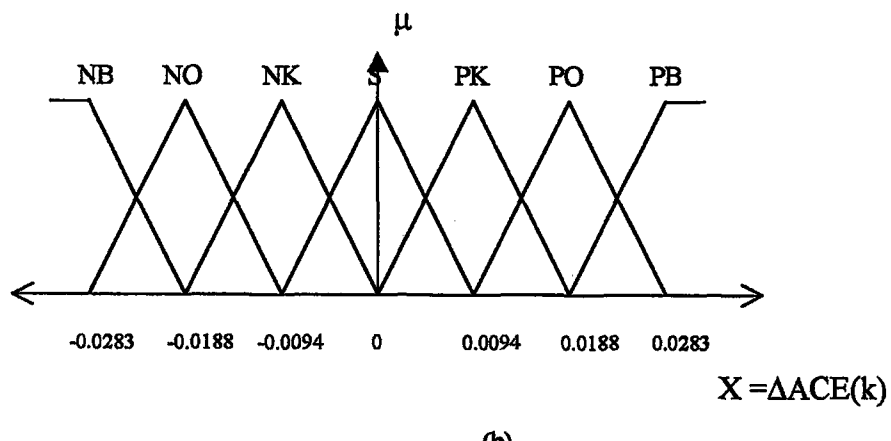
Giriş değişkenlerinin genliğine ve işaretini sistemin adım yük değişimine verdiği cevap doğrultusunda değişir (Şekil 6.5)



Şekil 6.5. Adım yük değişimi için sistem frekans cevabı ( $\Delta f_1$ ), hata ( $ACE_1$ ) ve hatanın değişimi ( $\Delta ACE_1$ )

ACE ve  $\Delta ACE$  için üyelik fonksiyonları Şekil 6.6 ‘de sunulduğu gibidir.



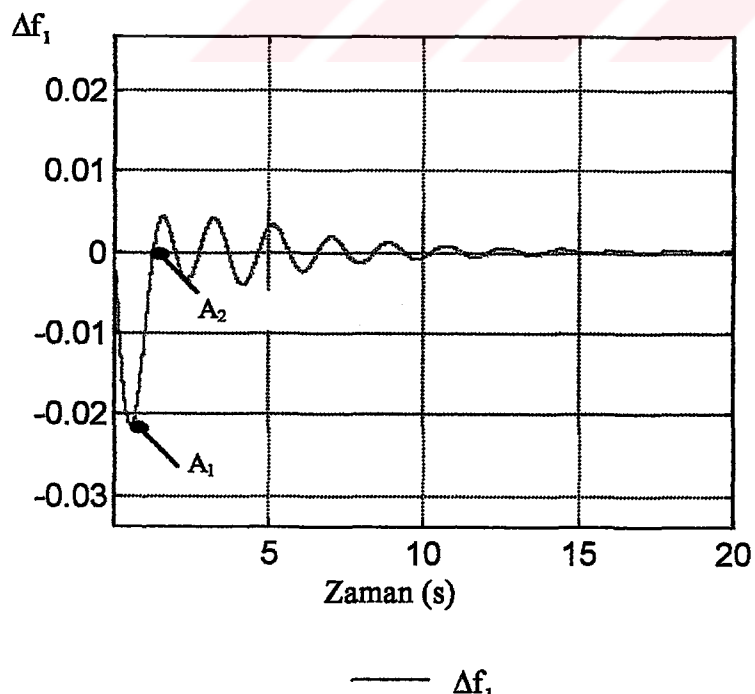


Şekil 6.6 Giriş değişkenleri için üyelik fonksiyonları (a)ACE ve (b)  $\Delta ACE$  için.

#### 6.2.2.1. Bulanık Kuralları

Kuralların oluşturulmasında iki farklı yaklaşım irdelenmiştir. Bunlardan ilki Chang (1997) tarafından yapılan çalışmadır.

Bu çalışmada, PI kontrolörünün parametrelerinin programlanması Şekil 6.7'de sunulan sistemin adım cevabından yararlanılmıştır.



Şekil 6.7 İstenilen adım cevabı

Başlangıçta ( $A_1$  civarında) büyük kontrol sinyaline ihtiyaç vardır. Bu nedenle, PI kontrolör; cevabı iyileştirmek için büyük oransal kazanca, fakat aşırı yükselmeleri önlemek için küçük integral kazanca sahiptir. Bu durumda  $A_1$  civarındaki kural şu şekilde oluşturulmuştur.

Eğer  $\text{ACE}(k) \text{ NB}$  ve  $\Delta \text{ACE}(k) \text{ S}$  ise  $K_p'$  Büyüк ve  $K_i'$  Küçük (6.4)

dür.

$A_2$  noktası civarında küçük kontrol sinyaline ihtiyaç vardır. Böylece, PI kontrolörde sistem osilasyonunu azaltmak üzere küçük oransal kazanç ve sürekli durum hatasını ortadan kaldırmak için büyük integral kazanç kullanılmıştır.

Eğer  $\text{ACE}(k) \text{ NB}$  ve  $\Delta \text{ACE}(k) \text{ S}$  ise  $K_p'$  Büyüк ve  $K_i'$  Küçük (6.5)

Yukarıda açıklanan yaklaşım ışığında  $K_p'$  ve  $K_i'$  kazançlarının belirlenmesi için oluşturulan kurallar Tablo 6.2 ve Tablo 6.3' de sunulmuştur.

Tablo 6.2.  $K_p'$  için bulanık mantık kuralları (Chang, 1997).

$\Delta \text{ACE}(k)$								
		NB	NO	NK	S	PK	PO	PB
ACE(k)	NB	B	B	B	B	B	B	B
	NO	K	B	B	B	B	B	K
	NK	K	K	B	B	B	K	K
	S	K	K	K	K	K	K	K
	PK	K	K	B	B	B	K	K
	PO	K	B	B	B	B	B	K
	PB	B	B	B	B	B	B	B

Tablo 6.3.  $K_i$ ' için bulanık mantık kuralları (Chang, 1997).

		$\Delta ACE(k)$						
		NB	NO	NK	S	PK	PO	PB
ACE(k)	NB	K	K	K	K	K	K	K
	NO	K	K	B	B	B	K	K
	NK	K	B	B	B	B	B	K
	S	B	B	B	B	B	B	B
	PK	K	B	B	B	B	B	K
	PO	K	K	B	B	B	K	K
	PB	K	K	K	K	K	K	K

Diğer ise çalışmada savunulan kurallar dizinidir. PI kontrolörün kazancının programlanmasında Tablo 6.1 'de sunulan farklı kazanç değerleri için sistemin adım cevabı göz önüne alınmıştır.

Başlangıçta maksimum bozulmayı küçültmek amacıyla oransal ve integral kazançları büyük seçilmiş ve daha sonra oturma zamanını küçültmek için oransal ve integral kazanç değerleri göreceli olarak küçültülmüştür.

Bu yaklaşım ile  $K_p$  ve  $K_i$  kazançlarının programlanmasında Tablo 6.4 ve Tablo 6.5' daki kurallar dizini oluşturulmuştur.

Tablo 6.4.  $K_p$ ' için bulanık mantık kuralları

$\Delta ACE (k)$								
	NB	NO	NK	S	PK	PO	PB	
ACE(k)	NB	B	B	B	O	O	K	S
	NO	B	B	O	O	K	S	K
	NK	B	O	O	K	S	K	O
	S	O	O	K	S	K	O	O
	PK	O	K	S	K	O	O	B
	PO	K	S	K	O	O	B	B
	PB	S	K	O	O	B	B	B

Tablo 6.5  $K_i$ ' için bulanık mantık kuralları

$\Delta ACE (k)$								
	NB	NO	NK	S	PK	PO	PB	
ACE(k)	NB	B	B	B	O	O	K	S
	NO	B	B	O	O	K	S	K
	NK	B	O	O	K	S	K	O
	S	O	O	K	S	K	O	O
	PK	O	K	S	K	O	O	B
	PO	K	S	K	O	O	B	B
	PB	S	K	O	O	B	B	B

### 6.2.2.3. Çıkış değerlerinin durulaştırılması

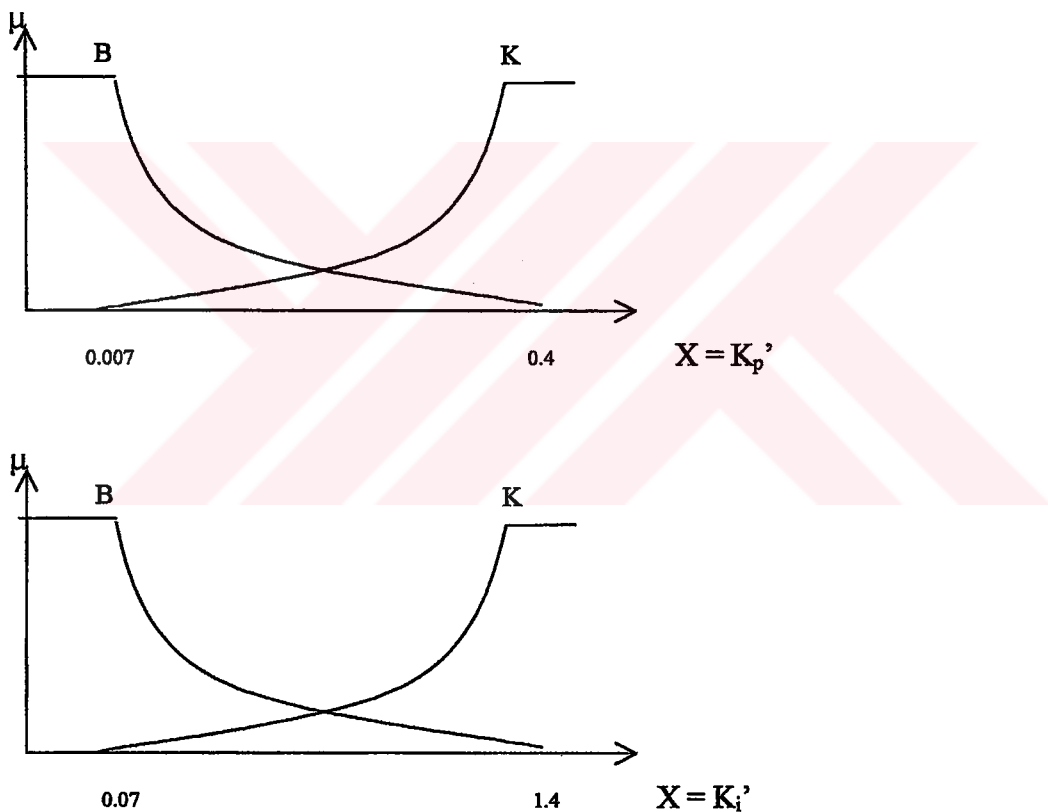
Amaçlanan programlamada, PI kontrol parametreleri  $K_p$  ve  $K_i$ ; ACE ve onun ilk farkı  $\Delta ACE$ ' ye göre tanımlanır.

$K_p$  ve  $K_i$ ; tekrübeler ışığında  $[K_{p,\max}; K_{p,\min}]$  ve  $[K_{i,\max}; K_{i,\min}]$  değerleri arasında değişmektedir. Kullanımda  $K_p$  ve  $K_i$  değerleri eşitlik (6.6) yardımı ile normalize edilir (Zhao,1993 ve Chang,1997).

$$K_p' = (K_p - K_{p,\min}) / (K_{p,\max} - K_{p,\min}) \quad (6.6)$$

$$K_i' = (K_i - K_{i,\min}) / (K_{i,\max} - K_{i,\min})$$

Cıkış değerleri olan  $K_p'$  ve  $K_i'$  için üyelik fonksiyonları Chang (1997)'nin çalışmasında Şekil 6.8'deki gibi tanımlanmıştır ve iki farklı kontrol bölgesi vardır; Büyük (B) ve Küçük (K).



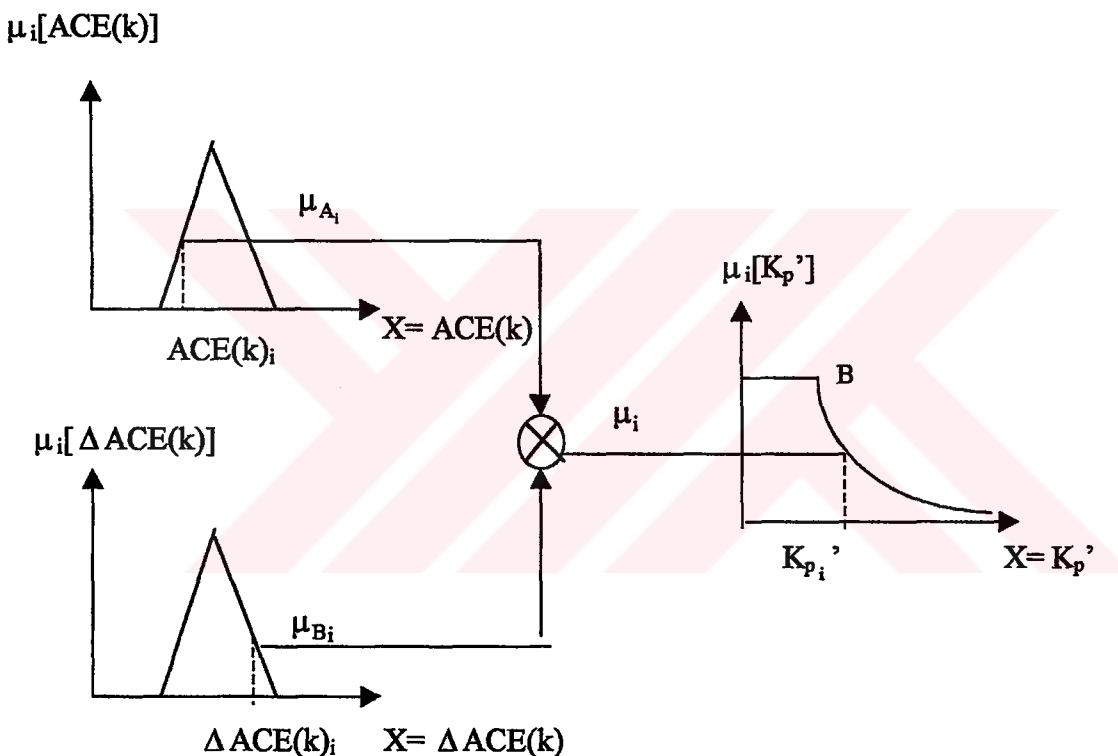
Şekil 6.8  $K_p'$  ve  $K_i'$  için üyelik fonksiyonları (Chang,1997)

Tablo 6.2 ve Tablo 6.3'de sunulan kurallar seti  $K_p'$  ve  $K_i'$  değerlerini belirlemek üzere kullanılır. Örneğin;

$$\text{Eğer } \text{ACE}(k) \text{ NB ve } \Delta \text{ACE}(k) \text{ S ise } K_p' \text{ B ve } K_i' \text{ K} \quad (6.7)$$

dir.

Tablolarda sunulan herhangi  $i$ .nci kuralın değeri  $\text{ACE}(k)$  ve  $\Delta \text{ACE}(k)$ 'nın bir ürünüdür (Şekil 6.9).



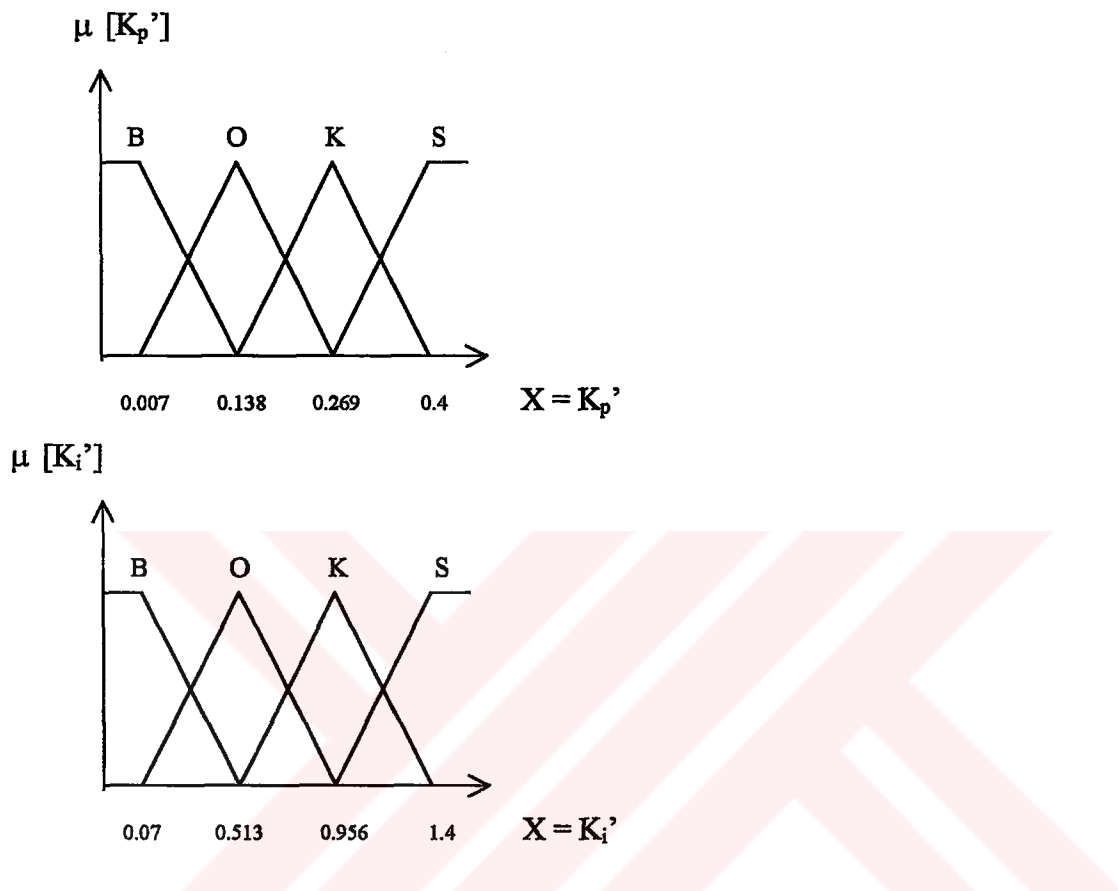
Şekil 6.9 Bir bulanık mantık kuralının uygulaması

$K_p'$  ve  $K_i'$  değerleri bulunduktan sonra, PI kontrolörün parametreleri aşağıdaki eşitlik yardımı ile hesaplanır.

$$K_p = (K_{p,\max} - K_{p,\min}) K_p' + K_{p,\min} \quad (6.8)$$

$$K_i = (K_{i,\max} - K_{i,\min}) K_i' + K_{i,\min}$$

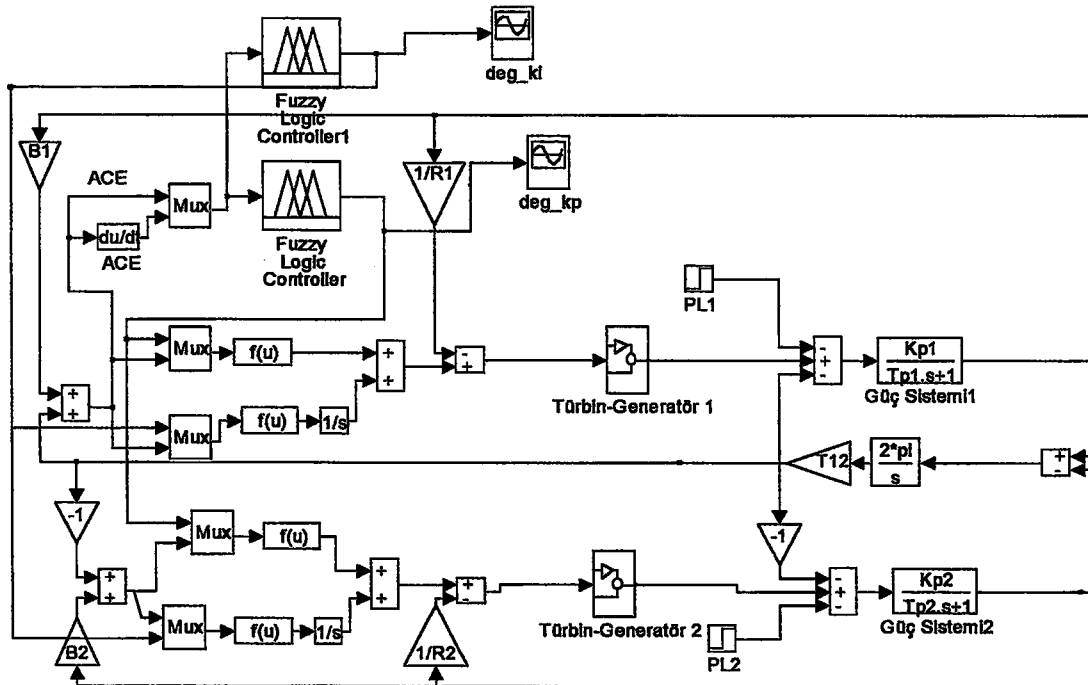
Yapılan tez çalışmasında kontrol bölgesi sayısı artırılarak daha iyi bir kontrol sağlanması amaçlanmıştır. Üyelik fonksiyonları oluştururken dört kontrol bölgesi kullanılmıştır; Büyük (B), Orta (O), Küçük (K), Sıfır (S) (Şekil 6.10).



Şekil 6.10  $K_p'$  ve  $K_i'$  için üyelik fonksiyonları

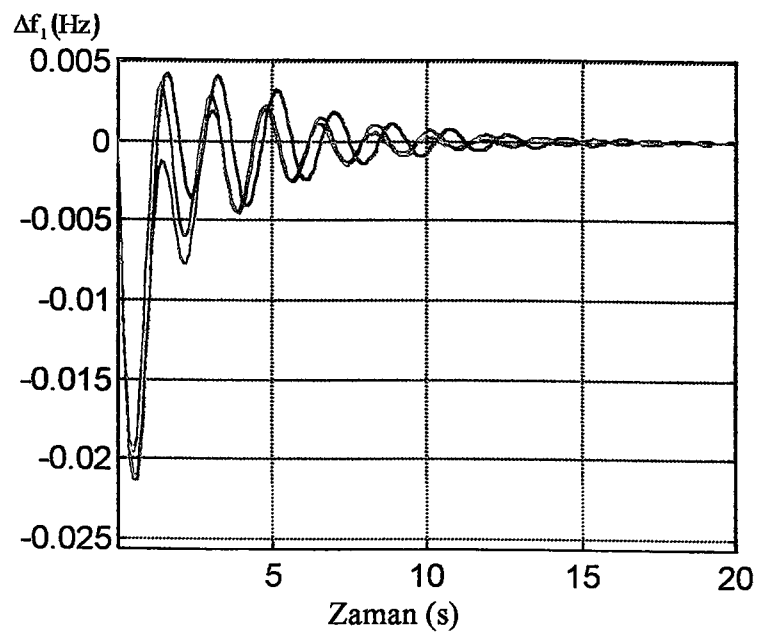
#### **6.2.2.4. Kazancın bulanık kurallar ile programlandığı PI kontrolörler ile klasik PI kontrolörünün performansının karşılaştırılması**

Ek A'da sunulan sistem parametrelerine sahip iki bölgeli bir güç sisteminin amaçlanan kontrolör ile kontrolünün gerçekleştirilmesi için sistemin MATLAB benzetim programına uygun blok diyagramlarla ifadesi Şekil 6.11'deki gibidir (Akalm, 1998).

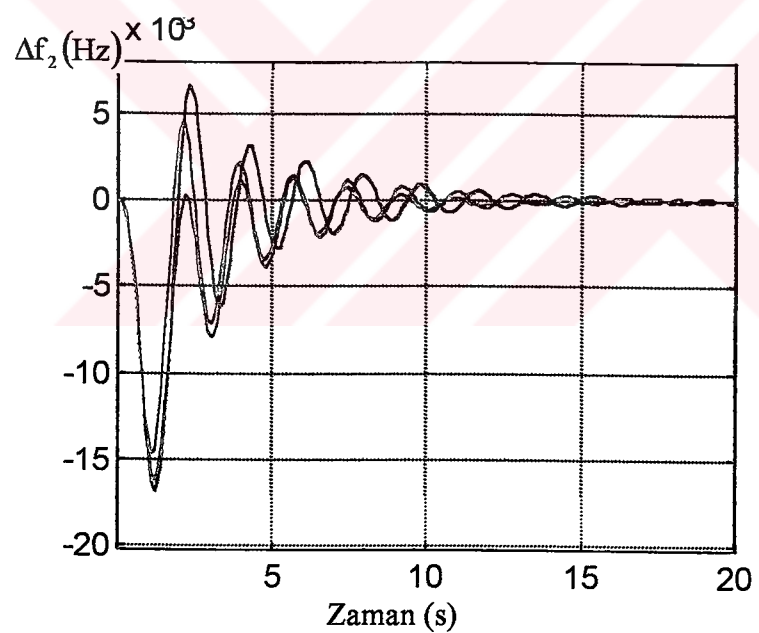


Şekil 6.11. İki kontrol bölgeli bir güç sisteminin yük-frekans kontrolünde kazanç oranlarının bulanık mantık kuralları ile belirlendiği PI kontrolörün kullanılması durumunda sistemin blok diyagramları ifadesi

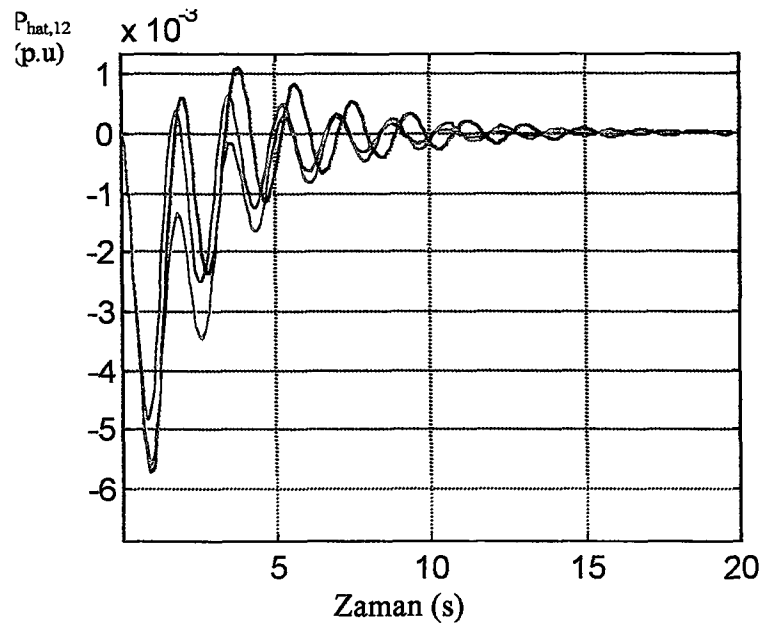
Şekil 6.12' de tez çalışmasında amaçlanan kontrolörün, Chang (1997) tarafından oluşturulan kontrolörün ve klasik PI kontrolörün iki bölgeli bir güç sisteminin yük-frekans kontrolünde kullanılması sonucu sistemin adım yük değişimine verdiği cevaplar sunulmuştur.



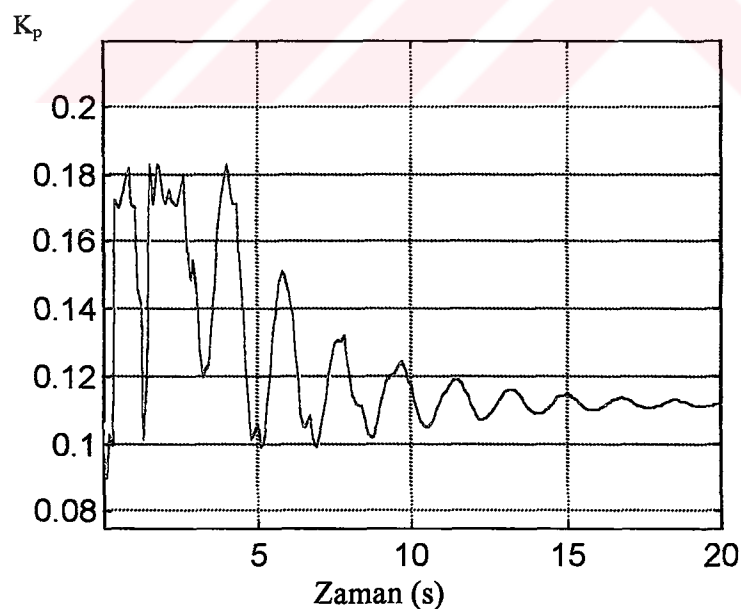
(a)



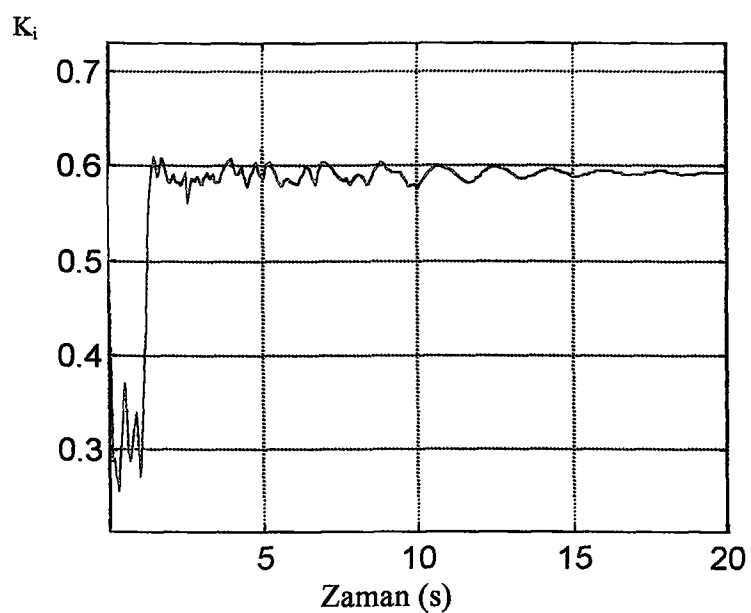
(b)



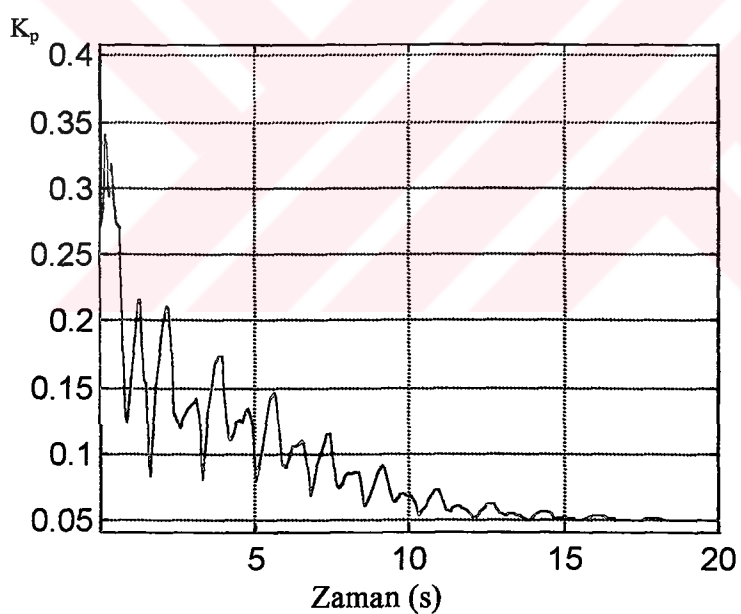
(c)



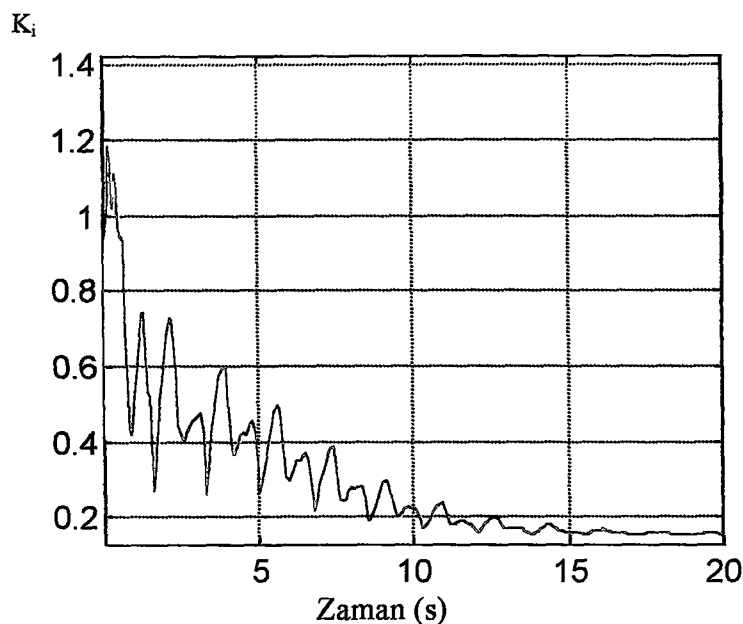
(d)



(e)



(f)



(g)

Şekil 6.12. İki kontrol bölgeli bir güç sisteminde birinci bölgede 0.01 p.u adım yük değişimi olmasında yük-frekans kontrolünün, klasik PI kontrolör ve kazancın bulanık mantık kuralları ile belirlendiği PI kontrolör ile gerçekleştirilmesi durumlarında (a)  $\Delta f_1$ , (b)  $\Delta f_2$ , (c)  $\Delta P_{hat\ 12}$ , (d)  $K_p$  (Chang, 1997), (e)  $K_i$  (Chang, 1997), (d)  $K_p$ , (e)  $K_i$ .

Tablo 6.6. Klasik PI ve amaçlanan PI kontrolörler ile yük-frekans kontrolünün gerçekleştirilemesi durumunda sistem performansları

$\Delta f_1$		$\Delta f_2$		$\Delta P_{hat,12}$	
oturma zamanı, (s)	max. bozulma (Hz)	oturma zamanı, (s)	max. bozulma (Hz)	oturma zamanı, (s)	max. (p.u MW)
<b>Kazancın bulanık mantık ile programlandığı PI kontrolörün kullanılması durumu</b>					
Akalin'a göre      13.50      -0.0195      10.75      -0.0147      10.00 $4.8 \cdot 10^{-3}$					
Chang'a göre      17.25      -0.0210      18.25      -0.0162      12.50 $5.8 \cdot 10^{-3}$					
<b>Klasik PI kullanılması durumu</b>					
18.25      -0.0214      19.25      -0.0168      13.50 $5.8 \cdot 10^{-3}$					

Şekil 6.12 ve Tablo 6.6 'da görüldüğü üzere kazancın farklı bulanık mantık kuralları programlandığı her iki PI kontrolör ile gerçekleştirilen yük-frekans kontrolü, gerek aşırı yükselmeler gerekse oturma zamanı açısından klasik PI kontrolörün verdiği cevaptan daha uygun ve hızlıdır.

Ayrıca, çalışmada amaçlanan kontrolör gerek güç sistem dinamiklerinin değişmesine, gerekse güç sisteminin işletim noktasının değişmesine karşılık olarak Ek-B ve Ek-C' de sunulduğu gibi daha iyi bir performans göstermektedir.

## **BÖLÜM 7**

### **SONUÇLAR VE ÖNERİLER**

Yapılan çalışmada, kontrol parametreleri bir optimal yol ile belirlenen ve kontrol boyunca sabit tutulan PI kontrolör ile kontrol parametreleri bulanık mantık kuralları ile programlanan PI kontrolör tarafından gerçekleştirilen yük-frekans kontrolünün birbiriyle karşılaştırılması yapılmıştır.

Kontrol parametreleri bulanık mantık kuralları ile programlanan PI kontrolör, güç-sistem performansını daha iyileştirmek için önerilmiştir. Oransal ve integral kazançlarının bulanık mantık kuralları ile programlanmasında büyük integral ve oransal kazanç değerlerinin sistem cevabındaki maksimum bozulmayı azalttığı, küçük oransal ve integral kazanç değerlerinin ise oturma zamanını kısalttığı yaklaşımı kullanılmıştır.

Elgerd (1970) tarafından oluşturulan model üzerinde yapılan bilgisayar benzetimlerinin sonuçları karşılaştırıldığında, aşırı yükselmenin Tablo1'de de sunulduğu üzere amaçlanan kontrolörde, klasik PI kontrolöre oranla daha az olduğu, oturma zamanın ise daha kısa olduğu gözlemlenmiştir.

Tablo1 Kazancın bulanık mantık ile programlandığı PI kontrolör kullanılması durumunda, klasik PI kontrolöre göre sağlanan % iyileştirme

$\Delta f_1$		$\Delta f_2$		$\Delta P_{hat,12}$	
oturma zamanı,	max. bozulma	oturma zamanı,	max. bozulma	oturma zamanı,	max. bozulma
%26	%9	%44	%12.5	%26	%17

Sonuç olarak, çalışmada amaçlanan kontrolör ile güç sistemlerinde bağlantı hattı güç alışverişi ve frekans bozulması azaltılabilimekte ve daha kısa sürede sıfır hata elde edilebilmektedir.

Gün içerisinde öngörülmeyen yük değişimlerinin güç sisteminin işletim noktasını sürekli değiştirmektedir. Ayrıca enterkonnekte sistemlerin gün geçtikçe büyümesi ve buna bağlı olarak sistem dinamiklerinin değişmesi, sabit kazançlı PI kontrolör ile gerçekleştirilen yük-frekans kontrolörünün her sistem koşulu için uygun cevaplar vermesini güçlitmektedir. Değişen her koşul için kontrol parametrelerinin yeniden belirlenmesi oldukça güç ve uzun zaman alacaktır. İleride yapılacak çalışmalar için, kazancın bulanık mantık kuralları ile belirlendiği PI kontrolörün sistem cevabını sabit kazançlı PI kontrolöre göre daha iyileştirebildiği avantajı göz önünde tutularak farklı sistem dinamikleri için bulanık kontrolör kullanılabilir. Böylece, bu olumsuzluk ortadan kaldırılabilir ve sistem cevabı değişen dinamikler için de iyileştirilebilir.

## KAYNAKLAR

1. AKALIN, G., KOCASLAN, İ., YÖRÜKEREN, N., ERFİDAN, T., 1998. TOK'98 Türkiye Otomatik Kontrol Sempozyumu
2. ANDERSON P.M., and FOUAD, A.A., 1993. Power System Control and Stability. IEEE Press Power Systems Engineering Series, New York.
3. BODERANKO, A.F., KOMAROW A.N., 1994. Control of Power Flow and Frequency In electrical Power Systems. Electrical Technology, No.2, 69-85.
4. CHAN, W., HSU, Y., 1981. Automatic Generation Control of Interconnected Power Systems Using Variable- Structure-System Controllers. IEE Proceedings, Vol.128, Pt. C, No.5, 269-273.
5. CHANG, C.S., FU, W., 1997. Area Load FrequencyControl Using Fuzzy Gain Scheduling of PI Controllers. Electric Power Systems Research 42, 145-152.
6. ELGERD, O., FOSHA, JR., 1970. Optimum Megawatt-Frequency Control of Multiarea Electric Energy Systems. IEEE Transactions on Power Apparatus and Systems, Vol.PAS-89, No.4, 256-262.
7. ELGERD, O., 1971. Electric Energy System Theory. Mc.Graw Hill, 299-340.
8. FOSHA, JR., ELGERD, O., 1970. Optimum Megawatt-Frequency Control Problem: A New Approach Via Optimal Control Theory. IEEE Transactions on Power Apparatus and Systems, Vol.PAS-89, No.4, 563-571.
9. GRAINGER, J.J., STEVENSON, W.D., 1994. Power System Analysis, Mc. Graw Hill, 562-573.
10. JALEELİ,N., 1992. Understanding Automatic Generation Control, IEEE/PES/PSE/ System Control Subcommittee Report ,1993.
11. KLEFENZ, G., 1986. Automatic Control of Steam Power Plants. Wissenschaftsverlag Bibliographisches Institut, 10-27.
12. KUMAR, A., and MALİK, O.P., 1985. Variable-Structure-System Control Applied to AGC of an Interconnected Power System. IEE Proceedings, Vol.132, Pt. C, No.1, 23-29.
13. KUNDUR, P., 1994. Power System Stability and Conrol. EPRI PSE Series, Mc.Graw Hill, New York, 581-627.

14. LEE, C.C., 1990. Fuzzy Logic in Control Systems: Fuzzy Logic Controller-Part II. IEEE Transactions on Systems, Man And Cybernetics, Vol.20, No.2, 419-435.
15. LEE, C.C., 1990. Fuzzy Logic in Control Systems: Fuzzy Logic Controller-Part I. IEEE Transactions on Systems, Man And Cybernetics, Vol.20, No.2, 404-413.
16. MALİK O.P., KUMAR, A., HOPE, G.S., 1988. A Load-Frequency Control Algorithm Based on a Generalized Approach. IEEE Transactions on Power Systems, Vol.3, No.2, 375-382.
17. NANDA, B.E., 1981 Automatic Generation Control of An Interconnected Hydrothermal System in Continuous and Disvrete Modes Considering Generation Rate Constraints, IEE Proc. Vol.130, Pt.D, No.1, 17-26.
18. STERLING,M.H., 1978. Power System Control, 1-27.
19. SHAHRODÎ, F.B., MORCHED, A., 1985. Dynamic Behaviour of AGC Systems Including the Effect of Nonlineavities, IEEE Transactions on Power Apparatus and Systems, Vol.PAS-104, No.12, 3409-3415.
20. TALAQ, J., AL-BASRÎ, F., 1999. Adaptive Fuzzy Gain Scheduling for Load – Frequency Control. IEEE Transaction on Power System, Vol.14, No.1, 145-150.
21. TRİPATHY, SC., HOPE, G.S., 1982. Optimisation of Lood-Frequency Control Parametrs For Power Systems With Reheat steam Turbines and Governer Deadband Nonlinearity. IEE Proc, Vol.129, Pt.C, No.1, 10-16
22. WANG, Y., ZHOU, R., WEN, C., 1993. Robust Load-Frequency Controller Design for Power Systems. IEE Proceeedings-C, Vol.140, No.1,11-17
23. WOOD, A.J., WOLLENBERG, B.F., 1996. Power Generation, Operation & Control. Jhon Willey&sons, Inc., 328-361
24. ZHAO, Z., 1993. FuzzyGain Scheduling of PID Controllers. IEEE Transactions on Systems, Man And Cybernetics, Vol.23, No.5, 1392-1398.
25. ZOBÎ, C., 1996. Yük-Frekans Kontrolünün İncelenmesi. İTÜ., Fen Bilimleri Enst. Y.lisans Tezi, İstanbul.

## EKLER

### EK-A

Bu çalışmada kullanılan iki kontrol bölgeli örnek güç sisteminin parametreleri MATLAB benzetim programında temsiline uygun sunumu şu şekilde verilmiştir(Elgerd,1971).

$$f = 60 \text{ Hz}$$

$$P_{\gamma 1} = P_{\gamma 2} = 2000 \text{ MW}$$

$$P_{L1} = P_{L2} = 1000 \text{ MW}$$

$$\Delta P_{L1} = 0.01 \text{ p.u MW}$$

$$P_{hat12,max} = 200 \text{ MW}$$

$$H_1 = H_2 = 5.0 \text{ sn}$$

$$\chi_p = \% 4$$

$$\delta_{12} = 45^\circ$$

$$T_{g1} = T_{g2} = 0.08 \text{ sn}$$

$$T_{t1} = T_{t2} = 0.3 \text{ sn}$$

Yukarıda belirtilen sistem şartları içerisinde diğer parametreler şu şekilde hesaplanır.

$$R_1 = R_2 = 2.4 \text{ Hz / p.u MW}$$

$$D_1 = D_2 = 8.33 \cdot 10^{-3} \text{ p.u MW / Hz}$$

$$T_{p1} = T_{p2} = 20 \text{ sn}$$

$$K_{p1} = K_{p2} = 120 \text{ Hz / p.u MW}$$

$$\beta_1 = \beta_2 = 0.425 \text{ p.u MW/Hz}$$

$$\beta_1 = |B_1| = 0.425$$

$$\beta_2 = |B_2| = 0.425$$

$$T_{12} = 0.086$$

## EK-B

Aşağıda sunulan farklı sistem dinamikleri için kontrolörlerin sergilediği performans Şekil Ek B-2'de sunulmuştur.

$$T_{12} = 0.145$$

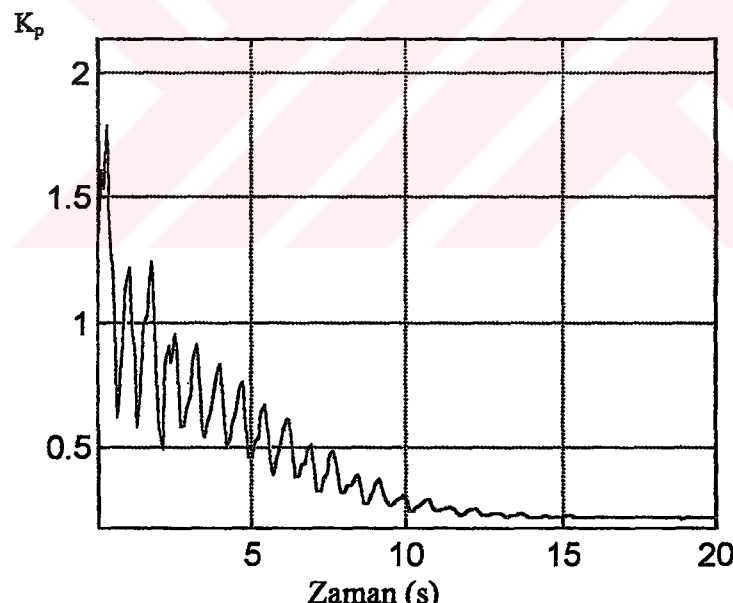
$$T_p = 10$$

$$B = 0.125$$

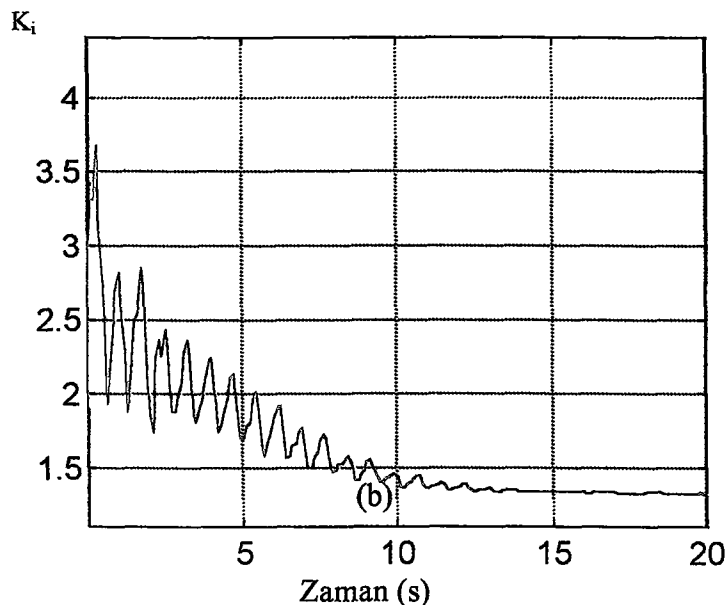
Klasik PI kontrolör için kontrol parametreleri;

$$K_p = 0.001, K_i = 1.46$$

Kazancın bulanık mantık kuralları ile programlandığı PI kontrolör için kontrol parametreleri (Şekil Ek B-1)

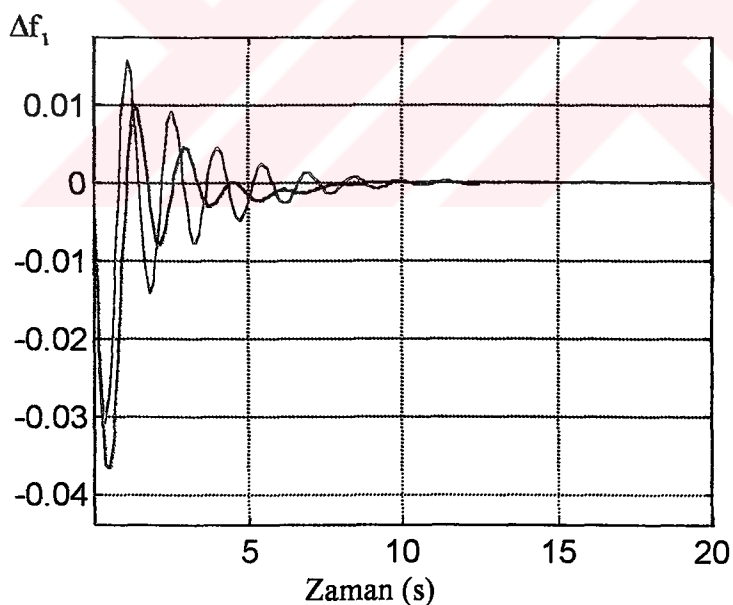


(a)



(b)

Şekil Ek B-1. Kazancın bulanık mantık kuralları ile programlandığı PI kontrolör için kontrol parametreleri; (a)  $K_p$ , (b)  $K_i$

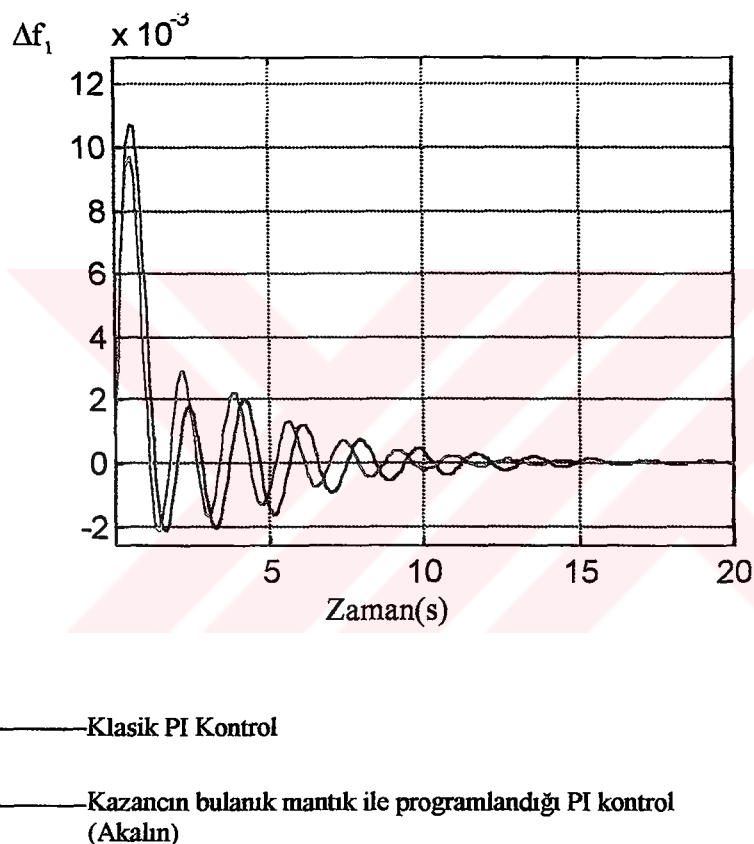


— Klasik PI Kontrol  
 — Kazancın bulanık mantık ile programlandığı PI kontrol  
 (Akalın)

Şekil Ek B-2. Farklı sistem dinamiklerinde 0.01 p.u yük değişimi için frekans cevabı

## EK C

$\Delta P_L = -0.005$  p.u yük değişimi için çalışmada amaçlanan kontrolörün gösterdiği performans Şekil C-1'de sunulmuştur.



Şekil C-1.  $-0.005$  p.u yük değişimi için sistemin frekans değişimi

## **ÖZGEÇMİŞ**

1970 yılında Erzurum 'da doğdu. İlk, orta, lise öğrenimini İstanbul 'da tamamladı. 1987 yılında girdiği Yıldız Üniversitesi Kocaeli Mühendislik Fakültesi Elektrik Mühendisliği bölümünden 1991 yılında Elektrik Mühendisi olarak mezun oldu. 1992-1994 yılları arasında Kocaeli Üniversitesi Fen Bilimleri Enstitüsü, Elektrik mühendisliği Anabilim Dalında Yüksek Lisans öğrenimini tamamladı.

1993 yılından beri Kocaeli Üniversitesi elektrik mühendisliği Bölümünde Araştırma Görevlisi olarak görev yapmaktadır. Yayınlanmış beş tane yurt içi yayını bulunmaktadır.

